

Hanne Regine Hognestad

Utvikling av real-time PCR assay for påvisning av *Staphylococcus epidermidis*

Veileder: Kåre Bergh

Hovedoppgave i medisin
Trondheim, januar 2016

Norges teknisk-naturvitenskapelige universitet
Det medisinske fakultet
Institutt for laboratoriemedisin, barne- og kvinnesykdommer



INNHOLD

1	Sammendrag	3
2	Ordliste forkortelser brukt i oppgaven	4
3	Introduksjon	5
3.1	Staphylococcus epidermidis	5
3.2	Påvisning av <i>S. epidermidis</i>	5
3.3	Polymerase kjedreaksjon	5
3.4	PCR for Staphylococcus epidermidis	8
3.5	Formål og hensikt med oppgaven	10
4	Materiale og metode	11
4.1	<i>In silico</i> -analyser	11
4.2	Stammer benyttet i forsøkene	14
4.3	Isolering av DNA fra referansestammer	15
4.4	Fortynning av primere	15
4.5	Kjøring av PCR	15
4.6	PCR-sensitivitet	18
4.7	PCR-effektivitet med slope method	19
4.8	PCR-spesifisitet	20
4.9	PCR med primerpar <i>hsp60</i> og TaqMan-probe	20
4.10	PCR med kliniske prøver som templat	21
5	Resultater	25
5.1	<i>In silico</i> -analyser	25
5.2	MALDI-TOF ID-bestemmelse av stammene	29
5.3	PCR	30
5.4	PCR med TaqMan-probe og primerparet <i>hsp60</i>	40
5.5	PCR med kliniske prøver som templat	41
5.6	Sensitivitet	45
5.7	PCR-effektivitet	49
6	Diskusjon	51
6.1	<i>In silico</i> -analyser	51
6.2	Vurdering av hvert primerpar og hovedresultater	52
6.3	Spesifisitet	53
6.4	Sensitivitet	53
6.5	PCR-effektivitet	54

6.6	Real-time PCR med TaqMan-probe	54
6.7	Kliniske prøver	55
6.8	Styrker og svakheter med PCR.....	57
6.9	Begrensinger for PCR.....	57
6.10	Videre arbeid	57
7	Konklusjon.....	59
8	Kilder	61

1 SAMMENDRAG

BAKGRUNN *Staphylococcus epidermidis* er ledende årsak til infeksjon i implanterte fremmedlegemer på grunn av bakteriens evne til å kolonisere og danne biofilm på kunstige overflater. Rask identifikasjon av agens ved fremmedlegemeinfeksjoner er viktig for optimal behandling, men ved St. Olavs hospital i dag fins det ikke en hurtigere metode enn dyrkning for diagnostikk av stafylokokkinfeksjon. PCR er derfor ønsket som diagnostisk metode. Oppgavens målsetning er å etablere en sensitiv og spesifikk real-time PCR for påvisning av *S. epidermidis* og fastslå om metoden kan benyttes i rutineundersøkelse av kliniske prøver. På noe lengre sikt er det en forventning om at resultatet kan bli ledd i utviklingen av et PCR-panel for diagnostikk av fremmedlegemeinfeksjoner.

MATERIALE OG METODE I oppgaven ble det sett på fem konserverte gener (*hsp60*, *gap*, *sodA*, *rpoB* og *tuf*) hos stafylokokker og designet et primerassay til hver av genene. Alle primersetts ble analysert *in silico* og er testet med real-time PCR med EvaGreen-deteksjon mot et panel på sju stafylokkspecies. Primerpar *hsp60* og TaqMan-probe er i tillegg testet mot 12 kliniske prøver hvor stafylokokker var påvist.

RESULTATER *In silico*-analysene var spesifikke for alle de fem nydesignede primersetttene, men ved PCR-forsøk med et panel på seks andre stafylokokkspecies var kun primerassay *hsp60* og *rpoB* spesifikke ved EvaGreen-deteksjon av PCR-produkt. Sensitiviteten til primerassay *rpoB* og *hsp60* ble beregnet til 9,9 CFU per PCR-reaksjon og har en amplifikasjonseffektivitet på 1,04 (*rpoB*) og 0,88 (*hsp60*). PCR med TaqMan-probe og primerassay *hsp60* er kjørt med kliniske prøver, både vevsprøver og blodkulturer, og er vist spesifikt for *S. epidermidis*.

FORTOLKNING PCR er testet mot et panel med sju stafylokokkspecies og 12 kliniske prøver. Det er derfor knyttet usikkerhet til eventuell kryssreaksjon med andre mikrober og assayet bør valideres bredere før det eventuelt kan tas inn i rutinediagnostikken. Ved fremmedlegemeinfeksjoner er det viktig å påvise agens så raskt som mulig og nydesignet *hsp60* PCR-assay med TaqMan-probe kan bli et viktig ledd i å forbedre diagnostikken av *S. epidermidis*-infeksjoner.

2 ORDLISTE FORKORTELSER BRUKT I OPPGAVEN

BLAST. Basic Local Alignment Search Tool

CFU: Colony forming units. Enhet for bestemme antall viable bakterier i en prøve. Usikkert om koloniene ble dannet av en celle eller en gruppe, derfor underestimerer ofte metoden faktisk antall celler.

CT-verdi/Cq-verdi. Cycle threshold/ quantitation cycle. Skjæringspunktet mellom amplifikasjonskurven og terskelverdien (threshold line). Denne linjen blir satt automatisk av programmet selv eller man kan manuelt justere til for eksempel til 200 RF (relative fluorescence units, mål der man har deteksjon av fluorescens) for alle prøver. CT-verdien er det syklusnummeret hvor fluorescensen passerer terskelverdien. Det er et relativt mål på konsentrasjonen i PCR-reaksjonen.

dsDNA: double stranded DNA

FRET-probe. Fluorescens resonance energy transfer – probe

KNS: koagulase negative stafylokokker

MALDI-TOF: Matrix-assisted laser desorption/ionization time of flight

McF: McFarland. Mål på tettheten i en oppslemming av bakterier i væske.

MGW: Molecular Grade Water. DNA- og RNA-fritt.

NN: nearest neighbourmetoden. Beregner smeltetemperatur for primersekvens.

PCR: Polymerase kjedreaksjon

RFU: relative fluorescence units

RPM: rounds per minute. Brukes ved sentrifugering.

RT-PCR: real-time polymerase kjedreaksjon

ssDNA: single stranded DNA

Tm: Smeltetemperatur for en nukleinsyresekvens (primere, prober, PCR-produkt)

3 INTRODUKSJON

3.1 STAPHYLOCOCCUS EPIDERMIDIS

Stafylokokker er gram-positive ubevegelige, fakultativt anaerobe kokker. Bakteriene deles inn i koagulase-positive og -negative. *Staphylococcus epidermidis* er vanligst blant de koagulase-negative stafylokokkene (KNS) og er årsaken til de viktigste kliniske infeksjonene med KNS. Bakterien er en del av hudens normalflora, men har en rekke virulensfaktorer som gjør den sykdomsfremkallende. Bakterien koloniserer ulike materialer raskt og *S. epidermidis* har en potent evne til biofilmdannelse, som beskytter bakterien mot antimikrobielle midler og immunforsvaret. På grunn av disse virulensfaktorene er *S. epidermidis* spesielt viktig ved fremmedleggemedinfeksjoner. *S. epidermidis* er kjent som det viktigste agens ved implantatinfeksjoner, som for eksempel av sentrale venekateter (2). Proteseinfeksjon skyldes oftest stafylokokker, *S. epidermidis* er det nest hyppigste agens etter *S. aureus* (3). *S. epidermidis* er også årsaken til 11 % av endokarditter, typisk ventilendokarditter. (4) Bakterien er også ansett som det vanligste agens ved nosokomiale infeksjoner (5). *S. epidermidis* er assosiert med en rekke andre infeksjoner som endoftalmitt og mediastinititt, og er et viktig opportunistisk patogen.

3.2 PÅVISNING AV *S. EPIDERMIDIS*.

På St. Olavs hospital i dag påvises *S. epidermidis* rutinemessig ved dyrkning. Før dyrkning kan det gjøres sonikering med ultralydbølger for å fjerne biofilmen bakteriene har dannet ved biofilmassoserte infeksjoner (6). Det er vist at rutinedyrkning på agar, uten sonikering, ikke er sensitiv nok for sikker påvisning (7). Viktige karakteristika ved dyrkning er (i) vekst av hvite små og tette kolonier over natten (ii) vekst anaerobt med glukose og pyruvat i mediet (iii) ikke koagulaseproduserende (iv) novobiocinsensitiv (8). Videre ID-bestemmelse av bakterien gjøres med MALDI-TOF (Matrix-assisted laser desorption/ionization time of flight) eller biotyping med API. Totalt tar dyrkning og ID-bestemmelse 2-3 dager.

3.3 POLYMERASE KJEDEREAKSJON

Polymerase kjedereaksjon (PCR) er en metode for å lage mange kopier av en spesifikk DNA-sekvens. Man ekstraherer DNA fra prøven og amplifiserer den spesifikke sekvensen eksponentielt ved hjelp av en DNA-polymerase som man kjører i flere sykler. Oftest brukes det korte sekvenser, for eksempel et gen eller del av et gen. Primerne (forward og revers) er korte syntetiske DNA-fragmenter som binder starten og slutten av den komplementære DNA-tråden man ønsker å amplifisere. DNA-polymerasen

kan så syntetisere en ny DNA-tråd i forlengelsen av primer med templat-DNA som mal. Designet av primerne er den viktigste faktoren for å påvise DNA-sekvenser som er spesifikk for den bakterien man ønsker å finne. Primerne må også ha rett lengde, smelte temperatur, ikke hybridisere andre steder på DNA-tråden eller til hverandre, eller danne sekundærstrukturer som hårnåler.

En PCR-reaksjonsmix består av DNA fra det du skal undersøke (for eksempel bakterier) spesifikke primere, deoxyribonuklotid trifosfat (adenosin, cytosin, guanosine, thymidine), magnesiumioner, en bufferkomponent, en termostabil DNA-polymerase og vann. Komposisjonen må ideelt sett bli optimalisert for hver ny PCR-protokoll.

Templat-DNA må isoleres før PCR kjøres; det kan i hovedsak gjøres på to ulike måter. Den enkle metoden er å koke opp bakteriene og frigjøre DNA, men da vil mange andre peptider bli blandet inn sammen med DNAet og templatet vil ikke bli et helt rent DNA-produkt. En mer avansert, og også den vanligste, metoden er å bruke spinnkolonner med en absorpsjonskolonne som fanger DNA, og resterende peptider vil bli sentrifugert bort. Resultatet er da et ganske rent DNA-templat.

Kort fortalt kjøres PCR i tre trinn som gjentas i sykler.

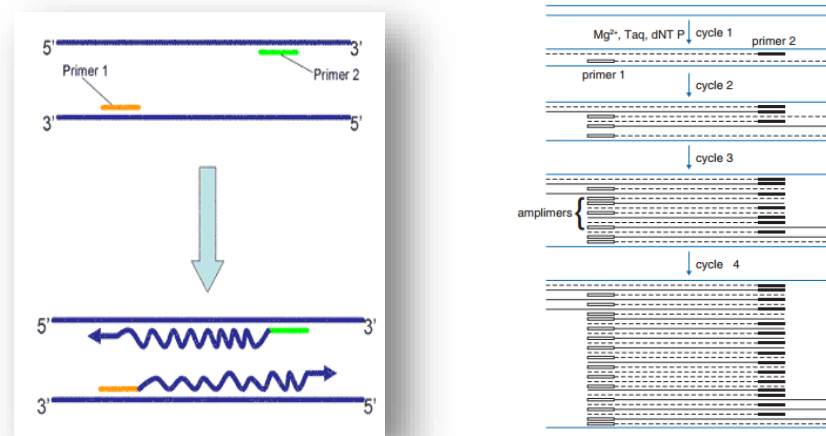
En initialfase med denaturering av DNA ved ca. 95°C. Fra dsDNA til ssDNA, hydrogenbindingene i DNAhelixen brytes, cirka 2- 10 minutter.

Annealing. Det viktigste steget for spesifisiteten til PCR. Temperaturen senkes og primere hybridiserer til templatet, primerne er komplementære i hver ende av DNA som skal amplifiseres (PCR-produktet). Annealingtemperaturen ligger cirka 5 grader under smeltepunktet for primerne, som vanligvis vil ligge i området 50-60 °C (55-60 °C for RT-PCR). Stringensbetingelser kan gjøre PCR spesifikk, det vil si graden av hybridisering til mål-DNA. Kan reguleres med temperatur og ionekonsentrasjon.

Elongering. Syntetisering av DNA med DNA-polymerase fra primerne ved ca 72 °C.

Denaturering ved 95 °C.

Antall produkt vil øke eksponentielt med antall sykler. Et typisk PCR-program er 30-50 sykler.



*Figur 1. Til venstre.
Hentet fra forelesningen
"Primer- og
probedesign" av Kåre
Bergh. Primere binder
komplementær tråd og
elongeres. Figur 2: Til
høyre. Produktet øker
eksponentielt med antall
sykler.(p. 3, "Principles
and technical aspects of
PCR amplification"1)*

Ved konvensjonell PCR kjører man først 35-40 sykler før det gjøres en endepunkts-PCR med gel-elektroforese etter reaksjonen er ferdig. En strøm sorterer molekylene basert på størrelse i gelen, defarges for visualisering og gelen sammenliknes med et forventet resultat.

Når man kjører real-time PCR merkes produktet med fluorescens (SYBRGreen/EvaGreen eller DNA-prober) underveis i reaksjonen. Avlesing av resultat kan derfor gjøres samtidig som reaksjonen fortsatt går. Konvensjonell-PCR er altså en mye mer tidkrevende prosess enn real-time-systemet. RT-PCR vil også være kvantitativ siden den detekterer akkumulasjonen av amplifisert materiale mens reaksjonen er i gang. Jo mer templat DNA som er tilstede, jo tidligere vil økningen av fluorescens skje. Ved konvensjonell PCR er kvantitative analyser betydelig mer arbeidskrevende og mer usikre, de er i beste fall semi-kvantitative.

Kjøring av real-time PCR tar bare et par timer totalt og det er en stor fordel i forhold til dyrkning, som er en tidkrevende prosess på minimum 1-2 dager. Potensielle ulemper med PCR kan være forurensing, og problematikk knyttet til spesifisitet, sensitivitet og primerdesign. Andre faktorer enn primerne som kan spille inn og gi et dårlig PCR-resultat er feil konsentrasjon av buffer i PCRmixen og magnesiumioner, duplexdannelse i templatet, mishybridisering ved for lav annealingtemperatur eller for høy konsentrasjon av DNA-polymerase.

Konseptene for PCR er blant annet studert boka «Principles and technical aspects of PCR amplification» av Pelt-Verkuil, Belkum (1).

3.3.1 Prober og påvisning av PCR-produkt

Påvisningen ved RT-PCR skjer samtidig som reaksjonen går. Fluorescens akkumuleres eksponentielt og kan avleses underveis i PCR-reaksjonen. Til dette brukes enten dsDNA-bindene fargestoffer eller prober med fluorescens.

3.3.1.1 SYBRGreen/EVAGreen

SYBR-/EvaGreen binder dsDNA uspesifikt; fluorescensen øker 1000 ganger når fargestoffet er bundet til dsDNA og ikke er i fri løsning. Fluorescenssignalet vil derfor være proporsjonalt med dsDNA som amplifiseres. Dette er en billig og enkel metode, som krever mindre enn probemetoden med tanke på primerdesign (da må man ta hensyn til probe-primerduplexer, størrelsen på produktet og så videre). På den andre siden vil slikt fargestoff binde alt dsDNA helt uspesifikt, som for eksempel primer-dimerer.

Etter reaksjonen kan man bruke smeltepunktsanalyse for å identifisere ulike produkter i reaksjonen enda mer nøyaktig. Selv om primerne er designet for å være spesifikke for kun *S. epidermidis* vil sannsynligvis primerne også kunne binde seg til andre bakteriers DNA. Ved smeltepunktsanalyse øker man temperaturen gradvis, da vil *S. epidermidis* og for eksempel *S. aureus* ha litt ulike smeltepunktskurver, med toppunkter på forskjellige steder.

3.3.1.2 TaqMan-probe

TaqMan er en av de vanligste probene for å påvise et PCR-produkt. TaqMan er sekvensspesifikk og har fluorescens i 5'enden og en quencher i 3'enden. Proben hybridiserer til PCR-produktet og fluorescensen er quenched av 3'enden. Når 5'3' exonucleaseaktivitet av polymerasen ødelegger proben vil fluorescens avgis. Fordelen med probe er at det gir høy spesifisitet, man kan legge spesifikke gensekvenser i probeområdet. En mulig negativ side kan være at primerdesignet må tilpasses probeformatet, og at primerne heller ikke må danne duplexer eller andre sekundærstrukturer med proben. Prober er og dyrt i forhold til deteksjon med DNA-bindene fargestoffer.

3.3.1.3 FRET-probe

Fluorescens resonance energy transfer – probe, består av to deler, hver av dem komplementær til PCR-produktet. Donorproben har fluorescein i 3'enden, mens akseptorproben vil ha fluorophor i 5'enden. Når probene binder ved siden av hverandre, med et gap på 1-5 basepar mellom, vil donorproben avgive energi som akseptorproben tar opp og det blir avgitt signal.

3.4 PCR FOR STAPHYLOCOCCUS EPIDERMIDIS

Det er tidligere beskrevet PCR-metoder for å påvise *S. epidermidis*. Metodene retter seg mot ulike målgener, som det blir aktuelt å se nærmere på videre i oppgaven. Et PCR-assay med målgen *tuf* designet av Martinau et al. er vist spesifikk, men er ikke utviklet for real-timeformatet (9).

En annen konvensjonell PCR er utviklet av Goh et al. for *hsp60* (10). Hirotaki et al. har brukt *nuc* som målgen for en multiplexPCR (11). I denne studien ble PCR-produktet visualisert med elektroforese i agarose-gel. Real-timeformatet ville være ønskelig med tanke på at det tar kortere tid og RT-PCR er en kvantitativ metode.

For *atlE-genet* er det utviklet en spesifikk RT- PCR beskrevet av Francois et al., men dette assayet rettes mot én virulensfaktor. Det er usikkerhet knyttet til om den fins i alle *S. epidermidis* (12). Denne oppgaven sikter mot å kunne identifisere alle *S. epidermidis* og *atlE* egner seg derfor ikke så godt for dette formålet.

femA-SE genet presenteres som en god kandidat for real-time PCR assay for *S. epidermidis* av Jukes et al. 2010(13). Sammen med *femA-SA* og *mecA* for *S. aureus* og meticillinresistens kunne multiplex real- time PCR raskt identifisere og bestemme følsomheten for meticillin til *S.aureus*, *S. epidermidis*, og andre KNS. *femA* koder for factor essential for methicillin resistance. Siden kun 60-70% av *S. epidermidis* er meticillinresistente anses genet som uegnet for å påvise alle *S. epidermidis* i denne oppgaven.

gap (et husholdningsgen) ble undersøkt for diskrimineringsevnen av stafylokokk-species av Ghebremedhin, Layer (14). I samme studie nevnes også at genene *tuf*, *rpoB* og *hsp60* kan egne seg for å skille ulike stafylokokker. Det vil derfor bli sett nærmere på om disse genene egner seg for å utvikle et PCR-assay.

I en studie fra 2006 brukes sekvensering av *rpoB* som målgen for å skille mellom alle species av stafylokokker, *rpoB* klarer dette i alle tilfellene. Derfor kan *rpoB* egne seg for å skille stafylokokker på species og subspeciesnivå. Dette beskrives i en studie av Mellmann, Becker (15).

Et annet gen som er undersøkt tidligere av Poyart et al. er *sodA*(16). I denne studien ble det laget en database for *sodA*-sekvenser for 40 ulike stafylokokker. *sodA*-genet koder for manganavhengig superoxid dismutase i 40 ulike KNS. *sodA* har gode muligheter som målgen for utvikling av et assay.

16S rRNA er en del av 30S subenhet i prokaryote ribosomer og flere kopier av *16S rRNA* kan finnes i en bakterie. *16S rRNA* inneholder hypervariable områder som kan være species-spesifikke og egne seg for identifikasjon av bakterier. *16S rRNA* ble brukt i en studie av Kobayashi et al. for å lage et bredt «universelt» assay for stafylokokker med ett sett FRET-prober for å merke *S. aureus* spesifikt. (17). Dette kunne også vært en mulighet for å påvise *S. epidermidis*.

Skow et al. brukte primere for å amplifisere den variable regionen av *16S rRNA*-genet i syv ulike stafylokokker og skilte dem med hybrediseringssprober merket med fluorescens og smeltekurveanalyse (18). Den kunne påvise 36 av 37 av isolatene som var med i studien, men species-spesfikk kvantitering er vanskelig med denne metoden (19).

I en studie fra 2008 bruker Iwase et al. *sodA* som målgen for en 5' nuclease real-time PCR med en TaqMan minor groove binder probe for å påvise og kvantitere *S. epidermidis* spesifikt(19).

Edwards et al. har utviklet et assay for påvisning av 15 species av KNS. Der ble det brukt så mye som tre sett primere og to sett prober med smeltepunktanalyse for påvisning (20).

3.5 FORMÅL OG HENSIKT MED OPPGAVEN

Bakgrunn

S. epidermidis er ledende årsak til infeksjon i implanterte fremmedlegemer på grunn av bakteriens evne til å danne biofilm på kunstige overflater(21) . PCR er en annen metode enn dyrkning i mikrobiologisk diagnostikk. Der dyrkning baserer seg på vekst av bakterien er prinsippet bak polymerase kjedreaksjon å påvise gener i mikroben. Bakteriene trenger derfor ikke være levende når de påvises.

Formålet og hensikten med oppgaven var å designe en sensitiv og spesifikk real-time PCR for påvisning av *S. epidermidis*. Ved St. Olavs hospital brukes i dag dyrkning som standardmetode ved påvisning, derfor kunne RT-PCR være ønsket for raskere identifikasjon av agens. På noe lengre sikt er det en forventning om at resultatet kan bli ledd i utviklingen av et PCR-panel for diagnostikk av fremmedlegemeinfeksjoner.

Forskingsspørsmål:

- Hvilke gener kan egne seg for å utvikle et PCR-assay for *S. epidermidis*?
- Hvilken sensitivitet og spesifisitet har metoden?
- Kan metoden brukes for å påvise *S. epidermidis* i kliniske prøver?

4 MATERIALE OG METODE

4.1 IN SILICO-ANALYSER

4.1.1 Identifisere et målgen

Utvikling av en spesifikk og sensitiv PCR for *S. epidermidis* krever et målgen med en sekvens som både er unik for, og finnes hos alle *S. epidermidis*. Det er tidligere beskrevet en del gener som kan egne seg for formålet. (6, 9, 11-14, 16, 22, 23). Gener som kan egne seg for skille ulike stafylokokker er for eksempel høyt konserverte gener, det vil si gener som er ganske like mellom species og stort sett bevart gjennom evolusjonen. Eksempler er *16S rRNA*, *tuf*, *sodA* og *hsp60*. (14) Generelt kan det vært lurt å velge et målgen som koder for en viktig prosess i bakterien og der hvor funksjonen til proteinet endres ved nesten hvilke som helst forandringer i sekvensrekkefølgen av genet.

Første del av oppgaven var å finne et egnat målgen for å designe et PCR-assay. De første søkerne ble gjort i PubMed, januar 2015, under arbeidet med protokollskriving. I tillegg ble det gjort ett nytt søker da hovedarbeidet med oppgaven startet i august 2015. Siste søker ble gjort 16.09.2015. Søkeord i søkerfeltet: «real-time PCR AND staphylococcus epidermidis» og undersøk av dette. Ni målgen ble etter søkerne presentert som mulige kandidater:

- *tuf*
- *hsp60*
- *gap*
- *sodA*
- *16S rRNA*
- *atlE*
- *nuc*
- *femA-SE*
- *rpoB*

Gensekvensene til *S. epidermidis* ble funnet ved å søke opp «[navnet på genet] AND Staphylococcus epidermidis» i søkerfeltet i *National Centre for Biotechnology Information* (NCBI) sin GenBank (24) og begrense søker til kun *S. epidermidis*. Deretter ble det valgt ut cirka ti treff på ulike sekvenser, både enkeltgensekvenser og som del av helgenomsekvenseringer. RP62A og ATCC 12228, som er vanlige brukte referansestammer av *S. epidermidis* er helgenomsekvensert og ble brukt der det var mulig. Helgenomsekvensene ble lagt mer vekt på en kun enkeltgensekvenser.

Det ble gjort alignment av de utvalgte allel-sekvensene for hvert gen i programmet Clustal Omega, frivare fra European Bioinformatics Institute (EMBL-EBI)(25) . Etter sammenlikning av sekvensene ble det valgt ut en konsensussekvens, den sekvensen det var bredest «enighet» om blant de andre allelene. Treff som ikke passet inn i det hele tatt i alignment med de andre allelene ble forkastet ettersom GenBank ikke er kvalitetssikret.

Alignment med aksesjonsnummer ses i vedlegg 1- 10. * i underkant av alignment representerer at en base er lik for alle sekvensene som er puttet inn i programmet. Sekvensene er editert i programmet Jalview så de lange gensekvensene er sammenliknbare med de kortere sekvensene. Hvilke basepar som er kuttet ses bak aksesjonsnummeret i alignment.

Samme søk etter konsensussekvenser for genene ble også gjort for andre stafylokokker enn *S. epidermidis*. Dette for å finne ulikheter i sekvensrekkefølgen mellom *S. epidermidis* og andre stafylokokker, siden det er mest sannsynlig at *S. epidermidis*' gener er mest like andre stafylokokkers. Forskjellene i baserekkefølgen er mulige utgangspunkt for å lage spesifikke primere for *S. epidermidis*. Utvalget av andre stafylokokker er basert på hvilke som er vanlige i kliniske prøver og hvilke det er viktige å skille fra *S. epidermidis* ved for eksempel en proteseinfeksjon. Følgende stafylokokker ble tatt med i søket:

- *Staphylococcus lugdunensis*
- *Staphylococcus capitis*
- *Staphylococcus aureus*
- *Staphylococcus hominis*
- *Staphylococcus haemolyticus*
- *Staphylococcus schleiferi*

Sammen med konsensussekvensene for *S. epidermidis* ble det gjort alignment av sekvensene i Clustal Omega for hvert gen og identifisert posisjoner i genet hvor *S. epidermidis* skilte seg ut med en annen sekvensrekkefølge enn de andre. Se vedlegg 2, 4, 6, 8 og 10 for alignment.

4.1.2 Valg av primere

Et mål for oppgaven var å lage et spesifikt assay for *S. epidermidis*, derfor ble primerne plassert der gensekvensen til *S. epidermidis* skilte seg ut fra de andre stafylokokkenes. Hovedulikhetene ble plassert i 3'enden av primeren.

Primerpar ble valgt ut på bakgrunn av følgende punkter:

- Primerlengde optimalt 18-22 bp
- Tm mellom 50-60 °C, optimalt 55- 60 °C for RT-PCR, målt etter både nearest neighbour-metoden (anses som mest pålitelig) og $2(A+T) + 4(G+C)$. Ikke større forskjell enn 3-5 °C i Tm mellom primerne.
- Maksimalt 4 singel- eller dimerrepeats.
- GC-innhold 40-60%
- Ikke danne sekundærstrukturer i primerne: hårnåler eller duplexer med seg selv eller hverandre. Dette er viktigst å unngå i 3'enden av primeren. En duplex eller hårnål med bindingsstyrke ΔG ned mot -2,5 – 3 kcal/mol ble godtatt i 3'endene, mens i 5'enden ned til - 20 kcal/mol. En hårnål i 5'enden ble ansett som uvesentlig for reaksjonen.
- Spesifisitet i 3'enden av primeren.
- Intern stabilitet i primeren. Bør være høyest i 5'enden og lavest i 3'enden. Det vil si at maksimalt tre G eller C i de fem siste basene i 3'enden.
- PCR-produktets lengde, i real-time PCR optimalt ikke lenger enn 250 bp.

For alle primerpar ble det etterpå gjort en *in silico* spesifisitetstest. De forslalte primersekvensen ble søkt på i nucleotide-BLAST (Basic Local Alignment Search Tool) (26) for å utelukke primere som hadde liknende sekvenser som andre vanlige bakterier eller humant DNA.

4.1.2.1 OLIGO7

Design av primerassay ble gjort i programmet OLIGO 7.

4.1.3 Prober

Til hvert primerassay ble det også designet en TaqMan-probe i OLIGO 7. Det var hovedsak tenkt å bruke EvaGreen/SYBRGreen med smeltepunktsanalyse i denne oppgaven fordi dette er en billigere metode. For prober er det viktig at disse kriteriene er oppfylt:

- Tm 5-10 °C grader høyere enn Tm til primersetten
- Ikke repetitive enheter
- Ikke selvkomplementær
- Ikke danne hårnålstrukturer

Taqman-probe	FRET-probe
<ul style="list-style-type: none"> - GC-innhold 30-80% - Ikke G i 5'endene (den vil fungere som en quencher) - Flere C enn G 	<ul style="list-style-type: none"> - Probene 1-5 basepar unna hverandre - Ikke klustre av GC i endene, unngå purinrike sekvenser (mye A og G) - Tm donor < Tm akseptor - Flest mismatcher/mutasjoner i donorprobe - Ikke C i gapet mellom donor og akseptor (G i komplementær sekvens vil fungere som en quencher)

4.2 STAMMER BENYTTET I FORSØKENE

Følgende stammer ble hentet opp fra fryser 25.09.2015 og er brukt i videre forsøk. Ønsket i utgangspunktet å bruke *S. schleiferi* også i og med at denne er brukt som en del av alignment, se vedlegg 1-10, men *S. schleiferi* fantes ikke i fryseren.

S. schleiferi ble byttet ut med en annen stafylokokk; *Staphylococcus condimenti*. Den en KNS og ble funnet ved en alvorlig ledd-/bløtdelsinfeksjon hos et barn og det ønskes å se på hvordan PCR vil fungere med denne. Det fins lite sekvenserte gener/helgenomsekvenser av *S. condimenti*, men det jobbes med en helgenomsekvensering for denne bakterien ved St. Olavs hospital høsten 2015.

1. CCUG 7323T – *S. haemolyticus*
2. CCUG 7326 *S. capitis*
3. CCUG 17621 *S. aureus*
4. nr. 107749 – 14. *S. condimenti*
5. ATCC 35984 – *S. epidermidis*
6. nr. 132349 – 15. *S. hominis*.
7. nr 110000 – 15 *S. lugdunensis*

Stammene som har et nummer er prøvenummeret fra datasystemet til St. Olavs hospital, mens ATCC- og CCUG-stammer er internasjonale referansestammer.

4.2.1 ID-bestemmelse ved MALDI-TOF

For validering av panelet av stafylokokker ble det bestemt ID av alle stammene med MALDI-TOF (Matrix-assisted laser desorption/ionization time of flight massespektrometer). Metoden gir rask identifikasjon av kulturer med bakterier. Bakteriekultur avsettes på en plate dekket med matrix, en laserstråle ioniserer proteinene som akselererer i et magnetisk felt, og det vil dannes et karakteristisk spekter for hver bakterie på grunnlag av beregnet masse av proteinene.

Prosedyre «MALDI-TOF massespektrometri, identifikasjon av bakterier og gjærsopp» fra St. Olavs hospital, avdeling for medisinsk mikrobiologi, versjon 1.2 ble brukt.

4.3 ISOLERING AV DNA FRA REFERANSESTAMMER

Referansestammene ble spredt 28.09.2015 og inkubert i CO_2 -atmosfære ved 37 °C i et døgn.

Ekstraherte DNA fra de sju referansestammene 29.09.2015. Oppskrift fra mikrobiologen på St. Olavs for gram-positive bakterier ble fulgt:

1. En koloni suspendert i 100 µl TE-buffer, pH 7,4.
2. Løsning for lysering laget av 292 µl TE-buffer, 2µl lysostaphin (1mg/ml) og 6µl Proteinase K (20mg/ml).

Hver suspensjon med prøve ble tilsatt 300µl lyseløsing, inkubert 37°C i 15 minutter, deretter 65°C i 15 minutter på varmeblokk. Prøvene ble blandet med vortex før og etter inkubering. Videre ble det fulgt oppskrift fra DNeasy Tissue Kit fra Qiagen, Cat. NO. 69506 for isolering av DNA med spinnkolonne. Alle prøvene ble eluert med 100 µl siste steg.

4.4 FORTYNNING AV PRIMERE

Primere fra Eurogentec ble levert i tørrvekt. Det ble laget en stockløsning på 100 µM og puttet i fryseren 01.10.2015. Primere fortynnet med DNA/RNA-fritt vann. Se vedlegg 11. Tørrvaren ble først centrifugert i 1 min. Etter fortynningen ble det brukt vortex og centrifugering igjen.

Fra løsningen på 100 µM ble det laget en bruksløsning på 500 µL 5 µM. Den ble fortynnet med MGW og satt i kjøleskap. Se vedlegg 12.

4.5 KJØRING AV PCR

4.5.1 Førstegangskjøring for alle primerpar.

Første real-time PCR ble kjørt 07.10.2015 med CFX96 Bio-Rad.

Prøvepreparering for en prøve:

- 10 µL SsoFast EvaGreen supermix
- 2 µL Forward primer, 2 µL Revers primer
- 1 µL vann (Molecular Grade Water, DNA- og RNAfritt)

Det samme oppsettet er benyttet for resten av kjøringene med EvaGreen-deteksjon. Etter blanding ble prøvene blandet med vortex og centrifugert.

I PCR-rør ble SsoFast EvaGreen supermix blandet med ufortynnet templat av hver av referansestammene i 20 µL brønner. Molecular Grade Water ble brukt som negativ kontroll.

- 15 µL mix
- 5µL ufortynnet templat

Etterpå ble prøvene sentrifugert 30 sekunder 550 rpm.

Protokoll 1. PCR for 1. gangskjøring med CFX96 real-time PCR:

1. 98°C 2 minutter
 2. 98 °C 5 sekunder
 3. 52° C 5 sekunder (valgt etter beregnet smeltetemperatur for primerne, skal ligge ca. 5° C under smeltetemperaturen)
- 40 sykler mellom trinn 2 og 3.
4. Smelteanalyse fra 65°C til 95°C. Step: 0,5°C økning av temperatur per runde, 5 sekunder per step.

Alle primerparene (*hsp60*, *tuf*, *rpoB*, *gap* og *sodA*) ble kjørt etter denne protokollen.

4.5.2 16S universell PCR

En universell PCR rettet mot 16S rRNA-genet for å fange opp alle bakterier ble kjørt 08.10.2015.

Gen 16S rRNA	Sequence (5'- 3')	Posisjon	PCR- produkt	GenBank AccN
Forward	5' CCTACGGGAGGCAGCAG 3'	341-357	587bp	CP000247.1
Revers	5' CCCGTCAATTGAGTTT 3'	927-907		

Dette for å vise at det er DNA-templat i alle referansestammeprøvene det kjøres PCR av, slik at et negativt resultat med et nydesignet primerpar kan tolkes som reelt og ikke som et utslag av det ikke var DNA tilstede i templatet. Den universelle PCR kan brukes for å sammenlikne templatmengde i hver prøve. En forskjell i CT-verdi på 3,32 sykler kan skyldes en mengdeforskjell i templatet på 10, ikke nødvendigvis at primerparet er mer spesifikt for en stamme enn en annen.

Prøvepreparering:

- 15 µL mix av primer, MGW og EvaGreen som beskrevet over.
- 5µL fortynnet templat 1:10. Molecular grade water som negativ kontroll.

Etterpå ble prøvene sentrifugert 30 sekunder 550 rpm.

Protokoll 2. PCR med 16S-primerpar CFX96 Bio-Rad:

1. 98°C i 2 min
2. 98 °C 5 sekunder
3. 58 °C 10 sekunder

33 sykler mellom trinn 2 og 3.

4. Smelteanalyse fra 50 °C til 95 °C. Step: 0,5°C økning av temperatur per runde, 5 sekunder per step.

4.5.3 Gradientanalyse.

Det ble gjort gradientanalyse med alle primersetene 14.10.2015 og 15.10.2015. 52,00 °C ble satt som utgangspunkt i en av de midterste radene fordi forrige protokoll ble kjørt ved annealingtemperatur 52 °C. Range ble valgt til 20 °C og resten av temperaturene ble stilt inn automatisk av programvaren til CFX96 Bio-Rad. Alle referansestammene ble brukt som templat.

Gradientanalysen ble gjort for å finne en optimal temperatur for PCR-reaksjonen:

- Når amplifiseres mest produkt?
- Blir det mange uspesifikke produkter ved lavere annealingtemperaturer?
- Blir reaksjonen mer spesifikk ved høyere temperaturer?

Prøvepreparering: som beskrevet i avsnitt 4.5.1. Templat ble fortynnet 1:20 (12µl templat + 228 µl vann). MGW ble brukt som negativ kontroll.

Protokoll 3. Gradientanalyse med alle primerpar og CFX96 Bio-Rad

1. 98 °C i 2 minutter
2. 98 °C 5 sekunder
3. Gradient med range 20 °C, temperatur i radene:
 - a. 64,3°C
 - b. 63,1 °C
 - c. 60,9 °C
 - d. 56,9 °C
 - e. 52°C
 - f. 48,2 °C
 - g. 45,5 °C
 - h. 44,3 °C

Sykler: step 2-3 34 ganger.

4. Smelteanalyse 65,0 °C til 95,0°C. Step: 0,5°C økning av temperatur per runde, 5 sekunder per step.

4.6 PCR-SENSITIVITET

Teoretisk sett skal PCR kunne amplifisere et eneste målmolekyl eksponentielt til mange millioner, men det krever optimalisering av komponentmiks og termosyklingen. I realiteten krever de fleste PCR-reaksjoner noen flere kopier av målmolekyler. Sensitiviteten til primerassayet designet til *rpoB* og *hsp60* ble bestemt.

Spredte ATCC 35984 (*S. epidermidis*) til blodagar 20.10.2015 og inkuberte skålene i CO_2 -atmosfære i ett døgn for å få ferske kolonier å arbeide med neste dag.

21.10.2015 ble det laget en oppslemming med 3 ml NaCl 0,9% og ATCC 35984 til 0,5 McFarland.

Deretter ble det laget en fortynningsrekke fra oppslemmingen som vist i tabell. Glass A er oppslemmingen på 0,5 McF som teoretisk tilsvarer 10^8 CFU/ml, det vil si 10^5 CFU/ μ l.

Glass	McF	Fortynning	CFU/ml (teoretisk)	CFU/ μ L (teoretisk)	Utsådd 10 μ l på agar (teoretisk antall)
A	0,5	1	10^8	10^5	
B		1: 10	10^7	10^4	
C		1 : 100	10^6	10^3	
D		1 : 1000	10^5	10^2	10^3
E		1 : 10 000	10^4	10	10^2
F		1 : 100 000	10^3	1	10

10 μ l av fortynnet oppslemming ble pipettert fra glass D-F og spredt i dublett på blodagar og inkubert i CO_2 -atmosfære ved 37 °C i et døgn. Koloniene ble talt 22.10.2015, gjennomsnittstallet av kolonier i hver dublett ble satt som riktig.

Isolering av DNA. Det ble ekstrahert DNA fra 0,5 McF-løsningen av ATCC 35984 21.10.2015. Se avsnitt 4.3 for fremgangsmåte (unntak: en koloni ble erstattet med 300 μ l 0,5 McF oppslemming med ATCC 35984)

4.6.1 PCR med sensitivitetsbestemmelse

For å bestemme deteksjonsgrensen til PCR med de nydesignede primersetene ble det laget en serie av fortynninger fra DNAet som ble isolert fra oppslemmingen på 0,5 McF av ATCC 35984 (se forrige avsnitt). I hvert rør ble det mikset 18 μ l vann og 2 μ l templat fra det foregående rør, til en tifold fortynningsrekke.

PCR ble kjørt med primerparene til *hsp60* og *rpoB* fordi disse primerparene i tidligere kjøringer har vist seg som mest lovende med tanke på spesifisitet (har kun amplifisert *S. epidermidis*, se resultater

avsnitt 5.3.2 og 5.3.4) og hadde relativt lave Cq-verdier. Det ble derfor bestemt å jobbe videre med disse primerparene som utgangspunkt.

Det ble valgt ny annealingtemperatur på 57°C. Dette fordi det teoretisk skal være bedre å kjøre RT-PCR mellom 55°C – 60 °C. Gradientanalysen gjort i tidligere forsøk viste ikke fall i Cq-verdier på høyere temperatur enn 52°C som ble kjørt med første gang.

Prøvepreparering for en prøve: som i avsnitt 4.3. Templatet ble fortynnet som tabell vist over. MGW ble brukt som negativ kontroll. PCR ble utført 22.10.2015.

Protokoll 4 – sensitivitetsbestemmelse av primerassay *hsp60* og *rpoB* på CFX96 Bio-Rad.

1. 98°C i 2 minutter
2. 98°C 5 sekunder
3. 57 °C 10 sekunder
- 40 sykler mellom trinn 2 og 3.
4. Smelteanalyse fra 65 °C til 95 °C,. Step: 0,5°C økning av temperatur per runde, 5 sekunder per step.

4.6.2 Triplettaanalyse av sensitivitet

For å bestemme sensitiviteten mer nøyaktig ble det kjørt en ny PCR med primerparene for *hsp60* og *rpoB* med templatfortynning: 1:1000, 1:10 000, 1: 100 000 og 1: 1000 000, alle i tripplett. Dette for å unngå tilfeldige feil. PCR-analysene ble utført 26.10.2015 med protokoll 4 (se forrige avsnitt) og samme prøvepreparering med SSoFast EvaGreen supermix.

4.7 PCR-EFFEKTIVITET MED SLOPE METHOD

Teoretisk sett skal det for hver PCR-syklus skje en dobling av amplifiserte produkter. Effektiviteten ble beregnet ved å kjøre PCR på en serie av tifold fortynninger av templat (se tidligere avsnitt med sensitivitetsbestemmelse). En standardkurve ble laget utfra hver fortynning med de tilhørende Cq-verdiene i programmet Excel.

Det ble 22.10.2015 gjort en analyse der hver fortynning av templat ble kjørt kun en gang (se avsnitt 4.6.1), men med åtte ulike fortynninger slik at standardkurven fra denne analysen baseres på minst fire verdier. Det ble deretter gjort en PCR 26.10.2015 med fire fortynninger av templatet, (1: 1000, 1:10 000, 1: 100 000, 1: 1000 000) i tripplett (se avsnitt 4.6.2) som det ble beregnet amplifikasjonseffektivitet ut i fra.

4.8 PCR-SPESIFISITET

In silico-spesifisitet ble bestemt ved søk i nucleotide-BLAST (26) på baserekkefølgen til primere. Det ble spesielt lagt vekt på mulige likheter i 3'enden av primer. Søkene ble gjort i september 2015.

Spesifisiteten er og bestemt ved PCR-kjøring mot referansestammene (stafylokokker) nevnt tidligere i oppgaven, se avsnitt 4.2 og mot et utvalg kliniske prøver som er vist å inneholde stafylokokker.

4.9 PCR MED PRIMERPAR *HSP60* OG TAQMAN-PROBE

29.10.2015 ble det bestilt TaqMan-probe for primerparet til *hsp60* fra TIB MOLBIOL Syntheselabor GmbH. Egenskaper for primerassay *hsp60* se avsnitt 5.1.1.5

4.9.1 Fortynning av TaqMan-proben

Proben ble levert tørrvekt og ble fortynnet i MGW. Det ble brukt vortex og spinner både før og etter blandingene.

Stockløsning 100 µM satt i fryseren 05.11.2015.

Oligo name	Sekvens	Primere Qty (nmol)	Vann som tilsettes proben til 100 µM
TaqMan-probe <i>hsp60</i>	5'- 6FAM-CCAACTTGCCTATCTCGTTC -- BBQ 3'	25,4	254 µl

Bruksløsning på 5µM (fortynnet 100 µM løsningen 1: 20)

Oligo name	Sekvens	Trekkes opp av 100µM løsning	Vann som tilsettes 100 µM løsning
TaqMan probe <i>hsp60</i>	5'- 6FAM-CCAACTTGCCTATCTCGTTC -- BBQ 3'	25 µl	475µl

Bruksløsningen oppbevares i kjøleskap i minst mulig lys.

4.9.2 Initial PCR med probe kjørt 05.11.2015

Oppsett for en prøve med TaqMan-probe

- 10 µl PerfeCta multiplex qPCR Supermix fra Quanta Biosciences
- 2 µL Forward primer *hsp60*
- 2 µl Revers primer *hsp60*
- 1 µL Taqman-probe *hsp60*.

20µL PCR-brønner med 15 µl mix og 5µl templat. Templat ved førstegangskjøring med TaqManprobe: 0,5 McF ATCC 35984 *S. epidermidis*, 1: 10, 1:100, 1:1000, 1:10 000 og ufortynnet ATCC 35984 DNA isolert fra en koloni. Negativ kontroll med MGW. Sentrifugert 30 sekunder ved 550 rpm.

Protokoll for to-trinns PCR med CFX96 Bio-Rad med TaqMan-probe

1. 95°C 3 minutter
2. 95 °C 10 sekunder
3. 57 °C 30 sekunder.
 - a. 40 sykler trinn 2-3.

4.9.3 PCR med TaqMan-probe, *hsp60* primerassay og referansestammene.

10.11.2015 og 11.10.2015 ble det gjort PCR med TaqMan-proben, primerparet *hsp60* og DNA fra alle referansestammene som templat. Templat ble fortyntet 1: 10 i et av oppsettene. Samme prøvepreparering og protokoll ble brukt som i den initiale kjøringen med probe (se forrige avsnitt).

4.9.4 Sensitivetsbestemmelse av PCR med TaqManprobe og primerpar *hsp60*

Sensitiviteten til PCR med TaqMan-probe og primerset *hsp60*. Det ble brukt samme DNA-templat, laget 21.10.2015, som ved sensitivetsbestemmelse med EvaGreen-deteksjon gjort 26.10.2015. Se avsnitt 4.6. Fortyningene (1: 1000, 1: 10 000, 1: 100 000 og 1: 1000 000) ble kjørt i tripplett. Samme protokoll og prøvepreparering som ved initial PCR med TaqMan-probe (se avsnitt 4.9.2) ble brukt.

4.9.5 PCR-effektivitet med TaqMan-probe.

Effektiviteten ble beregnet med slope method for primerparet *hsp60* og TaqMan-proben.

Beregningene ble gjort med Cq-verdiene fra fortynningsrekken kjørt med PCR i tripplett 10.11.2015 (se avsnitt 4.9.4).

4.10 PCR MED KLINISKE PRØVER SOM TEMPLAT

4.10.1 PCR med kliniske prøver ekstrahert med Qiagen spinnkolonne

Pasientprøver, både blodkulturer og vevskulturer, ble hentet fra avdeling for medisinsk mikrobiologi ved St. Olavs hospital 12.11.2015. Alle prøvene inneholdt stafylokokker. Det ble isolert DNA fra 11 prøver etter samme protokoll som er beskrevet under «isolering av DNA», se avsnitt 4.3. Unntak fra denne fremgangsmåten var at lysisløsningen ble blandet med 300µl av pasientprøvene.

Det ble gjort PCR på de kliniske prøvene 13.11.2015. Prøvepreparering og protokoll som i avsnitt 4.6.2. Kjøringen med det kliniske oppsettet var blindet.

4.10.2 PCR av kliniske prøver med DNA-ekstraksjon med easyMag®

Qiagen spinnkolonner er ikke beregnet for så mye klinisk materiale som ble tilsatt (300 µl)

12.11.2015, derfor ble det gjort et nytt forsøk på DNA-ekstraksjon. Det ble gjort på samme måte som i rutine-PCR-undersøkelser på St. Olavs hospital; med en silicabasert automatisert metode spesielt

beregnet for klinisk materiale. 200µl klinisk materiale ble satt inn i NucliSENS® easyMAG® (bioMerieux®), det ga 55 µl eluat. easyMag® klarte ikke produsere eluat fra pasientprøve 4 og 9.

Det ble gjort ny PCR 18.11.2015 med *hsp60*-primerassay og probe med samme prøveprøparerings og PCR-protokoll som beskrevet under førstegangskjøringen for TaqMan-probe, avsnitt 4.9.2.

4.10.3 Gradientanalyse med kliniske prøver

Det ble gjort en gradientanalyse med klinisk prøve nummer 2, 5, 10, 11 og 12 19.11.2015 fordi disse prøvene ble amplifisert ved PCR gjort 18.11.2015, se avsnitt 5.5.1. Dette ble gjort for å se om de prøvene som skulle inneholde *S. epidermidis* (2 og 5) kunne skilles fra de med *S. aureus* (10, 11 og 12) ved høyere temperatur. Samme prøveprøparerings som ved tidligere kjøringer ble brukt. Ny protokoll med ulik temperatur i radene. 57 °C ble valgt i brønn E siden dette har blitt brukt som annealingtemperatur ved tidligere kjøringer. Programvaren til CFX 96 Bio-Rad valgte resten av temperaturene, range 15 °C.

Protokoll:

1. 95°C 3 minutter
2. 95 °C 10 sekunder
3. Gradient i hver rad, 30 sekunder
 - a. 66,1 °C
 - b. 65,2 °C
 - c. 63,6 °C
 - d. 60,6 °C
 - e. 57,0 °C
 - f. 54,1 °C
 - g. 52,1 °C
 - h. 51,1 °C

Step 2-3 i 40 sykler.

4.10.4 PCR av kliniske prøver med EvaGreen-deteksjon

Prøve 2, 5, 10, 11 og 12 ble kjørt med SsoFastEvaGreen Supermix 19.11.2015 med samme prøveprøparerings og PCR-protokoll som PCR med sensitivitetsbestemmelse med EvaGreen (se avsnitt 4.6.1). Annealingtemperatur 57 °C. De kliniske prøvene ble kjørt med EvaGreen for å se om det amplifiseres PCR-produkt med noenlunde samme smeltepunkt som for *S. epidermidis*.

4.10.5 PCR med rene stammer fra oppvekst i kliniske prøver

Isolerte stammer fra klinisk prøve nummer 11 og 12 ble hentet opp fra fryseren 20.11.2015. Det ble isolert DNA fra stammene med samme prosedyre som for referansestammene (se avsnitt 4.3) 23.11.2015.

Det ble gjort PCR av prøve 11 og 12 og referansestammen ATCC 35984 (*S. epidermidis*). Templat var eluatet fra stammene ufortynnet, fortynning 1:100 og 1: 10 000. ATCC 35984 ble fortynnet 1:10 og 1:10 000.

PCR ble gjort med TaqMan-probe og primerassay *hsp60*. Prøvepreparering og protokoll se tidligere avsnitt 4.9.2. PCR ble og gjort på samme templater som nevnt over med EvaGreen-deteksjon. Da ble både primerparet *hsp60* og *rpoB* brukt. Prøveprepareringene og protokoll som beskrevet i avsnitt 4.6.1.

I begge PCR-reaksjonene, både med og uten probe, er det brukt annealingtemperatur 57°C slik at de er mest mulig sammenliknbare.

4.10.6 PCR av kliniske prøver med DNA reisolert på easyMag®

På grunn av mistanke om kontaminasjon ble DNA reisolert med easyMag® fra klinisk prøve 11 og 12 (vevsprøver) 24.11.2015. Slik gjøres det og i rutineundersøkelser av pasientprøver om man mistenker at resultatet er feil.

Templat var eluatet fra reisolert eluat ufortynnet, fortynning 1:100 og 1: 10 000. ATCC 35984 ble fortynnet 1:10 og 1: 10 000. Primerpar *hsp60* og EvaGreen-deteksjon ble kjørt 24.11.2015 og med TaqMan-probe 25.11.2015.

5 RESULTATER

5.1 IN SILICO-ANALYSER

5.1.1 Valg av målgen, primerdesign og in silico-spesifisitet

Etter å ha studert genene nevnt i innledningen (se avsnitt 3.4), ble det valgt ut fem gener til å jobbe videre med: *sodA*, *gap*, *tuf*, *rpoB* og *hsp60*. Det ble designet et PCR-assay for hvert av de nevnte gener. For alle assays ble det i tillegg designet en TaqMan-probe - i tilfelle det senere i oppgaven kunne bli aktuelt å prøve ut dette. I utgangspunktet var det det tenkt EvaGreen-deteksjon av produktet. Videre følger en beskrivelse av de designede primere, egenskaper og spesifisitet *in silico* gjort ved BLAST-søk.

Kommentar til tabeller: Tm er beregnet smelte temperatur for primerne. NN forkortelse for nearest neighbour-metoden og den andre metoden bruker formelen: 2(A+T) +4(G+C). NN går for å være mest nøyaktig. For primerparene er det tatt hensyn til kriteriene for primer- og probedesign nevnt i materiale og metode-delen, se avsnitt 4.1.2.

5.1.1.1 gap

gap er et «housekeeping» gen, høyt konservert og koder for glyceraldehyd 3-phosfat dehydrogenase. Alignment fra Clustal Omega vises i vedlegg 1 og 2.

Tabell 1 Primere og TaqManprobe for gap

Gen	Sequence (5'- 3')	Position	GenBank AccN
<i>gap</i>			JQ728491
Forward	5' GGAGGAAGTTGAAGTTATCGAAG 3'	137 - 158	
Revers	5' GCTAATGAGTTAGTAGTACAAG 3'	441- 420	
Probe	5' ATCTAAATGCCCATGGTA 3'	319 - 238	

Tabell 2 Egenskaper for primer og probe for gap

Primerpar gap	Forward	Revers	Probe
Ant. basepar	22	22	20 (minusstrand)
Produktlengde	305 bp		
Tm i °C NN/2(A+T)+4(G+C)	52,1/60	51,5/60	56,6/58
Duplex	Ok, fri 3' ende	OK	Ok
Mixed Dupelx	OK		
Hairpins	Ok	Ok	Ok
GC-innhold	41%	36,4 %	45% Ingen G i 5'enden.
Internal stability (Anbefalt verdier mellom-6,4 og – 8)	Ok, men ikke helt optimal. 3'enden i referanseområdet, men baseparene før ligger ganske langt under.	Ok, ikke helt optimal (-6,2 i 3'enden). Anbefalt mellom-6,4 og – 8.	OK

Etter søk i BLAST var forwardprimer 100% lik med *S. caprae* og *Rhodopseudomonas viridis*. 3'enden er den viktigste delen for å gjøre primeren spesifikk og var og lik for *S. saccharolyticus* og en del andre mikroorganismer som ikke tillegges vekt. Siden reversprimer kun fikk 100% treff med *S. epidermidis* anses ikke treffene med *S. caprae* og *S. saccharolyticus* å påvirke PCR.

5.1.1.2 *sodA*

sodA koder for manganavhengig superoxid dismutase i 40 ulike KNS. Det er et konservert gen og kan egne seg for å påvise *S. epidermidis*. Alignment fra Clustal Omega vises i vedlegg 7 og 8.

Tabell 3 Primere og probe for *sodA*

Gen	Sequence (5'- 3')	Position	GenBank AccN
<i>sodA</i>			EU652774
Forward	5' TTAAATTCAAGCAGTTGAAGGGA 3'	67-88	
Revers	5' ACAACTAACCAAGCCAT 3'	350- 333	
Probe	5' TTGCTAATTAGATAGTGTGCCAT 3'	122-145	

Tabell 4 Egenskaper for primer og probe *sodA*

<i>sodA</i>	Forward	Revers	Probe
Ant. basepar	22	18	24 (plusstrand)
Produktlengde	284 bp		
Tm i °C NN/2(A+T)+4(G+C)	52,1/60	55,8/52	56,7/64
Duplex	Ok	Ok, fri 3'ende	OK
Mixed Dupelx	OK		
Hairpins	Ok	OK	OK
GC-innhold	36,4 %	44%	Ikke GC-klustre i probeende, ingen G i 5'enden.
Internal stability	OK	OK	OK

Etter søk i BLAST var det 100% treff kun med *S. epidermidis* for forwardprimer. Reversprimer var 100% lik *Streptococcus dysgalactica* og *Lactococcus lacti*, men siden ingen hadde lik sekvens som forwardprimer er det i teorien kun *S. epidermidis* primerparet skal være spesifikt for.

5.1.1.3 *rpoB*

rpoB koder for beta-subenheten til DNA-polymerase hos bakterier. Alignment fra Clustal O er vist i vedlegg 6 og 7.

Tabell 5 Primere og probe for *rpoB*

Gen	Sequence (5'- 3')	Position	GenBank AccN
<i>rpoB</i>			EF173659
Forward	5'TGAAACGCCATATCGTAAAGTG 3'	344 - 365	
Revers	5' CAAGTCTAGAATTAGCCTGT 3'	459 - 440	
Probe	5' TAGCTATCCTCTTCATCAGCTGTC 3'	407 - 426	

Tabell 6 Egenskaper for primere og probe *rpoB*

<i>rpoB</i>	Forward	Revers	Probe
Ant. basepar	22	20	24 (minusstrand)
Produktlengde	116 bp		
Tm i °C NN/2(A+T)+4(G+C)	54,3 /62	54,1/56	59/70
Duplex	OK	OK	OK
Mixed Dupelx	OK		
Hairpins	OK	OK	OK
GC-innhold	41%	40%	45,8%
Internal stability	OK	OK	OK

Søk i BLAST viser forwardprimer 100% likhet med *Pseudomonas flectens* i tillegg til *S. epidermidis*.

Andre med store likheter og full likhet i 3'enden er: *Pasturellaceae bacterium*, *Vespetililibacter pulmonis*, *Otariodibacter oris*, *Haemophilus felis* og noen andre mikroorganismer som ikke tillegges vekt i en klinisk setting. Reversprimer viser ikke store likheter med noen mikroorganismer som regnes av betydning.

5.1.1.4 *tuf*

Elongation factor Tu kodes av *tuf*-genet. Dette brukes allerede som påvisning av KNS på St. Olavs hospital, men differensierer ikke mellom de ulike KNS. Alignment fra Clustal O kan ses i vedlegg 9 og 10.

Tabell 7 Primere og probe for *tuf*

Gen	Sequence (5'- 3')	Position	GenBank AccN
<i>tuf</i>			HM627887
Forward	5' AGTTGAAATCATCGGTATGC 3'	296 - 315	
Revers	5' TGTGGCGATAGTTAGTG 3'	559 - 542	
Probe	5' AAGTATTAGCTGCTCCTGGTTCT 3'	442 - 464	

Tabell 8 Egenskaper for primere og probe *tuf*

<i>tuf</i>	Forward	Revers	Probe
Ant. basepar	20	18	23
Produktlengde	264 bp.		
Tm i °C NN/2(A+T)+4(G+C)	54,6/56	54/54	59/66
Duplex	OK	OK	OK
Mixed Dupelx	OK		
Hairpins	OK	OK	OK
GC-innhold i %	40 %	50 %	43 %
Internal stability	OK	OK	Ok

BLAST-søk på forwardprimer til *tuf* viser 100% likhet med *S. cohnii*, *S. saccharolyticus*, *S. kloosii*, *Serratia rubidaea*. Det er også store likheter i baserekkefølgen og lik 3'ende med *S. equorum*. BLAST-søk på reversprimer viser ikke treff med de samme bakteriene som forwardprimer, men 100% likhet med *Triticum aestivum*. Likheter i rekkefølge og lik 3'ende som *Mus musculus*, *Corynebacterium mustiae*, *Ascaris lumbricoides*, *H. pylori South Africa*, *Anisakis simplex*, *Serratia fonticola*.

5.1.1.5 *hsp60*

Heat shock-proteiner er viktige for unngå varmeskade på andre proteiner i bakterien. Genene er høykonservert og en kan derfor regne med å finne det i alle *S. epidermidis*. Alignment av genet fra Clustal Omega kan leses i vedlegg 3 og 4.

Tabell 9 Primere og probe for *hsp60*

Gen	Sequence (5'- 3')	Position	GenBank AccN
<i>Hsp60</i>			EU659874
Forward	5' GTGCAAATCCTGTAGGCTAA 3'	51- 71	
Revers	5' CAGAAATGTAGCGACCGA 3'	209 -192	
Probe	5'CCAACTTGCGCTATCTCGTTC 3'	145 - 164	

Tabell 10 Primer og probeegenskaper for *hsp 60*

<i>hsp60</i>	Forward	Revers	Probe
Ant. basepar	21	18	21 (minusstrand)
Produktlengde	159 bp		
Tm i °C NN/2(A+T)+4(G+C)	54,7/60	56,2/54	60,4/64
Duplex	Ok	Ok	Ok
Mixed Dupelx	Reversprimer med probe (G fri energi -2,5kcal/mol)		
Hairpins	Ok	Ok	Ok
GC-innhold	42%	50%	52% GC-clustere i enden OK Ikke G i 5'ende
Internal stability	Ok	Ok	Ok

BLAST-søk på forwardprimer viste 100% likhet med *S. saccharolyticus*, *S. muscae*, *Sebaldella termitidis*. Store likheter og lik 3'ene og med *Clostridium botulinum*. Reversprimer får 100 %treff med baserekkefølgen til *S. saprophyticus*, men ingen andre mikroorganismer som sannsynligvis har betydning for PCR. *In silico*-analysen anses derfor som spesifikk for *S. epidermidis*.

I de neste avsnitt beskrives resultater fra søk som gjorde at de følgende genene ble valgt bort for primerdesign.

16S rRNA inneholder hypervariable områder som kan være species-spesifikke og egne seg for identifikasjon av bakterier. Etter søk i GenBank på «*Staphylococcus epidermidis* AND *16S rRNA*» ble det valgt ut en konsensussekvens. Konsensussekvenens på 1554 basepar (aksesjonsnummer: NR_074995) ble søkt på i BLAST. Siden det var veldig liten forskjell mellom *S. epidermidis* og andre vanlige stafylokokker ble genet ansett som uegnet for å lage en PCR. En ønsker helst flere ulikheter i baserekkefølgen for å lage en spesifikk primer. Sekvensen til *S. capitis* var blant annet likt i 1545/1554 basepar.

atlE-genet skal være mer prevalent i de invasive *S. epidermidis* enn i hudflora. Målet med oppgaven skulle være å påvise alle *S. epidermidis*, ikke bare se på de med en spesiell virulensfaktor. *atlE* genet fins ikke i alle *S. epidermidis* og genet ble derfor ansett som uegnet for formålet.

Det var vanskelig å søke på *nuc* som gen i GenBanken, få treff og sekvenserte stammer på dette genet. Valget ble derfor å heller å fokusere på noen av de andre kandidatene.

femA-SE genet presenteres som en god kandidat for real-time PCR-assay for *S. epidermidis* i en studie fra 2010(13). *femA* koder for factor essential for methicillin resistance. Siden kun 60-70% av *S. epidermidis* er meticillinresistente anses genet som uegnet for å påvise alle *S. epidermidis* i denne oppgaven.

5.2 MALDI-TOF ID-BESTEMMELSE AV STAMMENE

Stammene (se avsnitt 4.2 om referansestammer) tatt opp av fryseren 25.09.2015 ble ID-bestemt 30.09.2015. Bildet er en scannet utskrift av resultater fra MALDI-TOF-maskinen. Alle stammer er satt opp dobbelt for kontroll. *S. condimenti* har på det ene feltet ikke fått nok materiale og er derfor merket som «*not reliable identification*».

Result Overview

Analyte Name	Analyte ID	Organism (best match)	Score Value	Organism (second best match)	Score Value
G8 (++) (A)	CCUG 7323T	Staphylococcus haemolyticus	2.08	Staphylococcus haemolyticus	1.966
G9 (+) (B)	CCUG 7323T	Staphylococcus haemolyticus	1.878	Staphylococcus haemolyticus	1.843
G10 (++) (A)	CCUG 7326	Staphylococcus capitis	2.23	Staphylococcus capitis	2.158
G11 (++) (A)	CCUG 7326	Staphylococcus capitis	2.275	Staphylococcus capitis	2.253
G12 (++) (A)	CCUG 17621	Staphylococcus aureus	2.156	Staphylococcus aureus	1.861
H1 (++) (A)	CCUG 17621	Staphylococcus aureus	2.179	Staphylococcus aureus	1.858
H2 (-) (C)	107749-14	not reliable identification	1.615	not reliable identification	1.362
H3 (+) (B)	107749-14	Staphylococcus condimenti	1.842	not reliable identification	1.678
H4 (++) (A)	ATCC 35984	Staphylococcus epidermidis	2.141	Staphylococcus epidermidis	2.066
H5 (++) (A)	ATCC 35984	Staphylococcus epidermidis	2.099	Staphylococcus epidermidis	2.08
H6 (++) (A)	132349-15	Staphylococcus hominis	2.107	Staphylococcus hominis	2.175
H7 (++) (A)	132349-15	Staphylococcus hominis	2.213	Staphylococcus hominis	2.052
H8 (++) (A)	110000-15	Staphylococcus lugdunensis	2.035	Staphylococcus lugdunensis	2.026
H9 (+) (B)	110000-15	Staphylococcus lugdunensis	1.354	Staphylococcus lugdunensis	1.735

Figur 3 Resultater fra MALDI-TOF med ID-bestemmelse av referansestammene.

5.3 PCR

5.3.1 Fargeforklaring:

Alle stammene er representert med de samme fargene i videre grafer. Grafene er skjermdumpere fra programmet CFX96 Bio-Rad.

- **S. haemolyticus, CCUG 7323T**
- **S. capitis , CCUG 7326**
- **S. aureus, CCUG 17621**
- **S. condimenti, 107749 – 14**
- **S. epidermidis, ATCC 35984**
- **S. hominis, 132349 -15**
- **S. lugdunensis, 110000-15I**
- **Negativ kontroll**

5.3.2 Resultat fra real-time PCR med EvaGreen, alle primerpar og ufortynnet templat. Protokoll 1.

Kommentarer til tabell

CT: cycle threshold. Skjæringspunktet mellom amplifikasjonskurven og terskelverdien (threshold line), denne linjen er satt til 200 RFU (relative fluorescence units, mål der man har deteksjon av fluorescens) for alle prøver. CT-verdien er det syklusnummeret hvor fluorescensen passerer terskelverdien Det er et relativt mål på konsentrasjonen i PCR-reaksjonen. Samme som Cq-verdi.

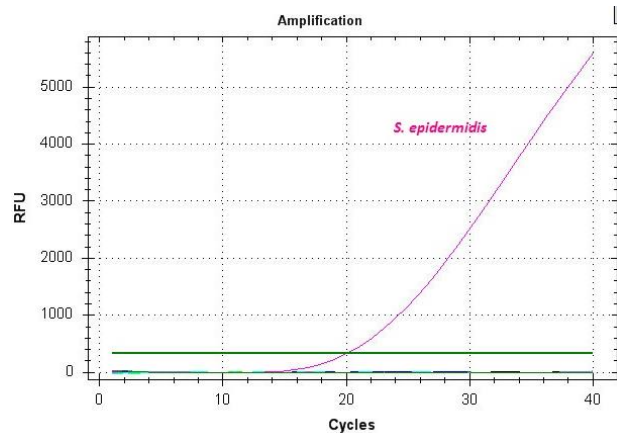
Melt temp: smelte temperaturen for produktene i PCR-reaksjonen i °C.

Tabell 11 CT-verdier og smelte temperaturer for initial PCR-analyse med alle primerassay

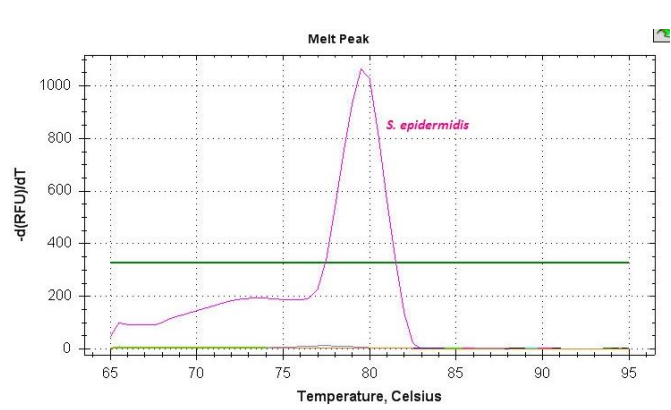
	CCUG 7323T <i>S. haemolyticus</i>	CCUG 7326 <i>S. capitis</i>	CCUG 17621 <i>S. aureus</i>	107749 – 14 <i>S. condimenti</i>	ATCC 35984 <i>S. epidermidis</i>	132349 - 15 <i>S. hominis</i>	110000-15I <i>S. lugdunensis</i>	Neg. kontroll
<i>hsp60</i> Melt temp					79,50			
<i>hsp60</i> CT					18,71			
<i>gap</i> Melt temp	79,00	79,00		79,00	78,50	78,00	78,50	
<i>gap</i> CT	31,86	17,86		32,58	15,26	33,33	34,91	
<i>sodA</i> melt temp	78,50	78,50	78,50		78,50	77,00	78,50	
<i>sodA</i> CT	38,72	33,84	38,49		16,22	28,99	30,59	39,98
<i>tuf</i> Melt temp	81,00	81,00	80,50	79,50	80,50		75,50	
<i>tuf</i> CT	25,93	16,66	34,06	29,20	18,35		38,31	
<i>rpoB</i> melt temp					76,00			
<i>rpoB</i> CT					16,65			

Leser av tabellen at alle primerpar er amplifisert minst en gang, det vil si at det er tilstrekkelig DNA i alle prøvene til å bli oppformert, men det er usikkert om det er sammenliknbare mengde DNA i alle prøvene.

hsp60. Kun *S. epidermidis* ble amplifisert i reaksjonen med annealingtemperatur 52° C. Primerparet kan derfor tolkes som spesifikt for *S. epidermidis*. Se CT-verdier og smelte temperaturer i tabell 11. Det ble i første omgang kun kjørt med annealingtemperatur 52° C, det må derfor gjøres en gradientanalyse for å se om det dannes andre produkter ved høyere og lavere annealingtemperaturer. Videre ses graf som viser amplifikasjonskurve og smeltepunktskurve.



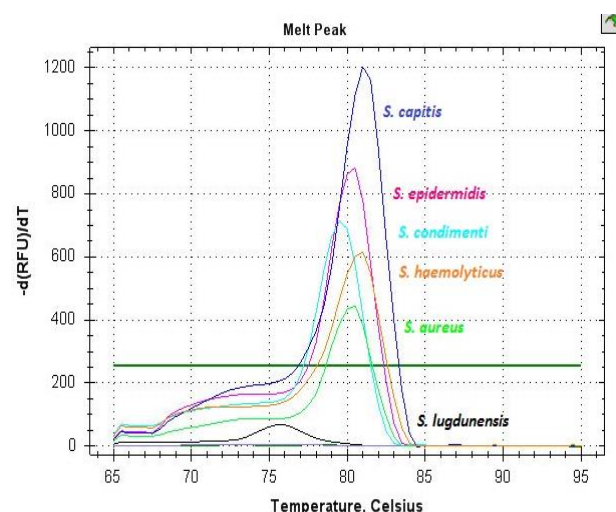
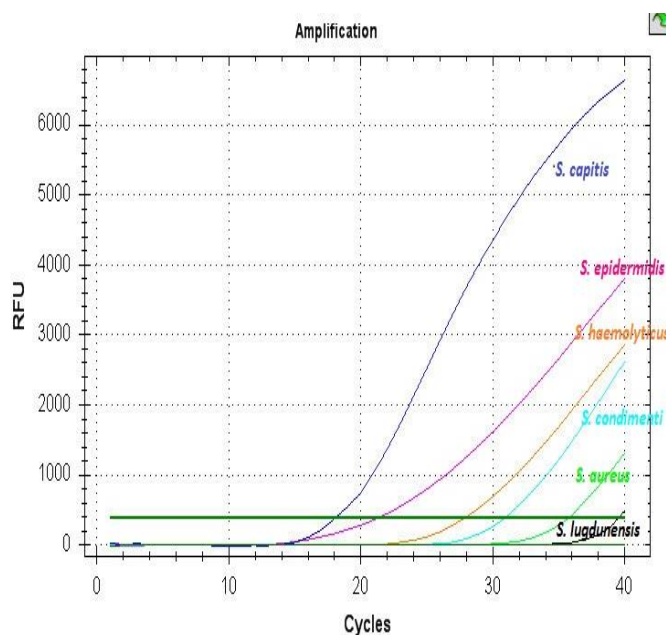
Figur 4 Amplifikasjon av hsp60 (kjørt med protokoll 1)



Figur 5 Smeltepunktskurven for hsp60 (kjørt med protokoll 1)

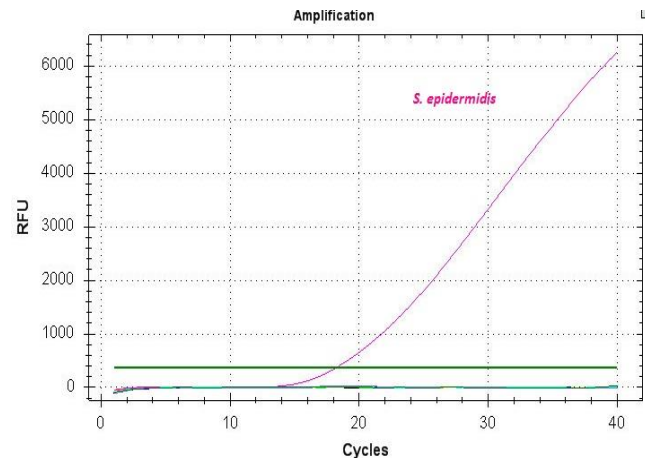
tuf. *S. capitatis*, *S. epidermidis*, *S. condimenti*, *S. haemolyticus* og *S. aureus* ble amplifisert.

Den lille toppen av *S. lugdunensis* ved 75,50 °C (se smeltepunktskurve) tolkes som uspesifikke primerdimerer, den har en høy CT-verdi og en smeltepunktskurve som avviker klart fra de andre. Ved protokollen som er kjørt med 52 °C tolkes smeltepunktene som for like (se tabell) for å skille *S. epidermidis* fra de øvrige stammene. Det skal derfor gjøres en gradientanalyse for å se nærmere på om andre temperaturer skiller dem bedre.

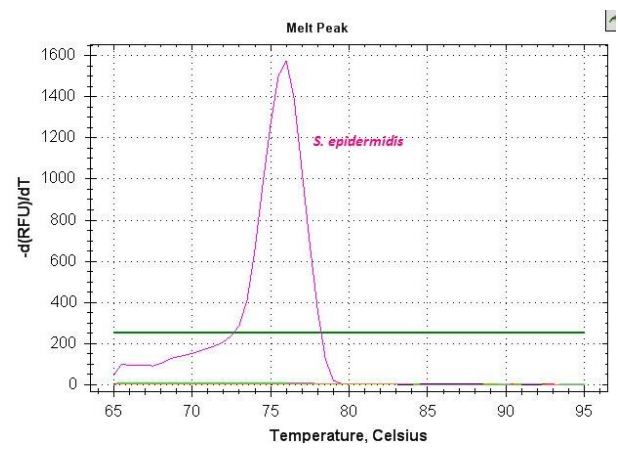


Figur 6 Til venstre amplifikasjonskurve for tuf (protokoll 1), til høyre ses smeltepunktskurve.

rpoB. *S. epidermidis* var den eneste stammen som ble amplifisert i reaksjonen. Primerparet kan derfor tolkes som spesifikt. Se CT-verdier og smelte temperaturer i tabell. Det skal gjøres gradientanalyse for å se om andre stammer amplifiseres ved andre annealing temperaturer.

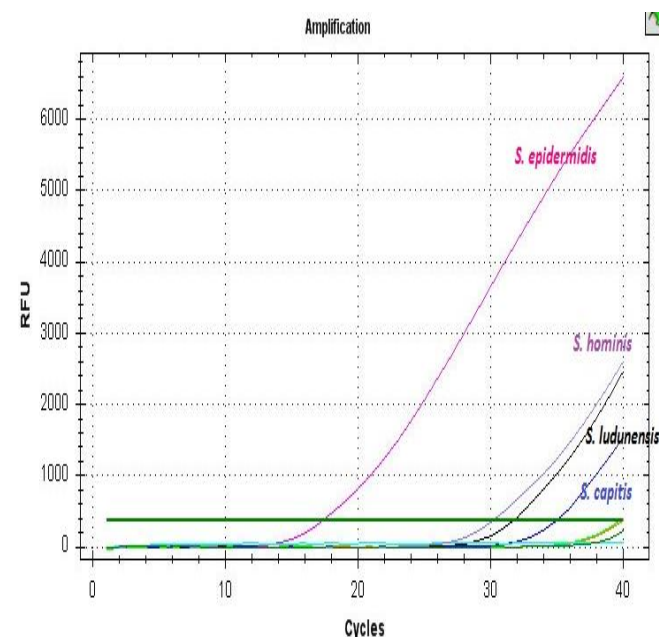


Figur 7 Amplifikasjonskurve for rpoB (protokoll 1)

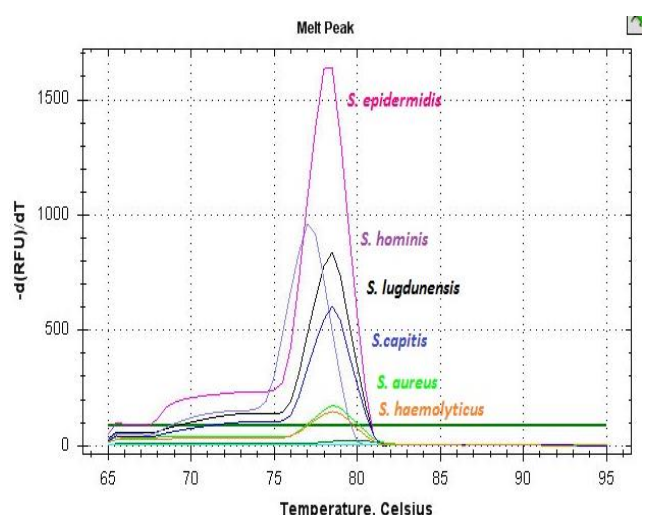


Figur 8 Smeltekurve for rpoB (protokoll 1)

sodA. *S. epidermidis*, *S. capitis*, *S. hominis*, *S. lugdunensis*, *S. aureus* og *S. haemolyticus* ble amplifisert i reaksjonen. *S. epidermidis* hadde lavest CT-verdi, se tabell 11. Smeltepunktet til *S. epidermidis* var likt (78,50 °C) som *S. haemolyticus*, *S. aureus* og *S. lugdunensis* og skilte bare 0,5 °C fra *S. hominis*. Det blir derfor vanskelig å skille ut *S. epidermidis* med denne protokollen.

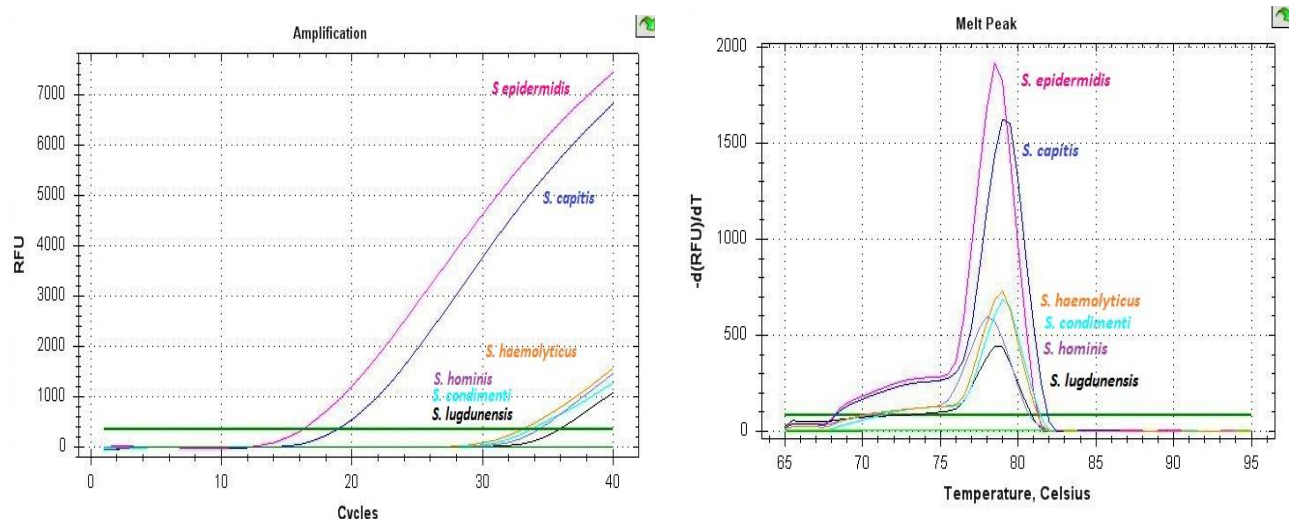


Figur 9 Amplifikasjonskurve for sodA (protokoll 1)



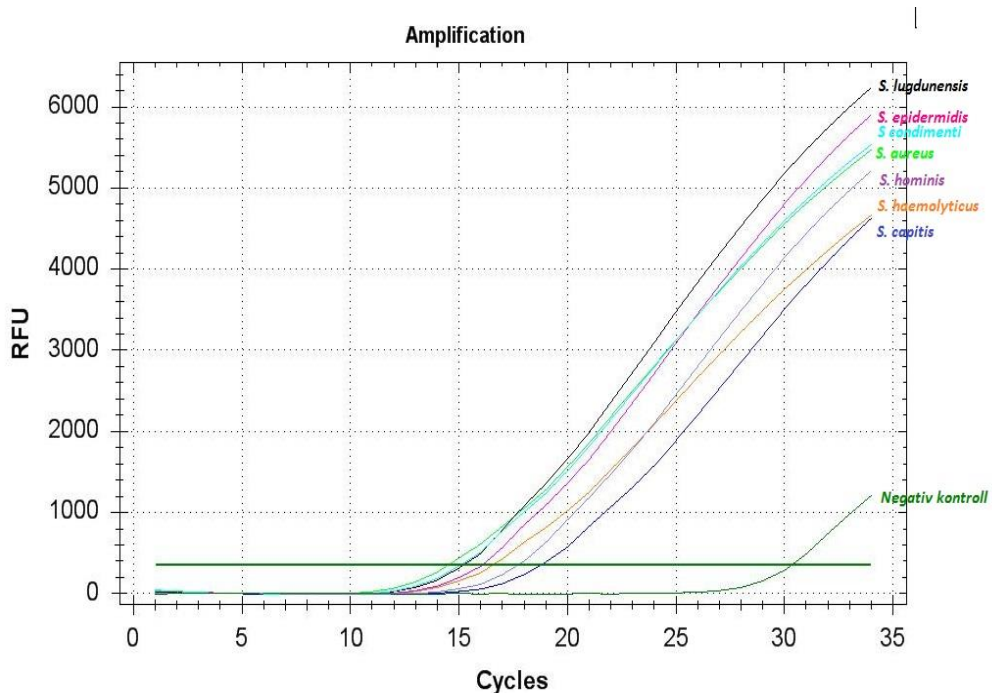
Figur 10 Smeltekurve for sodA (protokoll 1)

gap. Alle referansestammene unntatt *S. aureus* ble amplifisert. *S. capitis* og *S. epidermidis* hadde lavest CT-verdier (17,86 og 15, 26). Smeltepunktene varierer fra 78, 00 ° C – 79,00 ° C og er derfor for like til å skille ut *S. epidermidis* spesifikt.



Figur 11 Til venstre amplifikasjonskurve gap (protokoll 1). Til høyre smeltekurve gap (protokoll 1)

5.3.3 Resultat fra 16S rRNA universell PCR



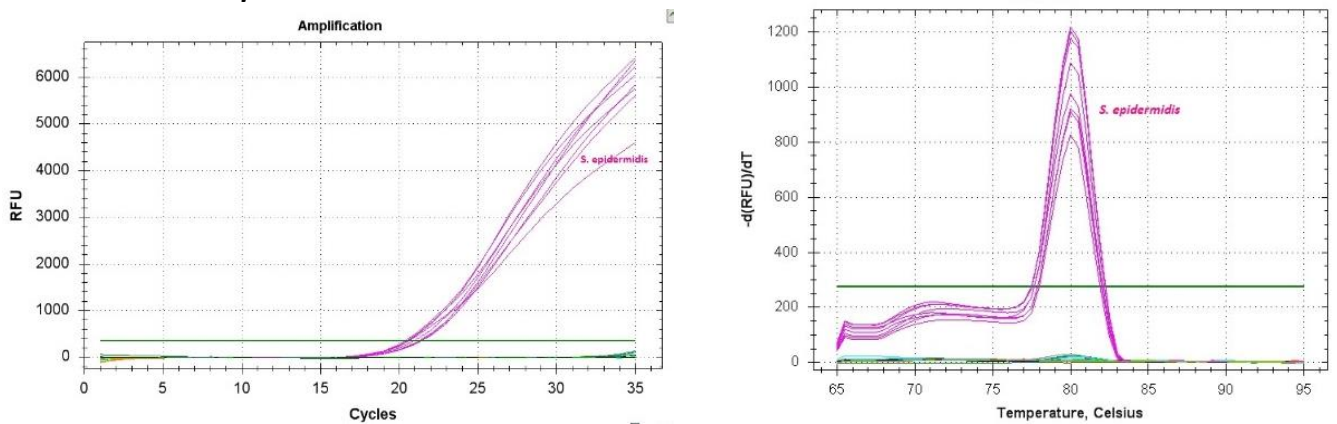
Figur 12 amplifikasjonskurve for 16S universal PCR.

Alle stamme ble amplifisert av den universelle PCR for 16S, det tolkes som at det er DNA-materiale i alle prøvene. Et negativt resultat med et spesifikt primerpar (i de andre reaksjonene) kan derfor tolkes som reelt negativt. Den negative kontrollen slår som ventet positivt ut. 16S er en PCR som skal dekke og oppformere alle bakterier, det fins bakterielt materiale overalt, i reagenser, utstyr og vann.

	CCUG 7323T <i>S. haemolyticus</i>	CCUG 7326 <i>S. capitis</i>	CCUG 17621 <i>S. aureus</i>	107749 – 14 <i>S. condimenti</i>	ATCC 35984 <i>S. epidermidis</i>	132349 - 15 <i>S. hominis</i>	110000-15I <i>S. lugdunensis</i>	Negativ kontroll
16S Melt temp	85,50	85,50	85,50	85,50	85,50	85,50	85,50	
16S CT	16,07	18,20	14,02	14,52	15,51	17,20	14,68	29,86

5.3.4 Resultater fra gradientanalyse

5.3.4.1 *hsp60*



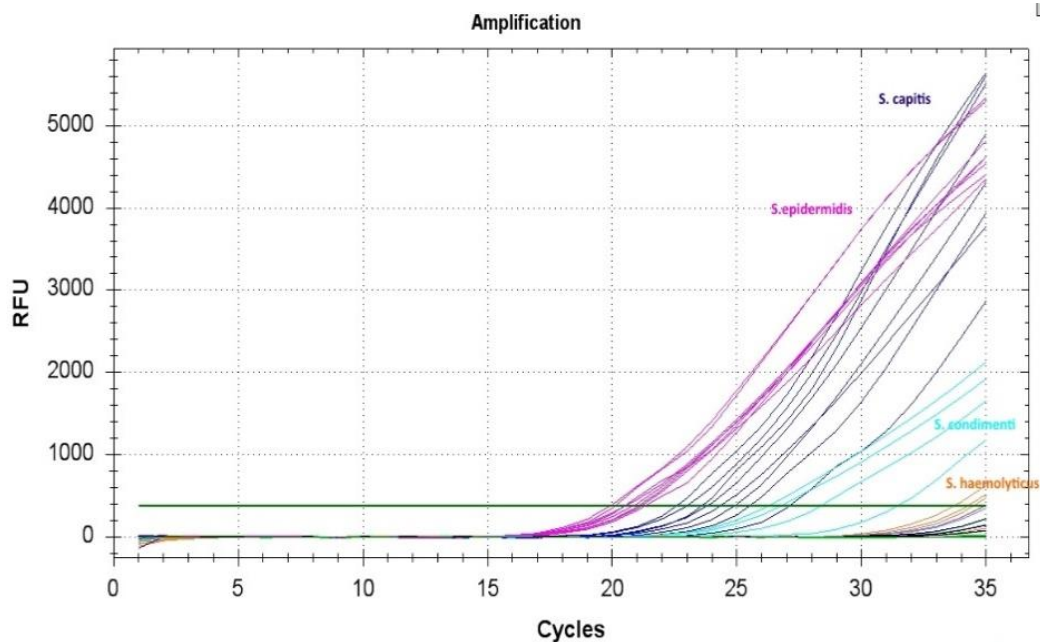
Figur 13 Til venstre er amplifikasjonskurven og til høyre vises smeltepunktskurven for gradientanalyse med primerpar *hsp60*

Tabell gradientanalyse *hsp60*. Cq-verdier og smelte temperatur etter oppsett i PCR-maskinen.

<i>hsp60</i>	CCUG 7323T <i>S. haemolyticus</i>	CCUG 7326 <i>S. capitis</i>	CCUG 17621 <i>S. aureus</i>	107749 – 14 <i>S. condimenti</i>	ATCC 35984 <i>S. epidermidis</i>	132349 - 15 <i>S. hominis</i>	110000-15I <i>S. lugdunensis</i>	Neg. kontroll
64,3°C					80, 00 °C 20,65 (Cq)			
63,1 °C					80, 00 °C 20,53 (Cq)			
60,9 °C					80, 00 °C 20,42 (Cq)			
56,9 °C					80, 00 °C 20,56 (Cq)			
52°C					80, 00 °C 21,00 (Cq)			
48,2 °C					80, 00 °C 21,46 (Cq)			
45,5 °C					80, 00 °C 21,40 (Cq)			
44,3 °C					80, 00 °C 21,30 (Cq)			

Kun *S. epidermidis* blir oppformert av primersetet til *hsp60* ved PCR-reaksjoner kjørt med ulike temperaturer. Cq-verdiene er ganske like, noe som er en styrke for primersetet. Lavest Cq-verdi ses ved 60,9 °C.

5.3.4.2 gap



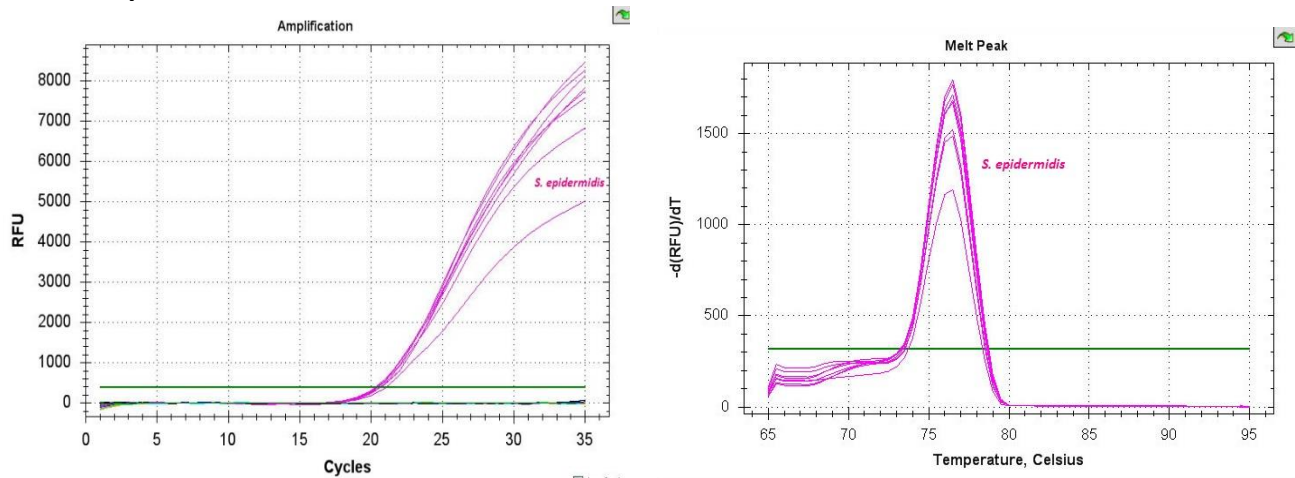
Figur 14 Amplifikasjonskurve gradientanalyse av gap

Tabell gradientanalyse gap. Cq-verdier og smeltetemperatur etter oppsett i PCR-maskinen.

gap	CCUG 7323T <i>S. haemolyticus</i>	CCUG 7326 <i>S. capitis</i>	CCUG 17621 <i>S. aureus</i>	107749 – 14 <i>S. condimenti</i>	ATCC 35984 <i>S. epidermidis</i>	132349 - 15 <i>S. hominis</i>	110000-15I <i>S. lugdunensis</i>	Neg. kontroll
64,3°C		79,50 °C 27,10 (Cq)			79,00 °C 20,47 (Cq)			
63,1 °C		79,50 °C 25,40 (Cq)			79,00 °C 20,10 (Cq)			
60,9 °C		79,50 °C 23,56 (Cq)			79,00 °C 21,29 (Cq)			
56,9 °C		79,50 °C 22,55 (Cq)			79,00 °C			
52°C	79,50 °C 34,88 (Cq)	79,50 °C 22,99 (Cq)		79,50 °C 31,41 (Cq)	79,00 °C 20,50			
48,2 °C	79,50 °C 33,68 (Cq)	79,50 °C 23,79 (Cq)		79,50 °C 28,34 (Cq)	79,00 °C 20,81 (Cq)			
45,5 °C	79,50 °C 34,23 (Cq)	79,50 °C 24,31 (Cq)		79,50 °C 26,73 (Cq)	79,00 °C 21,04 (Cq)			
44,3 °C	79,50 °C 34,46 (Cq)	79,50 24,88 (Cq)		79,50 °C 26,24 (Cq)	79,00 °C 21,14 (Cq)	78,50 °C 34,94 (Cq)		

S. capitis, i tillegg til *S. epidermidis*, ble oppformert ved alle temperaturer. *gap*-primerparet er derfor ikke spesifikt for kun *S. epidermidis*. Ved økt temperatur bortfaller reaktiviteten for *S. haemolyticus*, *S. condimenti* og *S. hominis*. Smeltepunktene på henholdsvis 79,50°C og 79,00 °C er for lite for å skille de to på en sikker måte.

5.3.4.3 *rpoB*



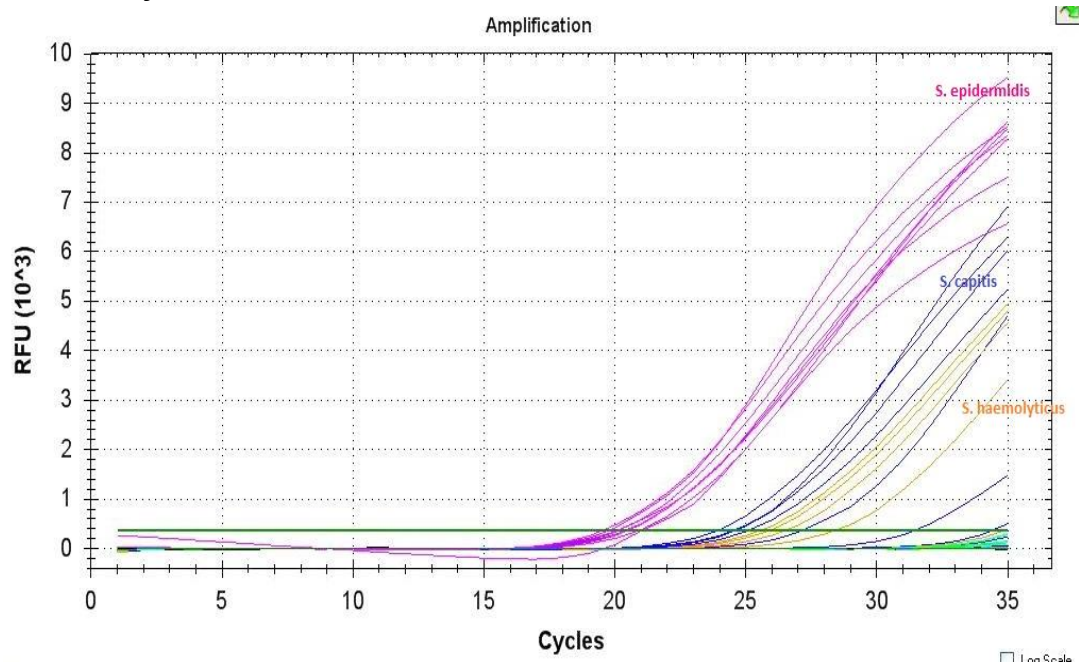
Figur 15 Amplifikasjonskurve (til venstre) og smeltepunktskurve (til høyre) for gradientanalyse med *rpoB*.

Primerparet *rpoB* er spesifikt for *S. epidermidis* ved alle temperaturer. Cq-verdiene er omtrent de samme for alle annealingtemperaturer.

Tabell gradientanalyse *rpoB*. Cq-verdier og smeltetemperatur etter oppsett i PCR-maskinen.

<i>rpoB</i>	CCUG 7323T <i>S. haemolyticus</i>	CCUG 7326 <i>S. capitis</i>	CCUG 17621 <i>S. aureus</i>	107749 – 14 <i>S. condimenti</i>	ATCC 35984 <i>S. epidermidis</i>	132349 - 15 <i>S. hominis</i>	110000-15I <i>S. lugdunensis</i>	Neg. kontroll
64,3°C					76, 50 °C 21,05 (Cq)			
63,1 °C					76,50 °C 20,60 (Cq)			
60,9 °C					76, 50 °C 20,45 (Cq)			
56,9 °C					76,50 °C 20,40 (Cq)			
52°C					76,50 °C 20,28 (Cq)			
48,2 °C					76,50 °C 20,35 (Cq)			
45,5 °C					76,50 °C 20,62 (Cq)			
44,3 °C					76, 50 °C 20,64 (Cq)			

5.3.4.4 tuf

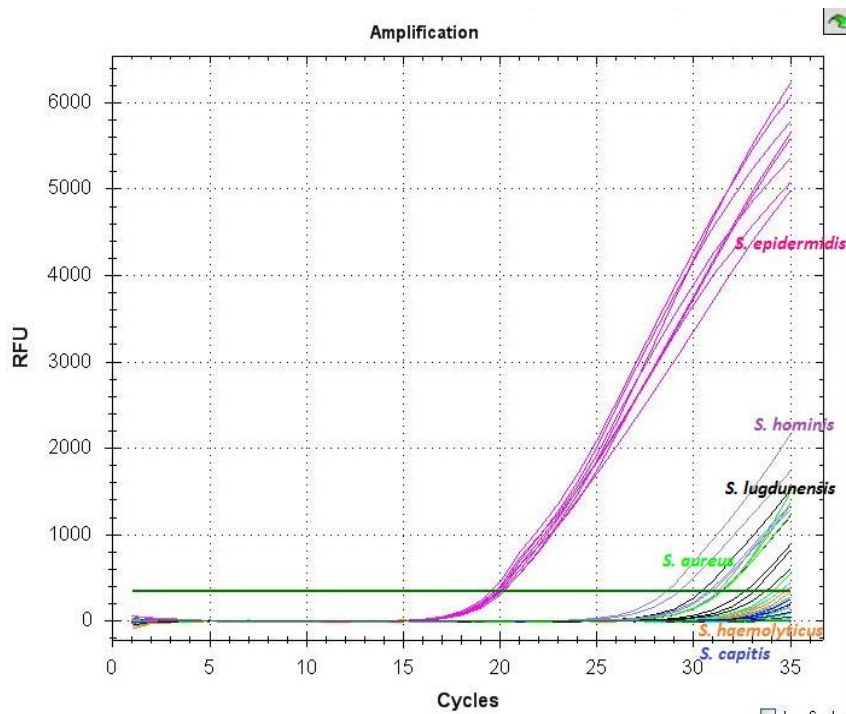


Figur 16 Amplifikasjonskurve for gradientanalyse med tuf.

Tabell gradientanalyse tuf. Cq-verdier og smeltetemperatur etter oppsett i PCR-maskinen.								
tuf	CCUG 7323T <i>S. haemolyticus</i>	CCUG 7326 <i>S. capititis</i>	CCUG 17621 <i>S. aureus</i>	107749 – 14 <i>S. condimenti</i>	ATCC 35984 <i>S. epidermidis</i>	132349 - 15 <i>S. hominis</i>	110000-15I <i>S. lugdunensis</i>	Neg. kontroll
64,3 °C					81,00 °C 20,12 (Cq)			
63,1 °C		34,38 (Cq)			81,00°C 21,02 (Cq)			
60,9 °C		31,42 (Cq)			81,00 19,73 (Cq)			
56,9 °C	34,86 (Cq)	81,50 °C 27,14 (Cq)			81, 00°C 19,50 (Cq)			
52°C	81,50 °C 28,36 (Cq)	82,00 °C 24,49 (Cq)			81,00 °C 20,08 (Cq)			
48,2 °C	81,50 °C 26,49 (Cq)	82,00 °C 23,94(Cq)			81,00 °C 20,90 (Cq)			
45,5 °C	81,50 °C 25,52 (Cq)	82,00 °C 24,57(Cq)			81,00 20,45 (Cq)			
44,3 °C	81,50 °C 25,91 (Cq)	82,00 °C 25,08			81,00 °C 20,37 (Cq)			

Bare ved høyest temperatur 64,3 °C, er tuf-primerparet spesifikk for *S. epidermidis*. Cq-verdien til *S. capititis* er høy ved 63, 1°C, men det er ikke nok for å støle på at primersetet er helt spesifikt ved denne temperaturen.

5.3.4.5 sodA



Kun *S. epidermidis* amplifiseres ved 60,9 – 64,3 °C for primerparet designet for *sodA*. Ved lavere temperaturer oppfører også *S. hominis*, *S. aureus* og *S. lugdunensis*. Se Cq-verdier og smeltetemperatur i tabell.

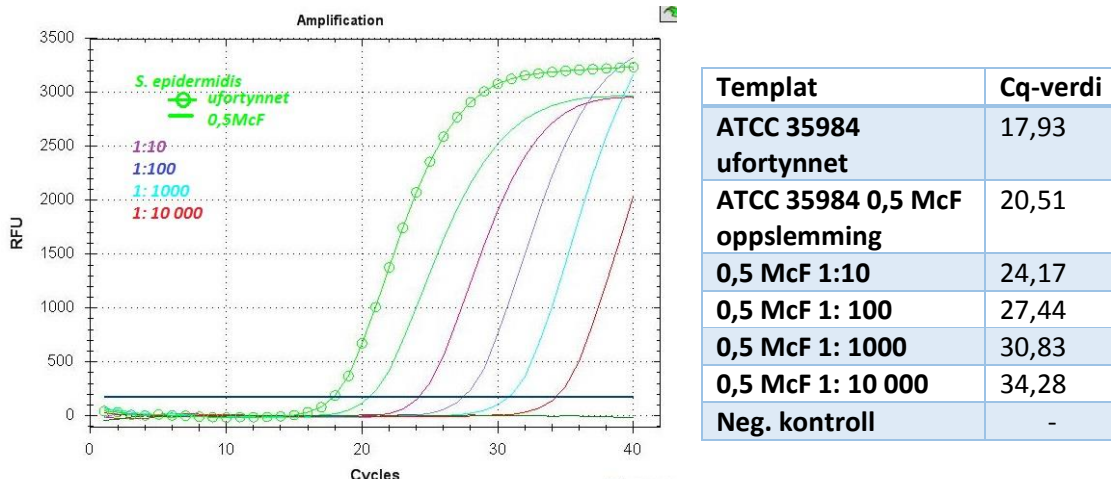
Figur 17 Amplifikasjonskurve gradientanalyse av *sodA*.

Tabell gradientanalyse <i>sodA</i> . Cq-verdier og smeltetemperatur etter oppsett i PCR-maskinen.								
<i>sodA</i>	CCUG 7323T <i>S. haemolyticus</i>	CCUG 7326 <i>S. capitis</i>	CCUG 17621 <i>S. aureus</i>	107749 – 14 <i>S. condimenti</i>	ATCC 35984 <i>S. epidermidis</i>	132349 -15 <i>S. hominis</i>	110000-15I <i>S. lugdunensis</i>	Neg. kontroll
64,3°C					78, 50°C 19,87 (Cq)			
63,1 °C					78,50 °C 19,60 (Cq)			
60,9 °C					78,50 °C 19,87 (Cq)			
56,9 °C					78,50 °C 19,40 (Cq)	77,50 °C 31,14 (Cq)	33,01 (Cq)	
52°C	34,31 (Cq)				78,50 °C 20,08 (Cq)	77,50 °C 28,44 (Cq)	78,50 °C 30,27 (Cq)	
48,2 °C			80,00°C 31,24 (Cq)		78,50 °C 19,61 (Cq)	77,50 °C 29,11 (Cq)	78,50 °C 31,28 (Cq)	
45,5 °C			80,00 °C 31,29 (Cq)		78,50 °C 19,83 (Cq)	77,50 °C 30,59 (Cq)	32,47 (Cq)	
44,3 °C			80, 00 °C 31,30 (Cq)		78,50 °C 19,96 (Cq)	77, 50°C 30,75 (Cq)	33,55 (Cq)	

5.4 PCR MED TAQMAN-PROBE OG PRIMERPARET HSP60

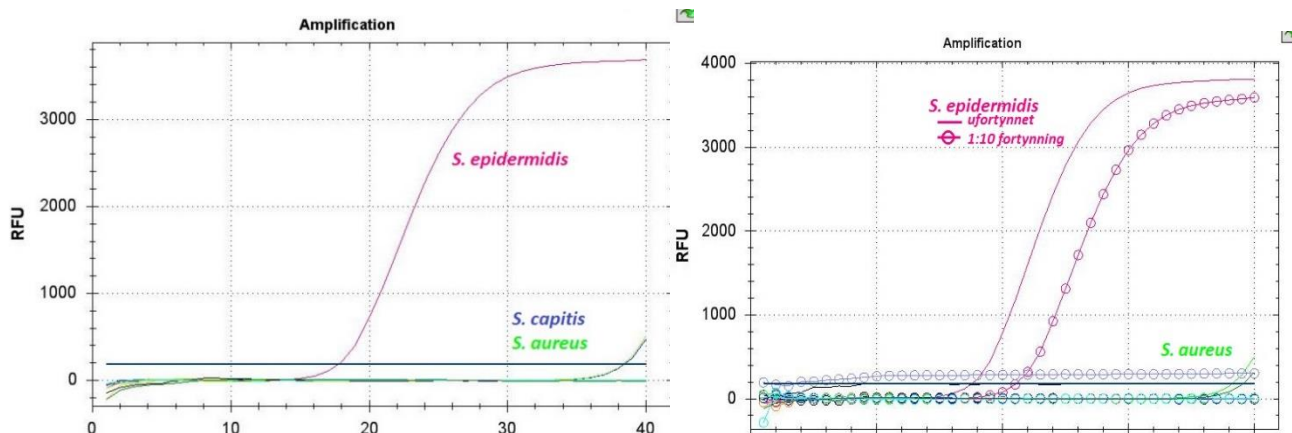
5.4.1 Initiale resultater PCR kjørt 05.11.2015

Templat i alle brønner var ATCC 35984, *S. epidermidis*.



Figur 18 Amplifikasjonskurve hsp60 med TaqMan-probe og templat ATCC 35984 (*S. epidermidis*)

5.4.2 Resultater PCR med referansestammene og Taqman-probe.



Figur 19 Amplifikasjonskurve med referansestammer som templat, TaqMan-probe og hsp60. Oppsett 1 til venstre og oppsett 2 til høyre.

hsp60 primerpar og TaqMan-probe. PCR med referansestammene			
	Oppsett 1	Oppsett 2	
Templat	Cq-verdi Ufortynnet templat 10.11.2015	Cq-verdi Ufortynnet templat 11.11.2015	Cq-verdi Templat 1: 10 fortynnet 11.11.2015
<i>S. haemolyticus</i>	-	-	-
<i>S. capitis</i>	38,45	-	-
<i>S. aureus</i>	38,35	38,05	-
<i>S. condimenti</i>	-	-	-
<i>S. epidermidis</i>	17,78	17,30	20,83
<i>S. hominis</i>	-	-	3,04
<i>S. lugdunensis</i>	-	8,15	-
Neg. kontroll	-	38,88	-

Det ble kjørt PCR tre ganger totalt med de andre referansestammene, siden *S. aureus* og *S. capitis* ble amplifisert i første kjøring. *S. aureus* ble også amplifisert i andre kjøring, men ikke med fortynnet templat. *S. capitis* ble ikke amplifisert i oppsett to og tre. Regner med at resultat *S. hominis* og *S. lugdunensis* (Cq 3,04 og 8,15) er feil. De har heller ikke den karakteristiske sigmaformen til *S. epidermidis* som viser eksponentiell amplifikasjon av produkt.

5.4.3 Sammenlikning av TaqMan-probe og EvaGreen

Tabell 12 Cq-verdier PCR for referansestammen ATCC 35984 (*S. epidermidis*) med TaqMan-probe og EvaGreen med annealingtemperatur 57°C.

Primerset <i>hsp60</i>	ATCC 35984 ufortynnet	ATCC 35984 1: 10	ATCC 35 984 1:100	ATCC 35984 1:10 000
TaqMan	17,30	20,83	25,66	33,22
EvaGreen		19,80	22,65	29,13

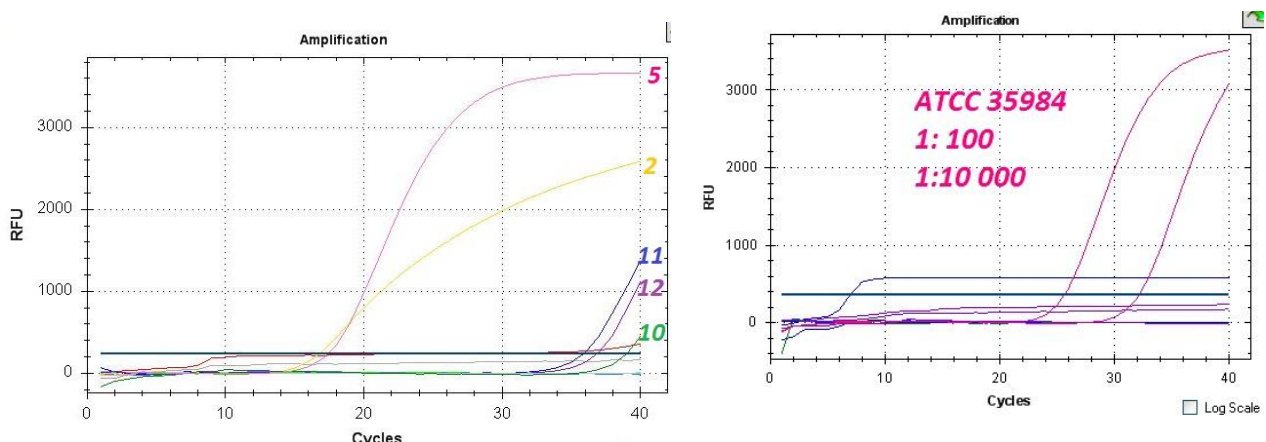
Ser en tendens til litt høyere Cq-verdier med TaqMan enn med EvaGreen.

5.5 PCR MED KLINISKE PRØVER SOM TEMPLAT

Analysen av kliniske prøver var blindet og funn av hvilke stafylokokker det var i prøvene ble hentet fra rutinelaboratoriet ved St. Olavs hospital etter at første PCR var kjørt. Funn av bakterier er bestemt ved dyrkning og ID-bestemmelse med MALDI-TOF. Prøvenummer og hvilke bakterier det var oppvekst av ved dyrkning:

1. *S. aureus*
2. *S. epidermidis*
3. *S. hominis*
4. *S. aureus*
5. *S. capitis* og *S. epidermidis*
6. *S. hominis*
7. *S. epidermidis*
8. *S. hominis*
9. *S. aureus*
10. *S. aureus*
11. *S. aureus*
12. *S. aureus*

5.5.1 PCR-resultater fra kliniske prøver med primerassay *hsp60* og *TaqMan*-probe.



Figur 20 Kliniske prøver isolert med easyMag®. Til venstre er med DNA isolert første gang. Til høyre med reisolert DNA.

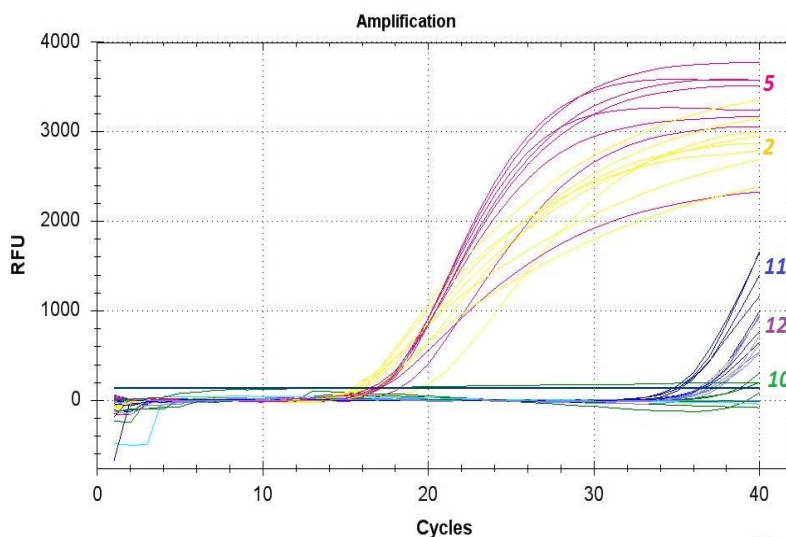
Pasientprøve 11 og 12 ble reisolert fordi det var disse som skulle inneholde *S. aureus*, men likevel slo ut på *hsp60*-primerset. Prøve 10 lot seg ikke reisolere.

Cq-verdier for kliniske prøver kjørt med TaqManprobe			
Prøve-nummer	Iisolert med Qiagen spinnkolonne	DNA isolert easyMag 18.11	DNA reisolert med easyMag 24.11
1	-	-	Ikke satt opp
2	-	16,84	Ikke satt opp
3	-	-	Ikke satt opp
4	-	-	Ikke satt opp
5	-	17,41	Ikke satt opp
6	-	-	Ikke satt opp
7	-	-	Ikke satt opp
8	-	28,82	Ikke satt opp
9	-	-	Ikke satt opp
10	-	39,03	Ikke satt opp
11	-	35,91	Fortynning 1:10 000 6,96
12	34,19	36,88	-
ATCC 35984 1:100	Ikke satt opp	Ikke satt opp	25,66
ATCC 35984 1: 10 000	Ikke satt opp	Ikke satt opp	32,19

DNA isolert med spinnkolonne er ikke riktige. Resultat i prøve 8 (DNA isolert med easyMag®) ses bort i fra (rød linje i figur opp til venstre). Prøve 8 amplifiseres først av alle og har ikke den karakteristiske formen de andre prøvene viser, går derfor ut i fra at dette er feil. Prøve 11 med reisolert DNA med Cq-verdi 6,96 kan en også se bort ifra.

Med reisolert DNA ble oppsettet spesifikt for *S. epidermidis*.

5.5.2 Resultater fra gradientanalyse med primerpar *hp60* og TaqMan-probe

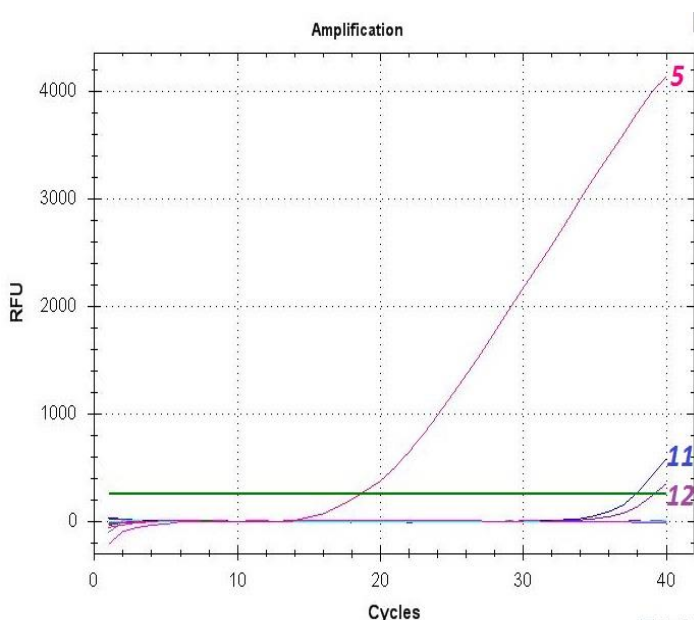


Figur 21 Amplifikasjonskurve gradientanalyse for kliniske prøver.

Ingen temperaturer kunne skille ut prøve 2 og 5 som skulle inneholde *S. epidermidis*. Cq-verdier ses i tabell. Cq-verdi for prøve 10, ved 51,1°C regnes som feil. Ser av grafen at den ikke har den karakteristiske S-formen, og prøve 10 amplifiseres kun i to andre brønner med betydelig høyere Cq-verdier.

Gradientanalyse av kliniske prøver (DNA isolert med easyMag® første gang)					
Temperatur i rad	Prøve 2	Prøve 5	Prøve 10	Prøve 11	Prøve 12
66,1 °C	19,53	17,15	-	36,67	37,23
65,2 °C	16,99	18,28	-	36,36	37,49
63,6 °C	15,76	16,49	-	35,28	36,56
60,6 °C	16,12	16,89	-	34,81	37,26
57,0 °C	15,54	17,12	38,37	35,11	36,57
54,1 °C	16,07	16,93	-	36,32	36,31
52,1 °C	15,46	17,08	39,16	36,50	37,02
51,1 °C	16,80	16,84	15,74	35,10	-

5.5.3 PCR av kliniske prøver med *hsp60* og EvaGreen-deteksjon

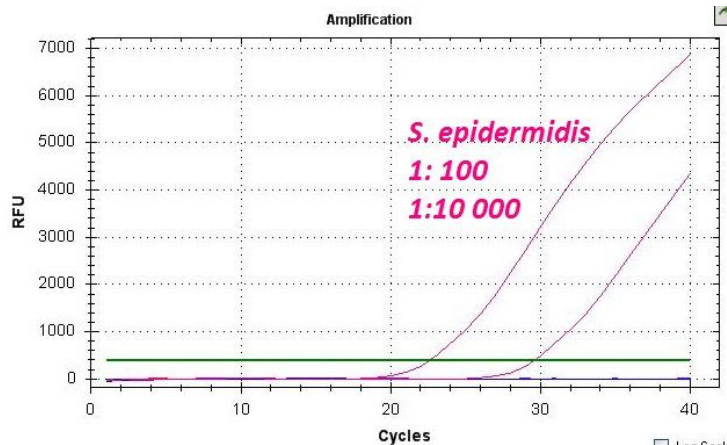


Prøve	Cq	Smeltepunkt
5	18, 59	80,00
11	37,86	80,50
12	39,14	80,50

EvaGreen-deteksjon med smeltepunktsanalyse ble brukt for å se etter PCR-produkt i prøve 11 og 12. Dette er med DNA isolert med easyMag® første gang. Smeltepunktene er veldig like og derfor sannsynlig at det er et PCR-produkt som likner på *S. epidermidis* sitt (prøve nummer 5).

5.5.3.1 PCR av kliniske prøver og EvaGreen-deteksjon med reisolert DNA.

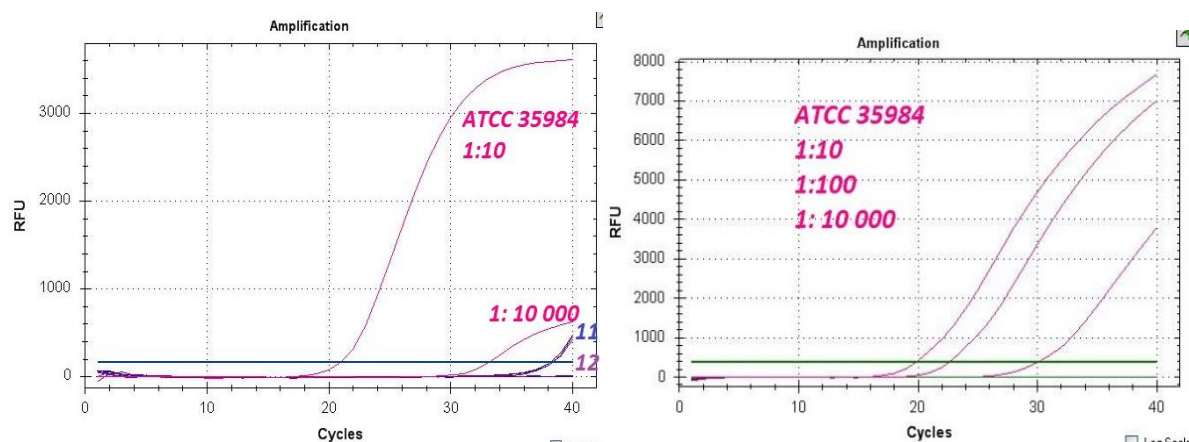
Cq-verdier for kliniske prøver kjørte med EvaGreen-deteksjon		
Templat	Primer-par <i>hsp60</i>	Primer-par <i>rpoB</i>
11 ufortynnet	-	-
11 1:100	-	-
11 1: 10 000	-	-
12 ufortynnet	-	38,16
12 1:100	-	-
12 1: 10 000	-	-
ATCC 35984 1:100	22,65	22,29
ATCC 35984 1: 10 000	29,64	29,13
Neg. kontroll	-	-



Figur 22 Kliniske prøver med *hsp60* primerassay og EvaGreen

Resultatet fra forrige kjøring med EvaGreen kunne ikke reproduceres med reisolert DNA fra pasientprøvene. Det er en mulighet at resultatet i avsnitt 5.5.3 skyldes kontaminasjon. Det ble ikke dannet PCR-produkt i noen andre brønner enn for *S. epidermidis* med primerassay *hsp60*.

5.5.4 PCR på rene stammer fra kliniske prøver



Figur 23 PCR rene stammer dyrket fra kliniske prøver er templat. Til venstre er det brukt primerassayet *hsp60* og probe, til høyre er det brukt primerassayet *hsp60* og EvaGreen-deteksjon.

Resultat fra PCR med rene stammer fra kliniske prøver som templat. Det er brukt samme annealingtemperatur (57°C) i de to oppsettene.

Cq-verdier for PCR med stammer fra kliniske prøver			
Templat (rene stammer fra kliniske prøver)	Hsp60 med TaqMan. -probe	Hsp60 med Evagreen	rpoB med Evagreen
11 ufortynnet			
11 1:100			
11 1:10 000	38,21		
12 ufortynnet			
12 1:100	38,38		
12 1: 10 000	38,42		
ATCC 35984 1:10	21,02	19,80	20,48
ATCC 35984 1:100	(ikke satt opp)	22,57	23,74
ATCC 35984 1: 10 000	33,22	30,02	32,12

Resultatene viser at eluatet fra stammene dyrket fra klinisk prøve nummer 11 og 12 ikke amplifiseres med EvaGreen-deteksjon, men blir avlest med TaqMan-probe. Dette kan tyde på at det ikke er et PCR-produkt, men probehydrolyse. Prøve 11 og 12 får høye Cq-verdier med TaqMan-probe og det er kun fortynning 1:100 g 1:10 000 som gir utslag; det peker og i retning av at det ikke er normal amplifisering som skyldes kryssreaksjon med *S. aureus*.

5.6 SENSITIVITET

Av oppslemmingen på 0,5 McF av ATCC 35984 ble det laget ti-fold fortynninger og sådd ut 10 µl fra 1:1000 -1:100 000-fortynningene på blodagar (se avsnitt 4.6). Resultat fra CFU-bestemmelsene er vist under i tabell 13:

Tabell 13. Antall kolonier på agar.

Navn	Fortynning	Skål 1	Skål 2	Gjennomsnitt
D	1: 1000	For mange for telling	For mange for telling	-
E	1: 10 000	58	74	66
F	1: 100 000	2	6	4

Ved å benytte CFU-tallet fra skål E (fortynning 1: 10 000) som utgangspunkt regnes utgangsløsningen (glass A, 0,5 McF) å inneholde $66 \cdot 10^2 \cdot 10^4 = 6,6 \cdot 10^7 \frac{CFU}{ml} = 6,6 \cdot 10^4 CFU/\mu l$.

Renset DNA for sensitivitetsanalyse: 300 µl av utgangsløsningen i glass A (0,5 McF oppslemmingen) ble applisert på spinnkolonnen for DNA-ekstraksjon, det vil si $0,3 ml \cdot 6,6 \cdot 10^7 CFU = 1,98 \cdot 10^7 CFU$.

Etter eluering i 100 µl vil eluatet inneholde $1,98 \cdot 10^7 CFU : 100 \mu l = 1,98 \cdot 10^5 \frac{CFU}{\mu l}$. Det vil si ved PCR med 5 µl templat benyttes fra glass A (ufortynnet) $9,9 \cdot 10^5 CFU$.

Følgende tabell (tabell 14) viser antall CFU per PCR-reaksjon i en ti-folds fortynningsrekke laget fra det rensede DNA fra 0,5 McF-oppslemmingen.

Glass	Fortynning	CFU pr PCR (5µl templat)
A	1	$9,9 \cdot 10^5$
B	1: 10	$9,9 \cdot 10^4$
C	1 : 100	$9,9 \cdot 10^3$
D	1 : 1000	$9,9 \cdot 10^2$
E	1 : 10 000	99
F	1 : 100 000	9,9
G	1: 1 000 000	0,99
H	1: 10 000 000	-

Tabell 14 Antall CFU pr PCR-reaksjon.

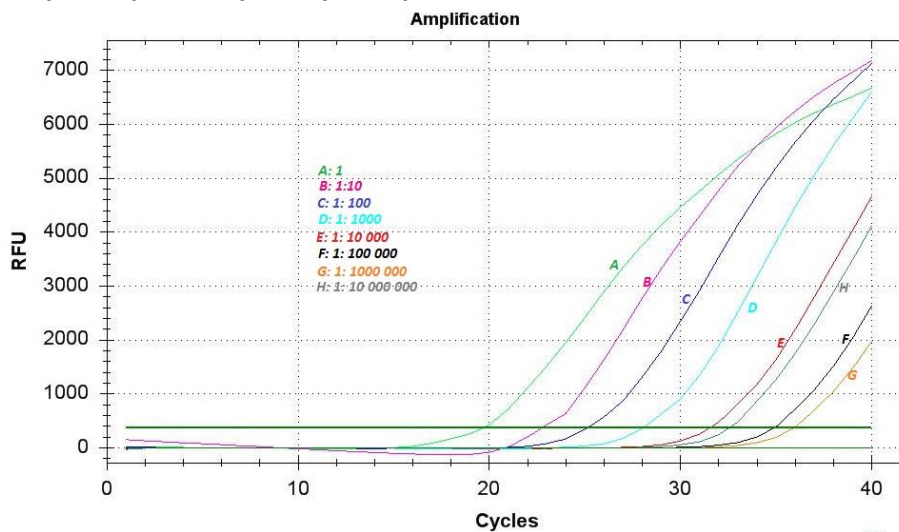
5.6.1 Resultater av PCR med EvaGreen for beregning av sensitivitet

Cq-verdier og smeltetemperaturer for PCR med primerassay *hsp60* og *rpoB*.

Cq og smeltetemperaturer			
PCR av fortynningsrekke fra 0,5 McF oppslemming av ATCC 35984			
	I løsningen:	<i>hsp60</i>	<i>rpoB</i>
A	1	80,50 °C	77,00°C
		24,04 Cq	19, 53 Cq
B	1: 10	80,50 °C	76,50 °C
		23,78 Cq	22,65 Cq
C	1:100	80, 50°C	76,50 °C
		27,64 Cq	25,03 Cq
D	1:1000	80,50 °C	76,50 °C
		30,10 Cq	27,97 Cq
E	1: 10 000	80,00 °C	76,50 °C
		33,23 Cq	31,42 Cq
F	1: 100 000		76,50 °C
			34,78 Cq
G	1: 1000 000		77,00°C
			35,81 Cq
H	1: 10 000 000		77,00°C
			32,44 Cq

Tabell 15 Cq-verdier og smeltetemperatur for *hsp60* og *rpoB*

Amplifikasjon med primerparet *rpoB*



Figur 24 Til venstre.
Amplifikasjonskurve for *rpoB* med fortynningsrekke.

Resultatet fra PCR CFX96 Bio-Rad. Grafen med amplifikasjonskurven for primerparet *rpoB* viser omrent parallelle linjer for hver tifold fortynning. Cq-verdiene har en differanse på ca. 3 sykler. Usikker deteksjonsgrense fordi H kommer før F og G, dette er i teorien uriktig. Det er og ganske liten forskjell i Cq-verdi mellom F og G (1,03), så vi kan ikke stole på om fortynning G er den virkelige deteksjonsgrensen. For primerparet *hsp60* var 1: 10 000 fortynningen den siste som ble amplifisert. Cq-verdien i B er og lavere enn A (se tabell 15), høyst sannsynlig på grunn av for mye DNA-templat ved lav fortynning i prøvene ved de gitte PCR-betingelsene.

5.6.2 Fortynningsrekke i tripplett for å bestemme nøyaktig deteksjonsgrense

Cq og smelte temperaturer

PCR av fortynningsrekke fra 0,5 McF oppslemming av ATCC 35984

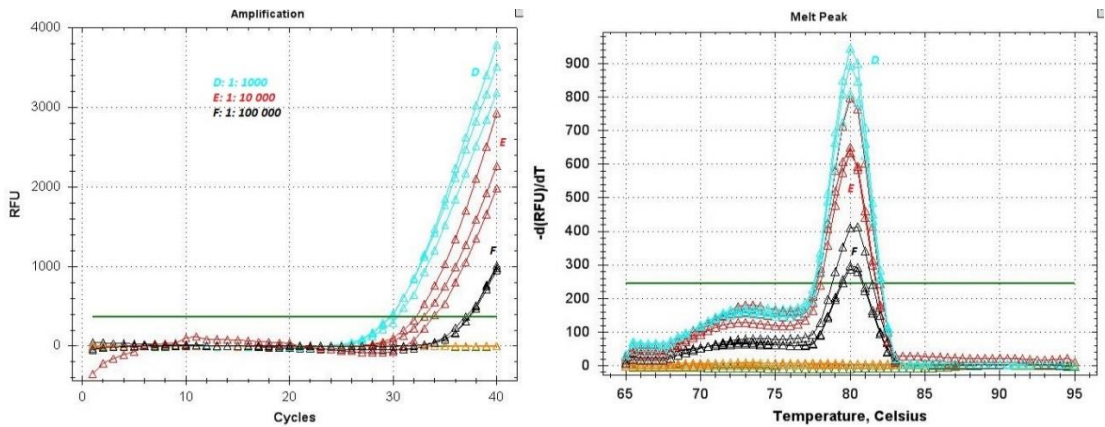
Hver fortynning er kjørt i tripplett. Cq-verdier og gjennomsnitt er vist.

	I løsningen:	<i>hsp60</i> smelte temp.	<i>hsp60</i> Cq-verdier			<i>rpoB</i> smelte temp	<i>rpoB</i> Cq-verdier		
D	1:1000	80,00 °C	30,32	29,55	29,67	76, 50°C	29,80	29,39	29,21
E	1: 10 000		Snitt: 29,85				Snitt: 29,47		
F	1: 100 000	80,00 °C	32,88	32,14	33,78	76, 50°C	31,73	32,49	32,46
G	1: 1000 000		Snitt: 32,93				Snitt: 32,23		
	Negativ kontroll	-	37,29	37,21	36,88	76, 50°C	36,77	35,35	35,68
			Snitt: 37,13				Snitt: 35,93		

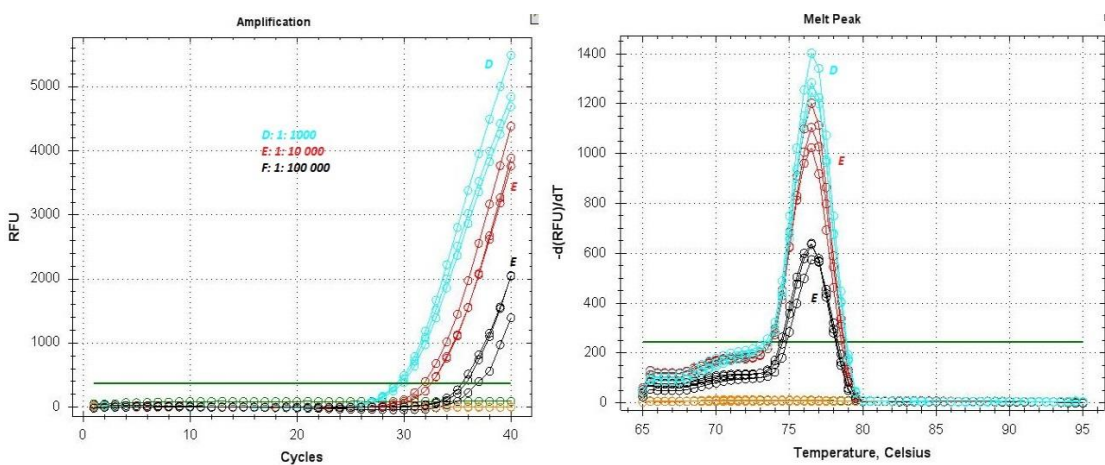
Tabell 16 Cq-verdier og smelte temperaturer for tripplettanalyse med EvaGreen-deteksjon.

Grafene som følger viser amplifikasjons- og smeltepunktskurve.

- **D: 1:1000**
- **E: 1: 10 000**
- **F: 1: 100 000**
- **G: 1: 1 000 000**



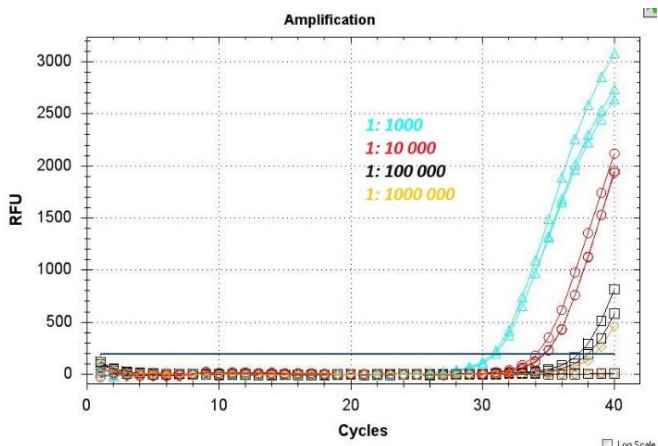
Figur 25
Amplifikasjons-
og
smeltepunkts-
kurve av
sensitivitetsbes-
temmelse for
hsp60



Figur 26
Amplifikasjons-
- og
smeltepunkts-
kurve av
sensitivitetsbe-
stemmelse for
rpoB

Dekningsgrensen for begge primerparene, *rpoB* og *hsp60*, ble fortynning F (1: 100 000) det tilsvarer 9,9 CFU per PCR-reaksjon.

5.6.3 Sensitivetsbestemmelse med TaqMan-probe. Fortynningsrekke i tripplett.



Figur 27 Amplifikasjonskurve for primerpar hsp60 og TaqMan-
probe.

I løsningen:	Primerpar <i>hsp60</i> og TaqMan-probe. Cq-verdier		
1:1000	30,95	30,94	30,22
	Snitt: 30,70		
1: 10 000	34,07	34,67	34,61
	Snitt: 34,45		
1: 100 000	37,98	37,23	-
	Snitt: 37,61		
1: 1000 000	38,46	-	-
	Snitt: -		
Neg. kontroll	-		

Tabell 17 Cq-verdier for primerassay *hsp60* og TaqMan-
probe.

Deteksjonsgrensen for primerpar *hsp60* med *TaqMan-probe*, ble fortynning 1: 100 000 det tilsvarer 9,9 CFU per PCR-reaksjon, samme verdi som ved EvaGreenreen-deteksjon. Verdi 1: 1000 000 ble sett bort fra da det ble amplifisert PCR-produkt i kun en brønn og Cq-verdien var 0,85 (burde vært rundt 3,32) høyere enn for fortynning 1:100 000.

5.7 PCR-EFFEKTIVITET

Beregning av amplifikasjonseffektiviteten ble gjort med «slope method»(1 Pelt-Verkuil, Belkum, Hay, page. 136)

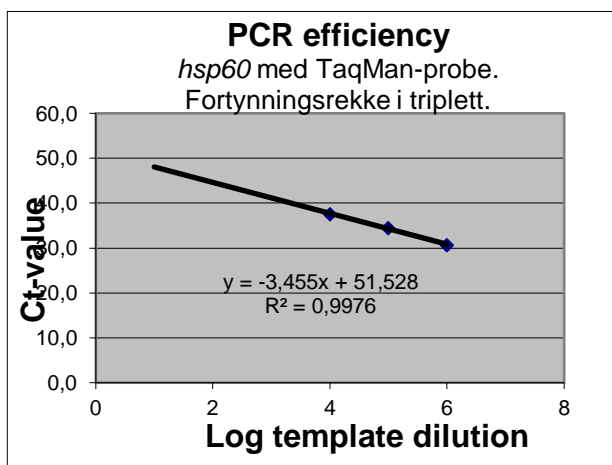
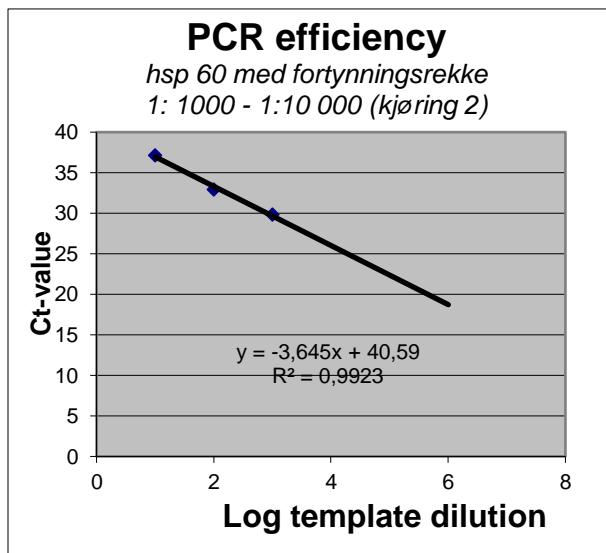
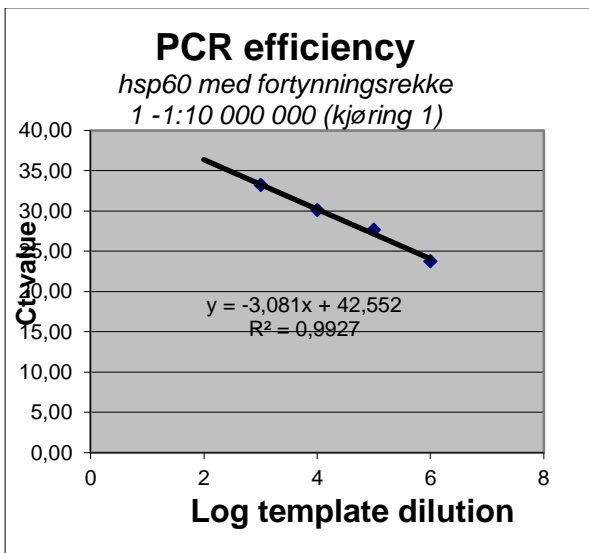
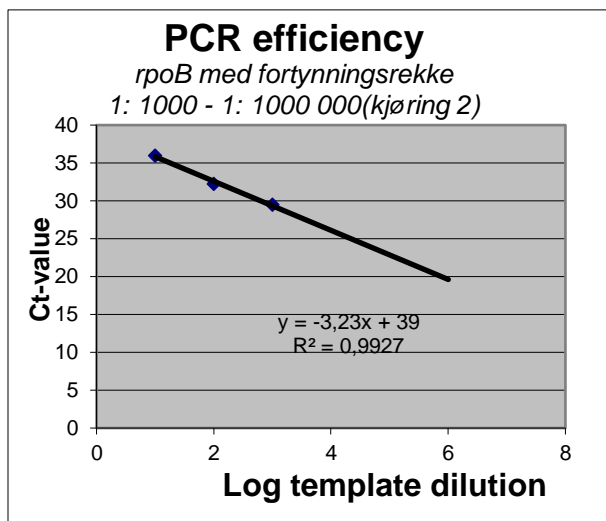
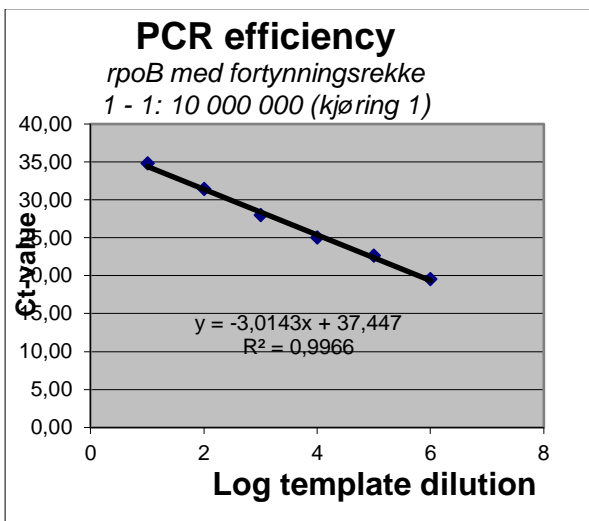
$$Efficiency = 10^{\left(\frac{-1}{slope}\right)} - 1.$$

Slope er stigningen til grafen der Cq-verdien er plottet mot fortynningen. For RT-PCR bør effektiviteten optimalt være 1, men verdier mellom 0,85 og 1,15 er akseptabelt. Hvis effektiviteten er 1, er stigningen (slope): $\log_2 10 = \frac{\log_{10} 10}{\log_{10} 2} = 3,3219209489$. Da er forskjellen i Cq-verdier i den tifold seriefortynning 3,32 mellom hver fortynning, det vil si at etter ca. 3,32 sykler er det amplifisert ti ganger så mye produkt.

Effektiviteten ble beregnet ved å kjøre PCR på en serie av tifold fortynninger av templat. Kjøring 1 er det kjørt fortynninger fra 1 – 1: 10 000 000 (avsnitt 5.6.2). I kjøring 2 er det hver fortynning 1: 1000, 1: 10 000, 1: 100 000 og 1: 1 000 000 kjørt i tripplett (avsnitt 5.6.3) og oppgitte Ct-verdier er gjennomsnittet av de tre. Resultater ses i følgende tabell og grafer:

Fortynning	Fortynning nummer	Ct-value rpoB (kjøring 1)	Ct-value rpoB kjøring 2 Snitt av tripplett-verdier	Ct-value hsp60 (kjøring 1)	Ct-value hsp60 kjøring 2 Snitt av tripplettverdier.	Ct-value hsp60 med TaqMan-probe. Snittverdier av tripplett.
1	6	19,53				
1:10	5	22,65		23,78		
1: 100	4	25,03		27,64		
1:1000	3	27,97	29,47	30,10	29,84	30,70
1:10 000	2	31,42	32,22	33,23	32,93	34,45
1: 100 000	1	34,78	35,93		37,13	37,61

Tabell 18 Snitt av Cq-verdier hentet fra avsnitt om sensitivitetsberegninger.



Gene	Slope value (y i grafen)	Amplification efficiency
<i>rpoB kjøring 1</i>	- 3,0143	1,15
<i>rpoB kjøring 2</i>	-3,23	1,04
<i>hsp60 kjøring 1</i>	-3,081	1,11
<i>hsp60 kjøring 2</i>	-3,645	0,88
<i>hsp60 med TaqManprobe</i>	-3,455	0,95

6 DISKUSJON

6.1 IN SILICO- ANALYSER.

In silico-analyser ble gjort basert på gensekvenser funnet i GenBanken og søk i BLAST. Alle data som fins i GenBank er ikke kvalitetssikret og det kan derfor forkomme feil. Derfor ble gensekvenser med store avvik fra de andre gensekvensene fjernet fra alignment.

Plassering av primere.

Alle primerne ble ikke satt i et konsensusområde for *S. epidermidis*. Se alignment av sekvenser i vedlegg 1-10 bakerst i oppgaven. Som utgangspunkt ble det valgt ut en sekvens som liknet mest mulig på de andre sekvensene, og videre arbeid har grunnlag i denne sekvensen. For *gap-assayet* ligger forwardprimer og reversprimer i et område hvor aksesjonsnummer AF495479 ikke har helt samme baserekkefølge som konsensussekvensen, denne er også den eneste som skiller seg og ut ble derfor ikke tatt hensyn til. Se vedlegg 2. For primerassayet til *hsp60* skiller baserekkefølgen for aksesjonsnummer DQ 991024 seg litt fra de andre der primere er plassert. Se vedlegg 4. Hvis en *S. epidermidis* har samme sekvensrekkefølge som DQ 991024, er det mulig at primerassayet ikke fungerer like bra som for de andre allelene. Denne var og den eneste som skilte seg ut og anses derfor som mindre viktig. Primerne til *rpoB* ligger i et område uten mismatcher i sekvensene i alignment for de *S. epidermidis* som er tatt med i alignment. Se vedlegg 6. Primerne designet for *sodA*-genet ligger i et område der kun AF462457 skiller seg fra de andre sekvensene, og er ikke tatt hensyn til ved primerdesign. Se vedlegg 8. For *tuf*-genet er alle sekvensene tatt med i alignment for *S. epidermidis*, se vedlegg 10, helt like. Alle primerne er derfor plassert i et konsensusområde.

Valg av andre stafylokokker.

S. epidermidis ble sammenliknet med seks andre stafylokokker (*S. lugdunensis*, *S. capitis*, *S. aureus*, *S. hominis*, *S. haemolyticus*, *S. schleiferi*) i alignment for å finne en unik sekvens for *S. epidermidis*. Utvalget av disse stafylokokkene er gjort fordi disse er vanlige stafylokokker i kliniske prøver og viktige å skille fra *S. epidermidis* ved infeksjon. Andre som også kunne vært tatt med er *S. caprae*, *S. saprophyticus*, *S. warneri*, *S. cohnii*, siden disse også er vanlige. Stafylokokker er en stor slekt som inkluderer minst 40 species, så en inklusjon av alle ville vært arbeidskrevende og unødvendig, siden alle ikke er like relevante i en klinisk setting. *S. saprophyticus* er en av de vanligste stafylokokkene, men er stort sett problematisk ved urinveisinfeksjoner. Denne oppgaven ønsker å fokusere på å detektere invasive agens, som for eksempel ved fremmedlegemeinfeksjoner.

6.2 VURDERING AV HVERT PRIMERPAR OG HOVEDRESULTATER

Etter første kjøring av PCR (se resultater, avsnitt 5.3.2) ble det stilt spørsmål om templatene inneholdt omtrent like store mengder DNA, og om det kunne ha påvirket resultatet av PCR slik at noen stammer ble oppformert veldig sent og i liten mengde. Det var allerede bevist at DNA var tilstede i alle templater fordi alle referansestamme hadde blitt oppformert minst en gang i de første PCR-reaksjonene. Det var usikkerhet spesielt rundt CT-verdiene for *S. lugdunensis* og *S. aureus*. Verdiene var høye i de reaksjonen de hadde blitt amplifisert (se tabell 11 i resultater avsnitt 5.3.2). De høye verdiene kunne enten være reelle på grunn av dårlig primerspesifisitet til disse bakteriene, eller så var konsentrasjonen av DNA i templat tilsatt PCR-reaksjonen for lavt og de ville derfor amplifiseres sent i forhold til de andre referansestammene. På grunn av usikkerheten rundt templatmengde ble det kjørt en universal-PCR for *16S rRNA*, som i utgangspunktet skal amplifisere alle bakterier. Alle referansestammene ble amplifisert, og de hadde en relativ lav CT-verdi (se resultater i avsnitt 5.3.3). Den største forskjellen er mellom *S. aureus* (14,02) og *S. capitis* (18,20) med en forskjell på 4,18. Det kan tolkes som at *S. aureus* har cirka ti ganger så høy konsentrasjon av DNA i templatet som *S. capitis*. Det betyr også at negative resultater fra PCR kjørt med de nydesignede primerassays, kan tolkes som reelt negative, og ikke som et utslag av ulik mengde DNA i templatet. Det vil si at PCR kjørt med *hsp60*- og *rpoB*-primerassays mest sannsynlig er spesifikke for *S. epidermidis*.

Smeltepunktsanalyse kan være en annen måte enn primerspesifisitet å identifisere *S. epidermidis* nøyaktig. Primerassays for *rpoB* og *hsp60* amplifiserte kun *S. epidermidis*, smeltepunktsanalyse er derfor unødvendig for videre deteksjon ved bruk av disse assayene. Smeltepunktsanalyse for *tuf* viser at det kun er 0,5°C (se tabell 11 i resultater avsnitt 5.3.2) forskjell på toppen til *S. epidermidis* og *S. capitis/S. haemolyticus*. 0,5 °C er for lite til å sikkert kunne skille to PCR-produkter fra hverandre. Det samme problemet gjelder også for primerassays designet for *gap* og *sodA*. Smeltepunktsanalyse blir derfor for dårlig for å identifisere *S. epidermidis*.

Gradientanalysen (se tabell i resultater avsnitt 5.3.4) viser svært gode resultater for både *hsp60* og *rpoB*. Begge primerassays viser cirka samme Cq-verdier også ved høye temperaturer og ingen amplifisering av andre produkter ved temperaturer ned mot 44,3 °C. Primerassay for *gap* er aldri spesifikt for *S. epidermidis*, selv ved høye temperaturer. *tuf*-assayet amplifiserte *S. capitis*, *S. epidermidis*, *S. condimenti*, *S. haemolyticus* og *S. aureus* ved førstegangs kjøring, og ved gradientanalysen med 1:20 fortynning av templat og færre sykler amplifiserte det fortsatt *S. capitis* og *S. haemolyticus* i tillegg til *S. epidermidis*. *sodA*-primerassay amplifiserer kun *S. epidermidis* ved 60,9 – 64,3 °C, men med lavere temperaturer oppfører også *S. hominis*, *S. aureus* og *S. lugdunensis*. Primerassays for *sodA* og *tuf* amplifiserer kun *S. epidermidis* ved annealingtemperatur

over 60,9 °C, da også med relativt lave Cq-verdier (19,87 for *sodA*, og 20,12 for *tuf*). De kan derfor regnes som spesifikke ved så høye temperaturer, men siden både *hsp60* og *rpoB* viste bedre resultater ble det videre i oppgaven fokusert kun på disse to.

6.3 SPESIFISITET

Spesifisiteten til PCR forteller hvor godt metoden kan påvise kun *S. epidermidis*. *In silico*-analysen med BLAST-søk på primersekvensen viste for alle primerpar at det teoretisk kun var *S. epidermidis* som skulle gi oppfølging av PCR-produkt. Ved videre testing i laboratoriet så man at bare primersetene designet til *hsp60* og *rpoB* faktisk var spesifikke.

Ved bruk av probe skal i teorien spesifisiteten bli enda bedre. Da kliniske prøver ble kjørt med TaqMan-probe, ble det likevel avlest signal fra prøver som skulle inneholde *S. aureus*. Etter flere forsøk med kliniske prøver og reisolering av DNA (se lengre ned i teksten) ble det avgjort at dette sannsynligvis var en konsekvens av kontaminasjon av prøveoppsettet og primer-assay *hsp60* regnes fortsatt som spesifikt for *S. epidermidis*.

6.4 SENSITIVITET

Ved beregning av sensitiviteten ble bare *hsp60*- og *rpoB*-primerassay brukt fordi de andre primerparene ikke ble regnet som spesifikke nok, og ikke kom til å bli brukt senere likevel. Sensitivitetsanalysen ble gjort ved å dyrke og å kjøre PCR av en fortynningsrekke med stammen ATCC 35984. PCR av primerparet for *rpoB* amplifiserte produkter i brønn H (fortynning 1: 10 000 000) ved den første kjøringen (se tabell i avsnitt 5.6.1) med en Cq-verdi lavere enn F og G. Produkt i brønn H skulle teoretisk ikke blitt amplifisert i det hele tatt på grunn av for lite templat. Anser derfor resultatet som en feil.

Fortynning G (1: 1 000 000) ble og amplifisert ved førstegangskjøring, dette gir en deteksjonsgrense på 0,99 CFU per PCR. Dette er svært lavt. En forklaring kan være at det fins flere kopier av genet i bakterien, men dette er vanskelig å finne ut da GenBank ikke oppgir hvor mange kopier som fins av hvert gen. En annen mulighet er at PCR-analysen har amplifisert døde bakterier, men det er forsøkt unngått ved å lage en fortynningsrekke fra ferske kolonier, spredt dagen før. Resultatet kan også skyldes en fortynnungsfeil.

Siden deteksjonsgrensen for PCR var usikker ble det satt opp ett ny fortynningsrekke i tripplett for å bestemme sensitiviteten nøyaktig, da var fortynningen 1: 100 000 den siste som ble amplifisert (se resultater avsnitt 5.6.2) For at et resultat skal regnes som deteksjonsgrensen skal 90% av reaksjonene med den fortynningen være positive. I denne oppgavene var det bare en tripplettfortynning, så

grensen er satt til at 2/3 fortynninger blir amplifisert for at det skal regnes som en positiv test.

Fortynning 1: 100 000 settes som den reelle deteksjonsgrensen av PCR, det tilsvarer 9,9 CFU per PCR.

For *hsp60*-assayets sensitivitetsanalyse ble deteksjonsgrensen 990 CFU per PCR i den første analysen (Se tabell i avsnitt 5.6.1) Satte derfor denne også opp i tripplett og fikk amplifisert produkt i med fortynning 1: 100 000. Dette gir samme deteksjonsgrensen som *rpoB*; 9,9 CFU per PCR.

6.5 PCR-EFFEKTIVITET

PCR-effektiviteten burde optimalt sett blitt beregnet med åtte tifoldfortynninger (som PCR kjørt 22.10.2015) og kjørt fortynningene i tripplett (se materiale og metode, avsnitt 4.6.1 og 4.6.2). Ideelt burde det blitt gjort fem slike seriefortynninger for å beregne ett gjennomsnitt av Cq-verdiene for plot.

Det ble kjørt tripplett av fire av fortynningene 26.10.2015, men da ble det bare amplifisert produkt av de tre største fortynningene (1:1000, 1: 10 000 og 1: 100 000). En standardkurve ble kun laget basert på et snitt av tripplettene av tre ulike fortynninger. En slik kurve bør egentlig baseres på minst fire ulike verdier.

Det ble beregnet PCR-effektivitet fra begge fortynningsrekken. Det var relativt små forskjeller i slope values for de to genene (*rpoB* og *hsp60*): -3,0143 og -3,23 for henholdsvis den første seriefortynningen og tripplettfortynningen av *rpoB* og -3,081 og -3,645 for *hsp60* (se avsnitt 5.7). Verdiene er ganske like og innenfor referanseområdet med en amplifikasjonseffektivitet på 0,85 – 0,88. Dette taler for at verdiene er til å støle på selv om det kun er gjort en lang fortynningsrekke og en tripplettanalyse.

6.6 REAL-TIME PCR MED TAQMAN-PROBE

Det ble bestilt en TaqMan-probe til primerassay for *hsp60*, se sekvensrekkefølge og egenskaper i tabell 8, avsnitt 5.1.1.5 og vedlegg 4. Resultater for både *rpoB*- og *hsp60*-primerassay var med EvaGreen-deteksjon ganske like: cirka samme Cq-verdier og begge assay amplifiserer kun *S. epidermidis* ved PCR. *In silico*-analysen skal og i teorien være spesifikk for *S. epidermidis*.

I alignment av *rpoB* (probe merket i blått, se vedlegg 6) er de øverste er to ulike alleler av *S. epidermidis*, og det ble etter design oppdaget en mismatch i probeområdet for den ene allelen (27466918:301678-305229, *Staphylococcus epidermidis* ATCC 12228). Derfor ble det bestilt probe fra *hsp60*-assayet som skulle være spesifikt for *S. epidermidis*.

Mismatcher er markert med grønt. Primerne er markert med gult.

```

EPIDERMIDIS1gi|138248515|gb|EF173659.1|/171-646
EPIDERMIDIS2gi|27466918:301678-305229/1453-1928
SCHLEIFERIgi|74099891|gb|DQ120747.1|/10-485
AUREUSgi|88193823:522160-525711/1453-1928
HAEMOLYTICUSreversgi|68445725:2465778-2469329/1594-2069
CAPITISgi|74099855|gb|DQ120729.1|/10-485
LUGDISrevers>gi|339893212:2393359-2396913/1453-1928
HOMINISgb|AHLD01000047.1|:25264-28815/1453-1928

```

```

CCATATCGTAAAGTGATTAGATACAACTCAATCACTGATCAAATGATTATT GACA 240
CCATATCGTAAAGTGATTAGATACAACTCAATCACTGATCAAATGATTATT GACA 240
CCATACAGAAAAGTAGACCTTGAACAAACACAAATCACAGACCGTATTGATTACCT TACT 240
CCATATCGTAAAGTGATTAGATACACATGCTATCACTGATCAAATGACTTTAAC 240
CCATATCGTAAAGTAGACCTAGACACTCTATTACAGATCAAATC GACTACTTAAC 240
CCGTATCGTAAAGTGATTAGATACGAACTTATTACAGATCAAATC GATTACTTAAC 240
CCTTATCGTAAAGTAGATATTGATACAAATGCAATCACAGATCAAATTGACTACTTAAC 240
CCATATCGTAAAGTAGATATTGATACAAATTC GACTACTGATCAAATTGATTATTAACT 240
** * * * * * * * * * * * * * * * * * * * * * * * * * * * * *

```

```

EPIDERMIDIS1gi|138248515|gb|EF173659.1|/171-646
EPIDERMIDIS2gi|27466918:301678-305229/1453-1928
SCHLEIFERIgi|74099891|gb|DQ120747.1|/10-485
AUREUSgi|88193823:522160-525711/1453-1928
HAEMOLYTICUSreversgi|68445725:2465778-2469329/1594-2069
CAPITISgi|74099855|gb|DQ120729.1|/10-485
LUGDISrevers>gi|339893212:2393359-2396913/1453-1928
HOMINISgb|AHLD01000047.1|:25264-28815/1453-1928

```

```

GCTGATGAAGAGGATAGCTACGTTGTTGCACAGGCTAATTCTAGACTT GATGAAAATGGT 300
GCTGATGAAGAGGATAGTTACGTTGTTGCACAGGCTAATTCTAGACTT GATGAAAATGGT 300
GCCATGATGAAGAGGATAGCTATGTTGTTGCACAGGCAAGCTAGACTT GATGAAAACGGA 300
GCTGATGAAGAGGATAGCTATGTTGTTGACAAAGGCAACCTCTAAATTAGATGAAAATGGT 300
GCTGATGAAGAGGATAGCTATGTTGTTGCCAAGGCAACTCTCGTTAGATGAAAATGGT 300
GCTGATGAAGAGGATAGCTACGTTGTTGCACAGGCAACTCTCGTTAGACGAAAATGGT 300
GCTGATGAAGAGGATAGCTATGTTGTTGCACAGGCAACTCTCGTTAGATGAAAATGGT 300
GCTGATGAAGAGGATAGCTATGTTGTTGCACAGGCAACTCTCGTTAGATGAAAATGGT 300
** * * * * * * * * * * * * * * * * * * * * * * * * * * * *

```

hsp60-primerassay og TaqMan-probe

PCR amplifiserte kun *S. epidermidis* med EvaGreen-deteksjon og primerparet *hsp60*. Ved analyse med *hsp60* og TaqMan-probe med referansestammene som templat, ble også *S. aureus* og *S. capitis* amplifisert ved initial prøvekjøring, se avsnitt 5.4.1 for resultater. Derfor ble det satt opp en kjøring med ufortynnet templat og en med templat i 1:10 fortynning. Her ble også *S. aureus* amplifisert med ufortynnet templat, men ikke når templatet var fortynnet. Den negative kontrollen med MGW ble også amplifisert ved andregangskjøring med TaqMan-proben. Dette kan tyde på unøyaktighet, at reagenser kan ha blitt blandet, forurensing av selve assayet, eller hydrolysering av proben. Ved probehydrolysing ødelegges proben og fluorescensen slippes løs og vil avgive signal uten at det har vært en reell amplifisering av PCR-produkt.

6.7 KLINISKE PRØVER

Det oppsto problemer med isolering av DNA fra kliniske prøver, både blodkulturer og vevskulturer, ved bruk av spinnkolonne fra Qiagen (se avsnitt isolering av DNA fra referansestammer for fremgangsmåte, avsnitt 4.3). Filteret i kolonnene ble tilstoppet av blodprodukter/vevkomponenter slik at prosedyren ikke kunne bli fulgt nøyaktig. Resultatene fra PCR med disse eluatene ble dårlige, det ble kun amplifisert PCR-produkt i en brønn, som var bestemt til å være en *S. aureus* ved dyrking og ID-bestemmelse med MALDI-TOF i rutinelaboratoriet ved St. Olavs Hospital. Derfor ble det gjort et nytt forsøk på ekstraksjon av DNA automatisert med NuciliSENS easyMag®, slik det gjøres i rutineundersøkelser med PCR. Resultatet for PCR med disse templatene ble at prøve nummer 2 og 5 fikk lave Cq-verdier på 16,84 og 17,41. Disse skulle inneholde *S. epidermidis* og Cq-verdiene er ganske like som ved kjøring med referansestammen ATCC 35984. Dette viser at DNA-isoleringen er et kritisk trinn. Et uventet resultat var at prøve 10, 11 og 12 ble amplifisert, dette var alle vevsprøver rutinelaboratoriet hadde svart ut som «Rikelig vekst av *S. aureus*». Det er usannsynlig at alle disse prøvene i tillegg inneholdt *S. epidermidis*. En annen mulighet var kryssreaksjon med *S. aureus* og at denne varianten av *S. aureus* var ganske ulik CCUG 17621 som har vært brukt som referansestamme i

tidligere kjøringer. Det kunne også være humant DNA som kryssreagerte eller utslag fra noe annet som ikke er et PCR-produkt.

Derfor ble det gjort en gradientanalyse med prøve 2, 5, 10, 11 og 12 for å se om høyere temperaturer kunne skille prøvene som skulle inneholde *S. epidermidis* og *S. aureus* (svake resultater med Cq >35). Det kunne ikke gradientanalysen. Det er et større fall i Cq-verdier for prøve 5 og 2 ved høyere temperaturer, enn for 11 og 12. Det ble deretter kjørt en PCR med EvaGreen-deteksjon og primerparet *hsp60*. Dette var for å se om det var blitt dannet et PCR-produkt, eller om resultatene var en konsekvens av probehydrolyse. Her ble og prøve 11 og 12 amplifisert, og smeltepunktskurven viste nesten samme smeltepunkt som for prøve nummer 5 med *S. epidermidis* (80,50 °C for 11 og 12 og 80,00 °C for 5). Dette tyder på at brønnene med prøve 11 og 12 inneholdt PCR-produkt og ble derfor vurdert som unødvendig å gjøre gel-elektroforese for å finne ut dette.

Neste steg for å finne ut om det var en kryssreaksjon med *S. aureus* var å hente opp stammer dyrket fra de kliniske prøvene (11 og 12) fra fryseren. Disse var renkulturer. De ble isolert DNA fra en koloni manuelt med spinnkolonne og kjørt PCR med TaqMan-probe og primerparet *hsp60* og med EvaGreen-deteksjon med både primerparet *hsp60* og *rpoB*. Det viste utslag for prøve 11 og 12 bare med oppsettet med probe. Her var det og de minste fortynningene som faktisk ga utslag og de hadde veldig høye Cq-verdier (se avsnitt 5.5.4). Dette peker mer i retning av probehydrolysing enn en kryssreaksjon med *S. aureus*.

Siste steg for å finne ut om hvorfor prøve 11 og 12 ble amplifisert med både TaqMan-probe og med EvaGreen-deteksjon, var å reisolere DNA med easyMag® av kliniske prøvene. En slik fremgangsmåte ville man også valgt i rutinediagnostikk; ved svake og usikre resultater reisolerer man DNA hvis mulig og gjør analysen på nytt. Det ble gjort PCR med primerassay *hsp60* og EvaGreen-deteksjon og med TaqMan-probe av produkt. I analysene med reisolert DNA ble det ikke amplifisert noe produkt, unntatt *S. epidermidis*. Siden resultater fra tidligere kjøringer av kliniske prøver ikke lot seg reproduksjon, blir derfor resultatet med amplifikasjon av prøve 11 og 12 sett på som kontaminasjon, ikke en kryssreaksjon med *S. aureus* eller probehydrolyse.

En annen metode å håndtere svake resultater ved PCR-analyse, er å sette en cut-off-verdi. I denne oppgaven kunne en slik cut-off vært satt ved 35 sykler. På denne måten ville de svake resultatene med Cq>35 (som klinisk prøve 11 og 12) blitt ekskludert som negative allerede ved første kjøring.

Flere av de andre kliniske prøvene (1, 4, 6, og 9) inneholdt også *S. aureus*, med disse prøvene fikk ikke noe utslag med TaqMan-proben. Dette styrker tanken om at *S. aureus* ikke kryssreagerer med primerassay *hsp60* og probe, men at utslagene med TaqMan-proben er en konsekvens av kontaminasjon.

Ved sammenlikning av primersetts *hsp60* med EvaGreen-deteksjon og TaqMan-probe er det generelt lavere Cq-verdier for EvaGreen-deteksjon med annealingtemperatur 57 °C. Se tabell i resultater avsnitt 5.4.3. Det er heller ikke vist at TaqMan-proben har bedre sensitivitet eller spesifisitet enn EvaGreen, verken med referansestammene eller de kliniske prøvene. Kun klinisk prøve 2, 5, 10, 11 og 12 ble kjørt med EvaGreen, men med samme resultater som med TaqMan. EvaGreen er billigere enn TaqMan og det kan vurderes om eventuelt EvaGreen kunne brukes fremfor TaqMan-probe med dette primersetet, men det vil også kreve en post-PCR smeltepunktsanalyse.

6.8 STYRKER OG SVAKHETER MED PCR

Det er ikke gjort noen annen optimalisering av PCR annet enn gradientanalyse, da ble annealingtemperaturen satt til 57 °C i stedet for 52 °C som ble valgt ved førstegangskjøring for PCR. Det er vanlig å optimalisere PCR ved å endre for eksempel ionekonstrasjonen, her kunne det vært gjort ved å endre sammensetningen av SSoFastEvaGreen supermix/ PerfeCta multiplex qPCR Supermix, primerpar, MGW og templat. I forsøkene som har blitt kjørt har PCR gitt tilfredsstillende resultater med standardoppsett, og det har derfor ikke vært funnet nødvendig å prøve og endre på mengdene.

Det er demonstrert DNA-isoleringen er et kritisk trinn og analysemetoden er utsatt for kontaminering, kun små mengde DNA kan gi falskt positive resultater.

6.9 BEGRENSINGER FOR PCR

PCR er kun testet mot et panel som det allerede er vist inneholder stafylokokker. Det er derfor fortsatt usikkert om assayet kryssreagerer med andre mikrober enn stafylokokker. Det var kun et panel på 12 kliniske prøver, og bare 11 det lot seg ekstrahere DNA fra. Det er litt for få til å si at PCR sikkert ikke kryssreagerer med andre stafylokokker. Testing mot kliniske prøver skulle i utgangspunktet være blindet, men etter isolering av DNA med Qiagen spinnkolonne som var mislykket ble ikke de videre PCR-analysene lenger blindet.

6.10 VIDERE ARBEID

Ved fremmedlegemeinfeksjoner er viktige å identifisere agens så fort som mulig for å kunne gi riktig behandling. Ved St. Olavs hospital i dag fins det ikke en raskere måte enn dyrkning å diagnostisere stafylokokkinfeksjon, som er det viktigste agens ved fremmedlegemeinfeksjoner. En spesifikk panstaph-PCR (en metode som vil kunne påvise alle stafylokokker) ville i løpet av noen timer kunne sagt om det var stafylokokker tilstede eller ikke. Deretter kunne spesifikke PCR-assay for species blitt brukt for videre identifikasjon.

Denne oppgaven som har som målsetning å kunne påvise *S. epidermidis*. Det fins en PCR for *S. aureus* som brukes ved mikrobiologisk avdeling, men denne er ikke veldig sensitiv. Det kunne derfor vært ønskelig å lage et panel for identifikasjon av de viktigste mikrobene med et panstaph -assay, et *S. aureus*-assay og et *S. epidermidis*-assay for rask identifikasjon.

7 KONKLUSJON

I oppgaven er det sett på fem konserverte gener hos stafylokokker den hensikt å kunne designe et spesifikt RT-PCR primerassay for påvise *S. epidermidis*. *In silico*-analysene var spesifikke for alle de fem primersetene, men ved PCR-forsøk med et panel på seks andre stafylokokker var kun primerassay *hsp60* og *rpoB* spesifikke ved EvaGreen-deteksjon av PCR-produkt. Sensitiviteten til primerassay *rpoB* og *hsp60* ble beregnet til 9,9 CFU per PCR-reaksjon og har en amplifikasjonseffektivitet på 1,04 (*rpoB*) og 0,88 (*hsp60*).

PCR som brukes i rutinediagnostikk bruker i de fleste tilfeller et primerset med probe for å øke spesifisiteten til assayet. PCR med Taqman-probe og primerassay *hsp60* er kjørt med kliniske prøver, både vevsprøver og blodkulturer, og det er vist at det er spesifikt for *S. epidermidis* og har en sensitivitet på 9,9 CFU per PCR-reaksjon. Primersetet er ikke testet med andre kliniske prøver enn dem med stafylokokker tilstede og bør derfor valideres bredere før det eventuelt kan tas inn i rutinediagnostikken.

Ved fremmedlegemeinfeksjoner er det viktig å påvise agens så raskt som mulig og nydesignet *hsp60* PCR-assay med Taqman-probe kan bli et viktig ledd i forbedre diagnostikken av *S. epidermidis*-infeksjoner.

8 KILDER

1. Pelt-Verkuil Ev, Belkum Av, Hays JP. Principles and Technical Aspects of PCR Amplification2008.
2. Namvar AE, Bastarahang S, Abbasi N, Ghehi GS, Farhadbakhtiaran S, Arezi P, et al. Clinical characteristics of *Staphylococcus epidermidis*: a systematic review. *GMS hygiene and infection control*. 2014;9(3):Doc23.
3. Arciola CR, Campoccia D, Ehrlich GD, Montanaro L. Biofilm-based implant infections in orthopaedics. *Adv Exp Med Biol*. 2015;830:29-46.
4. Fowler VG, Jr., Miro JM, Hoen B, Cabell CH, Brutyn E, Rubinstein E, et al. *Staphylococcus aureus* endocarditis: a consequence of medical progress. *JAMA*. 2005;293(24):3012-21.
5. Gomes F, Teixeira P, Oliveira R. Mini-review: *Staphylococcus epidermidis* as the most frequent cause of nosocomial infections: old and new fighting strategies. *Biofouling*. 2014;30(2):131-41.
6. Tunney MM, Patrick S, Curran MD, Ramage G, Hanna D, Nixon JR, et al. Detection of prosthetic hip infection at revision arthroplasty by immunofluorescence microscopy and PCR amplification of the bacterial 16S rRNA gene. *J Clin Microbiol*. 1999;37(10):3281-90.
7. Costerton JW. Biofilm theory can guide the treatment of device-related orthopaedic infections. *Clin Orthop Relat Res*. 2005(437):7-11.
8. Jones D, Deibel RH, Niven CF, Jr. Identity of *Staphylococcus epidermidis*. *J Bacteriol*. 1963;85:62-7.
9. Martineau F, Picard FJ, Ke D, Paradis S, Roy PH, Ouellette M, et al. Development of a PCR assay for identification of staphylococci at genus and species levels. *J Clin Microbiol*. 2001;39(7):2541-7.
10. Goh SH, Potter S, Wood JO, Hemmingsen SM, Reynolds RP, Chow AW. HSP60 gene sequences as universal targets for microbial species identification: studies with coagulase-negative staphylococci. *J Clin Microbiol*. 1996;34(4):818-23.
11. Hirotaki S, Sasaki T, Kuwahara-Arai K, Hiramatsu K. Rapid and accurate identification of human-associated staphylococci by use of multiplex PCR. *J Clin Microbiol*. 2011;49(10):3627-31.
12. Francois P, Pittet D, Bento M, Pepey B, Vaudaux P, Lew D, et al. Rapid detection of methicillin-resistant *Staphylococcus aureus* directly from sterile or nonsterile clinical samples by a new molecular assay. *J Clin Microbiol*. 2003;41(1):254-60.
13. Jukes L, Mikhail J, Bome-Mannathoko N, Hadfield SJ, Harris LG, El-Bouri K, et al. Rapid differentiation of *Staphylococcus aureus*, *Staphylococcus epidermidis* and other coagulase-negative staphylococci and meticillin susceptibility testing directly from growth-positive blood cultures by multiplex real-time PCR. *J Med Microbiol*. 2010;59(Pt 12):1456-61.
14. Ghebremedhin B, Layer F, Konig W, Konig B. Genetic classification and distinguishing of *Staphylococcus* species based on different partial gap, 16S rRNA, hsp60, rpoB, sodA, and tuf gene sequences. *J Clin Microbiol*. 2008;46(3):1019-25.
15. Mellmann A, Becker K, von Eiff C, Keckevoet U, Schumann P, Harmsen D. Sequencing and staphylococci identification. *Emerg Infect Dis*. 2006;12(2):333-6.
16. Poyart C, Quesne G, Boumaila C, Trieu-Cuot P. Rapid and accurate species-level identification of coagulase-negative staphylococci by using the sodA gene as a target. *J Clin Microbiol*. 2001;39(12):4296-301.
17. Kobayashi N, Bauer TW, Sakai H, Togawa D, Lieberman IH, Fujishiro T, et al. The use of newly developed real-time PCR for the rapid identification of bacteria in culture-negative osteomyelitis. *Joint Bone Spine*. 2006;73(6):745-7.

18. Skow A, Mangold KA, Tajuddin M, Huntington A, Fritz B, Thomson RB, Jr., et al. Species-level identification of staphylococcal isolates by real-time PCR and melt curve analysis. *J Clin Microbiol*. 2005;43(6):2876-80.
19. Iwase T, Hoshina S, Seki K, Shinji H, Masuda S, Mizunoe Y. Rapid identification and specific quantification of *Staphylococcus epidermidis* by 5' nuclease real-time polymerase chain reaction with a minor groove binder probe. *Diagn Microbiol Infect Dis*. 2008;60(2):217-9.
20. Edwards KJ, Kaufmann ME, Saunders NA. Rapid and accurate identification of coagulase-negative staphylococci by real-time PCR. *J Clin Microbiol*. 2001;39(9):3047-51.
21. McCann MT, Gilmore BF, Gorman SP. *Staphylococcus epidermidis* device-related infections: pathogenesis and clinical management. *J Pharm Pharmacol*. 2008;60(12):1551-71.
22. Kilic A, Basustaoglu AC. Double triplex real-time PCR assay for simultaneous detection of *Staphylococcus aureus*, *Staphylococcus epidermidis*, *Staphylococcus hominis*, and *Staphylococcus haemolyticus* and determination of their methicillin resistance directly from positive blood culture bottles. *Res Microbiol*. 2011;162(10):1060-6.
23. Sakai H, Procop GW, Kobayashi N, Togawa D, Wilson DA, Borden L, et al. Simultaneous detection of *Staphylococcus aureus* and coagulase-negative staphylococci in positive blood cultures by real-time PCR with two fluorescence resonance energy transfer probe sets. *J Clin Microbiol*. 2004;42(12):5739-44.
24. National Center for Biotechnology Information USNLoM. <http://www.ncbi.nlm.nih.gov/nuccore>.
25. (EMBL-EBI) TEBI. <http://www.ebi.ac.uk/Tools/msa/clustalo/>. 2015.
26. National Library of Medicine (NLM) NCfBI. <http://blast.ncbi.nlm.nih.gov/Blast.cgi>.

VEDLEGG

Vedlegg	1
1.1 Vedlegg 1 – Alignment av alle stafylokokker for <i>gap</i>	3
1.2 Vedlegg 2 – Primere og probe for <i>gap</i>	19
1.3 Vedlegg 3 – Alignment av alle stafylokokker for <i>hsp60</i>	22
1.4 Vedlegg 4 – Primere og probe for <i>hsp60</i>	32
1.5 Vedlegg 5 – Alignment av alle stafylokokker for <i>rpoB</i>	33
1.6 Vedlegg 6 - Primere og probe for <i>rpoB</i>	43
1.7 Vedlegg 7 - Alignment av alle stafylokokker for <i>sodA</i>	45
1.8 Vedlegg 8 – Primere og probe for <i>sodA</i>	54
1.9 Vedlegg 9 – Alignment av alle stafylokokker for <i>tuf</i>	56
1.10 Vedlegg 10 – Primere og probe for <i>tuf</i>	66
1.11 Vedlegg 11 – Fortynning av primere. Stockløsning 100 µM	67
1.12 Vedlegg 12 –Fortynning av primere. Bruksløsning 5 µM.	68

Kommentarer til vedlegg

Vedlegg viser alignment av basesekvenser for ulike stafylokokker. Aksesjonsnummer fra GenBank ses foran i alignment. Der noen av basene er kuttet bort er det markert med hvilke baser det gjelder bak aksesjonsnummeret.

* under alignment marker at alle basene er like.

Grønn farge er markør for den utvalgte konsensussekvensen.

Gul markerer hvor de designede primerne er lagt.

Blå markerer hvor designet TaqMan-probe ligger.

Lysegrønn i vedlegg 2, 4, 6 ,8 og 10 marker mismatcher i områder der hvor primer ligger.

1.1.1 VEDLEGG 1 – ALIGNMENT AV ALLE STAFYLOKKER FOR GAP

Alignment gap in Clustal omega

1.1.1.1 *Staphylococcus epidermidis*.

gi	20799591	gb	[AF495479.1]
gi	388330770	gb	[J0728528.1]
gi	388330737	gb	[J0728511.1]
gi	85062693	gb	[DQ321683.1]
gi	199581368	gb	[EU659906.1]
gi	388330698	gb	[J0728491.1]
gi	204960056	gb	[GU968738.1]
gi	204960054	gb	[GU968737.1]
gi	294959369	gb	[GU951707.1]
gi	199581368	gb	[EU659906.1]

gi	20799591	gb	[AF495479.1]
gi	388330770	gb	[J0728528.1]
gi	388330737	gb	[J0728511.1]
gi	85062693	gb	[DQ321683.1]
gi	388310688	gb	[EU659906.1]
gi	388330749	gb	[J0728491.1]
gi	294960056	gb	[GU968738.1]
gi	294960054	gb	[GU968737.1]
gi	294959369	gb	[GU951707.1]
gi	199581368	gb	[EU659906.1]
			/12

gi	20799591	gb	AF495479.1
gi	388330770	gb	JQ728528.1
gi	388330737	gb	JQ728511.1
gi	85062693	gb	DO321683.1
gi	199581368	gb	EU659906.1
gi	388330688	gb	JQ728491.1
gi	294960056	gb	GU968738.1
gi	294960054	gb	GU968737.1
gi	294959369	gb	GU951707.1
gi	199581368	gb	EU659906.1
			/12

AAGTGGTTTCAGTAACGACTTACTGTGACCGATAATGGTACGACACTTATTAAAATAG
AAGTAGTTGCGAGTTAACGACTTAACAGATGACCGATAATGGTACGCTCATTTATAAAATACG
AAGTAGTTGCGAGTTAACGACTTAACAGATGACCGATAATGGTACGCTCATTTATAAAATACG
AAGTAGTTGCGAGTTAACGACTTAACAGATGACCGATAATGGTACGCTCATTTATAAAATACG
AAGTAGTTGCGAGTTAACGACTTAACAGATGACCGATAATGGTACGCTCATTTATAAAATACG
AAGTAGTTGCGAGTTAACGACTTAACAGATGACCGATAATGGTACGCTCATTTATAAAATACG
-----TGCGAGTTAACGACTTAACAGATGACCGATAATGGTACGCTCATTTATAAAATACG
-----TGCGAGTTAACGACTTAACAGATGACCGATAATGGTACGCTCATTTATAAAATACG
-----TGCGAGTTAACGACTTAACAGATGACCGATAATGGTACGCTCATTTATAAAATACG
-----TGCGAGTTAACGACTTAACAGATGACCGATAATGGTACGCTCATTTATAAAATACG

gb 20799591 gb AF495479.1	TAGATATCGACGCTAGTATTAGAAATGTACTGGTTCTATAC TGACAAGATAAAGCAAG
gb 388330770 gb JQ728528.1	TAGATATCGACGCTAGTATTAGAAATGTACTGGTTCTATAC TGATAAGAAAAAGCAAG
gb 388330777 gb JQ728511.1	TAGATATCGACGCTAGTATTAGAAATGTACTGGTTCTATAC TGATAAGAAAAAGCAAG
gb 85062693 gb DQ321683.1	TAGATATCGACGCTAGTATTAGAAATGTACTGGTTCTATAC TGATAAGAAAAAGCAAG
gb 199581368 gb EU659906.1	TAGATATCGACGCTAGTATTAGAAATGTACTGGTTCTATAC TGATAAGAAAAAGCAAG
gb 388330698 gb JQ728491.1	TAGATATCGACGCTAGTATTAGAAATGTACTGGTTCTATAC TGATAAGAAAAAGCAAG
gb 294960056 gb GU968738.1	TAGATATCGACGCTAGTATTAGAAATGTACTGGTTCTATAC TGATAAGAAAAAGCAAG
gb 294960054 gb GU968737.1	TAGATATCGACGCTAGTATTAGAAATGTACTGGTTCTATAC TGATAAGAAAAAGCAAG
gb 294959369 gb GU951707.1	TAGATATCGACGCTAGTATTAGAAATGTACTGGTTCTATAC TGATAAGAAAAAGCAAG
gb 199581368 gb EU659906.1 /12-814	TAGATATCGACGCTAGTATTAGAAATGTACTGGTTCTATAC TGATAAGAAAAAGCAAG
gb 20799591 gb AF495479.1	*****
gb 388330770 gb JQ728528.1	CTCATGTTACGCGAGGTGCTAAAAAGATAATTAACTCAGCTCCAGCAACTGGTGACTAA
gb 388330737 gb JQ728511.1	CTCACATCGATCGAGGTGCTAAAAAGATAATTAACTCAGCTCCAGCTAAAGGTGATGTA
gb 85062693 gb DQ321683.1	CTCACATCGATCGAGGTGCTAAAAAGATAATTAACTCAGCTCCAGCTAAAGGTGATGTA
gb 199581368 gb EU659906.1	CTCACATCGATCGAGGTGCTAAAAAGATAATTAACTCAGCTCCAGCTAAAGGTGATGTA
gb 388330698 gb JQ728491.1	CTCACATCGATCGAGGTGCTAAAAAGATAATTAACTCAGCTCCAGCTAAAGGTGATGTA
gb 294960056 gb GU968738.1	CTCACATCGATCGAGGTGCTAAAAAGATAATTAACTCAGCTCCAGCTAAAGGTGATGTA
gb 294960054 gb GU968737.1	CTCACATCGATCGAGGTGCTAAAAAGATAATTAACTCAGCTCCAGCTAAAGGTGATGTA
gb 294959369 gb GU951707.1	CTCACATCGATCGAGGTGCTAAAAAGATAATTAACTCAGCTCCAGCTAAAGGTGATGTA
gb 199581368 gb EU659906.1 /12-814	*****
gb 20799591 gb AF495479.1	AAACAATGTTACAAACATAACCACTAACCTAACATGATAACATTAGATGGTCTGAACAGTAGTATCAG
gb 388330770 gb JQ728528.1	AAACAATGTTACAAACATAACCACTAACCTAACATGATAACATTAGATGGTCTGAACAGTAGTGTTCAG
gb 388330737 gb JQ728511.1	AAACAATGTTACAAACATAACCACTAACATGATAACATTAGATGGTCTGAACAGTAGTGTTCAG
gb 85062693 gb DQ321683.1	AAACAATGTTACAAACATAACCACTAACATGATAACATTAGATGGTCTGAACAGTAGTGTTCAG
gb 199581368 gb EU659906.1	AAACAATGTTACAAACATAACCACTAACATGATAACATTAGATGGTCTGAACAGTAGTGTTCAG
gb 388330698 gb JQ728491.1	AAACAATGTTACAAACATAACCACTAACATGATAACATTAGATGGTCTGAACAGTAGTGTTCAG
gb 294960056 gb GU968738.1	AAACAATGTTACAAACATAACCACTAACATGATAACATTAGATGGTCTGAACAGTAGTGTTCAG
gb 294960054 gb GU968737.1	AAACAATGTTACAAACATAACCACTAACATGATAACATTAGATGGTCTGAACAGTAGTGTTCAG
gb 294959369 gb GU951707.1	AAACAATGTTACAAACATAACCACTAACATGATAACATTAGATGGTCTGAACAGTAGTGTTCAG
gb 199581368 gb EU659906.1 /12-814	*****
gb 20799591 gb AF495479.1	GTGCATCATGTTACACTAACCTATTAGCTCTGTAGCTAAAGTGTAGTTG
gb 388330770 gb JQ728528.1	GTGCTTCITGTTACACTAACCTATTAGCACCAGTTGCAAAAGGTTTAAGTGCAGAAATTG
gb 388330737 gb JQ728511.1	GTGCTTCITGTTACACTAACCTATTAGCACCAGTTGCAAAAGGTTTAAGTGCAGAAATTG
gb 85062693 gb DQ321683.1	GTGCTTCITGTTACACTAACCTATTAGCACCAGTTGCAAAAGGTTTAAGTGCAGAAATTG
gb 199581368 gb EU659906.1	GTGCTTCITGTTACACTAACCTATTAGCACCAGTTGCAAAAGGTTTAAGTGCAGAAATTG
gb 388330698 gb JQ728491.1	GTGCTTCITGTTACACTAACCTATTAGCACCAGTTGCAAAAGGTTTAAGTGCAGAAATTG
gb 294960056 gb GU968738.1	GTGCTTCITGTTACACTAACCTATTAGCACCAGTTGCAAAAGGTTTAAGTGCAGAAATTG
gb 294960054 gb GU968737.1	GTGCTTCITGTTACACTAACCTATTAGCACCAGTTGCAAAAGGTTTAAGTGCAGAAATTG
gb 294959369 gb GU951707.1	GTGCTTCITGTTACACTAACCTATTAGCACCAGTTGCAAAAGGTTTAAGTGCAGAAATTG
gb 199581368 gb EU659906.1 /12-814	*****

gi 20799591 gb AF495479.1	TATTAGAAAAA---AGACGTAACAGTTAACAGGAACTTAAGAACAGGAAATGAAACAGGCTTC
gi 388330770 gb JQ728528.1	TATTAGACAAACAAAGATGTAACATGTGACCAGTTAACAGTGTATGAAACAGGCTTC
gi 388330737 gb JQ728511.1	TATTAGACAAACAAAGATGTAACATGTGACCAGTTAACAGTGTATGAAACAGGCTTC
gi 8502693 gb DQ321683.1	TATTAGACAAACAAAGATGTAACATGTGACCAGTTAACAGTGTATGAAACAGGCTTC
gi 199581368 gb EU659906.1	TATTAGACAAACAAAGATGTAACATGTGACCAGTTAACAGTGTATGAAACAGGCTTC
gi 388330698 gb JQ728491.1	TATTAGACAAACAAAGATGTAACATGTGACCAGTTAACAGTGTATGAAACAGGCTTC
gi 294960056 gb GU968738.1	TATTAGACAAACAAAGATGTAACATGTGACCAGTTAACAGTGTATGAAACAGGCTTC
gi 294960054 gb GU968737.1	TATTAGACAAACAAAGATGTAACATGTGACCAGTTAACAGTGTATGAAACAGGCTTC
gi 294959369 gb GU951707.1	TATTAGACAAACAAAGATGTAACATGTGACCAGTTAACAGTGTATGAAACAGGCTTC
gi 199581368 gb EU659906.1 /12-814	TATTAGACAAACAAAGATGTAACATGTGACCAGTTAACAGTGTATGAAACAGGCTTC

gi 20799591 gb AF495479.1	ACGAATCATTCGGTTACACTGAAGCGAAATGTTATCTGTAGTAGTTGTATGACTT
gi 388330770 gb JQ728528.1	ACGAATCATTCGGTTACACTGAAGCGAAATGTTATCTGTATGATCTGTATGACTT
gi 388330737 gb JQ728511.1	ACGAATCATTCGGTTACACTGAAGCGAAATGTTATCTGTATGATCTGTATGACTT
gi 8502693 gb DQ321683.1	ACGAATCATTCGGTTACACTGAAGCGAAATGTTATCTGTATGATCTGTATGACTT
gi 199581368 gb EU659906.1	ACGAATCATTCGGTTACACTGAAGCGAAATGTTATCTGTATGATCTGTATGACTT
gi 388330698 gb JQ728491.1	ACGAATCATTCGGTTACACTGAAGCGAAATGTTATCTGTATGATCTGTATGACTT
gi 294960056 gb GU968738.1	ACGAATCATTCGGTTACACTGAAGCGAAATGTTATCTGTATGATCTGTATGACTT
gi 294960054 gb GU968737.1	ACGAATCATTCGGTTACACTGAAGCGAAATGTTATCTGTATGATCTGTATGACTT
gi 294959369 gb GU951707.1	ACGAATCATTCGGTTACACTGAAGCGAAATGTTATCTGTATGATCTGTATGACTT
gi 199581368 gb EU659906.1 /12-814	ACGAATCATTCGGTTACACTGAAGCGAAATGTTATCTGTATGATCTGTATGACTT

gi 20799591 gb AF495479.1	ACGGTTCAATTATTGATGCAACTCAAACCTCGTGTAAATGGCTGGTGGTGTGCAATTAG
gi 388330770 gb JQ728528.1	ACGGTTCAATTATTGATGCGACTCAAACCTCGTGTAAACTCGTGTAAATGGCAATTAG
gi 388330737 gb JQ728511.1	ACGGTTCAATTATTGATGCGACTCAAACCTCGTGTAAACTCGTGTAAATGGCAATTAG
gi 8502693 gb DQ321683.1	ACGGTTCAATTATTGATGCGACTCAAACCTCGTGTAAACTCGTGTAAATGGCAATTAG
gi 199581368 gb EU659906.1	ACGGTTCAATTATTGATGCGACTCAAACCTCGTGTAAACTCGTGTAAATGGCAATTAG
gi 388330698 gb JQ728491.1	ACGGTTCAATTATTGATGCGACTCAAACCTCGTGTAAACTCGTGTAAATGGCAATTAG
gi 294960056 gb GU968738.1	ACGGTTCAATTATTGATGCGACTCAAACCTCGTGTAAACTCGTGTAAATGGCAATTAG
gi 294960054 gb GU968737.1	ACGGTTCAATTATTGATGCGACTCAAACCTCGTGTAAACTCGTGTAAATGGCAATTAG
gi 294959369 gb GU951707.1	ACGGTTCAATTATTGATGCGACTCAAACCTCGTGTAAACTCGTGTAAATGGCAATTAG
gi 199581368 gb EU659906.1 /12-814	ACGGTTCAATTATTGATGCGACTCAAACCTCGTGTAAACTCGTGTAAATGGCAATTAG

Sekvens lik referanseetmanne BDE2A

gi 57865352:446473-447483 gb 388330698 gb JQ728491.1 /1-927	GGTAAATTACATGGGGGTTAGATATCGACCTAGTATTAGAAATGTA GGTAAATTACATGGGGGATTTAGATATCGACCTAGTATTAGAAATGTA ACTGATAAAAGAAAAAGCACAAAGCTCACATCGCAGGGTCTAAAAAAGTA ACTGATAAAAGAAAAAGCACAAAGCTCACATCGAATCGAGGTCTAAAAAAGTA TTAACATCGATTAGAT
gi 57865352:446473-447483 gb 388330698 gb JQ728491.1 /1-927	GCTCCAGCTAAAGGTGATGTAAAAAACATCGTATTCAACACTAACATGATACATTAGAT GCTCCAGCTAAAGGTGATGTAAAAAACATCGTATTCAACACTAACATGATACATTAGAT TTAACATCGATTAGAT
gi 57865352:446473-447483 gb 388330698 gb JQ728491.1 /1-927	GGTTCAAGAACAGTTGTTCAAGGTGTTCTTGACTACTAACCTATTAGACCAGTTCA GGTTCAAGAACAGTTGTTCAAGGTGTTCTTGACTACTAACCTATTAGACCAGTTCA TTAACATCGATTAGAT
gi 57865352:446473-447483 gb 388330698 gb JQ728491.1 /1-927	AAAGTTTAAGTGAAGAATTGGTTTAGTGAAGGTTTATGACTACAAATTACGCTTAC AAAGTTTAAGTGAAGAATTGGTTTAGTGAAGGTTTATGACTACAAATTACGCTTAC TTAACATCGATTAGAT
gi 57865352:446473-447483 gb 388330698 gb JQ728491.1 /1-927	ACTGGTACCAAAAACACGCACCTACAGAAAAAGTGACAAACGTCGTGCA ACTGGTACCAAAAACACGCACCTACAGAAAAAGTGACAAACGTCGTGCA TTAACATCGATTAGAT
gi 57865352:446473-447483 gb 388330698 gb JQ728491.1 /1-927	GCAGCAGCTGAAATTATTACCTAACCTAACAGGTGCTAAAGCTATCGTTAAAGTT GCAGCAGCTGAAATTATTACCTAACCTAACAGGTGCTGCTAAAGCTATCGTTAAAGTT TTAACATCGATTAGAT
gi 57865352:446473-447483 gb 388330698 gb JQ728491.1 /1-927	ATTCAGAAATCGATGGTAATTAGACGGTGGAGCACACAGTGTTCAGTTGCTACTGTT ATTCAGAAATCGATGGTAATTAGACGGTGGAGCACACAGTGTTCAGTTGCTACTGTT TTAACATCGATTAGAT
gi 57865352:446473-447483 gb 388330698 gb JQ728491.1 /1-927	AGTGTCTATGAAACAAAGCTCTGACGAATCATCGGTTACACTGAAGACAAATCGTATCT AGTGTCTATGAAACAAAGCTCTGACGAATCATCGGTTACACTGAAGACAAATCGTATCT TTAACATCGATTAGAT
gi 57865352:446473-447483 gb 388330698 gb JQ728491.1 /1-927	TCTGATAATTGGTGTATGACTTACGGTCAATTATTGATGCGACTCAAACCTGTGTTATG TCTGATAATTGGTGTATGACTTACGGTCAATTATTGATGCGACTCAAACCTGTGTTATG TTAACATCGATTAGAT
gi 57865352:446473-447483 gb 388330698 gb JQ728491.1 /1-927	ACTGTTGGAGATCGTCAATTAGTTAAAGTTGACCTTGGTACGACAATGAAATGTC ACTGTTGGAGATCGTCAATTAGTTAAAGTTGACCTTGGTACGACAATGAAATGTC TTAACATCGATTAGAT

1.1.2 *Staphylococcus aureus*

Konsensuskyens: NCTC 8325 (NC 007795)

S. aureus

S. aureus

S. aureus	gi 88193823 : 777185 - 778195	agccaaattaccctggaaacttaaatcgatgttagttatggaaatgtacggtttctac
	gi 87159884 : 843347 - 844357	AGCAAATTACCTTGGAAAGACTTAATATCGATGTTAGAATGTACTGGTTCTAC
	gi 109676851 :gb DQ647033.1	AGCAAATTACCTTGGAAAGACTTAATATCGATGTTAGAATGTACTGGTTCTAC

S. aureus

S. aureus	actgataaaagataaagacaagaatccatattgaagaaggcgctaaaaaaatatttaatctca
gi 88193823 777185-778195	ACTGATAAAAGATAAAGCACAAGCTCATATTGAAGCAGGCCTAAAAAAAGTATTAAATCTCA
gi 88159884 843347-8443357	ACTGATAAAAGATAAAGCACAAGCTCATATTGAAGCAGGCCTAAAAAAAGTATTAAATCTCA
gi 109676851 gb D0647033.1	*****

S. aureus

```

> s.aureus
gb|88193823|777185-778195
gb|87159884|843347-844357
gb|109676851|gb|DQ647033.1|
GCACCAAGCTACTGTGACTTAAACAAATGTATTCAACACTAAACCACCAAGAGTTAGAC
GCACCAAGCTACTGTGACTTAAACAAATGTATTCAACACTAAACCACCAAGAGTTAGAC
GCACCAAGCTACTGTGACTTAAACAAATGTATTCAACACTAAACCACCAAGAGTTAGAC
*****

```

2010.01.01

2. aut
gi | 88193823 | 777185-778195
gi | 87159884-843347-844357
gi | 109676851 | gb | DQ647033.1 |
GGTCTGAAACAGTTGTTCACTACAAACTCTTACCCAGTGTCTG
GGTCTGAAACAGTTGTTCACTACAAACTCTTACCCAGTGTCTG
GGTCTGAAACAGTTGTTCACTACAAACTCTTACCCAGTGTCTG

gi | 871598

ACAGGTGATCAAATACAAAGACGGACCTCAAGAAAAGGTGACAAACGTCTGTCGTT*****
gi|109676851|gb|DQ647033.1|

1.1.3 *Staphylococcus lugdunensis*.

1.1.4 *Staphylococcus capitis*

CLUSTAL O(1.2.1) multiple sequence alignment

gi|199581360 | gb | EU659902.1 | ACTGGTGACCAAAAATCTCAAGATGCTCCTCACAGAAAAGGGACAAACGTCGTGCTCGT
 HM352966.1 | ACTGGTGACCAAAAATCTCAAGATGCTCCTCACAGAAAAGGGACAAACGTCGTGCTCGT
 gi|30730740 | gb | HM352966.1 | ACTGGTGACCAAAAATCTCAAGATGCTCCTCACAGAAAAGGGACAAACGTCGTGCTCGT
AYP1020
 gi|294959375 | gb | GU951710.1 | ACTGGTGACCAAAAATCTCAAGATGCTCCTCACAGAAAAGGGACAAACGTCGTGCTCGT
 gi|199581360 | gb | EU659902.1 |
 HM352966.1 |
 gi|30730740 | gb | HM352966.1 |
AYP1020
 gi|294959375 | gb | GU951710.1 |

gi|199581360 | gb | EU659902.1 | GCAGCAGCAGAAAAACATTATCCCTAACTCTACAGGCTGCTAAAGCAATTGGTAAGTT
 HM352966.1 | GCAGCAGCAGAAAAACATTATCCCTAACTCTACAGGCTGCTAAAGCAATTGGTAAGTT
 gi|30730740 | gb | HM352966.1 | GCAGCAGCAGAAAAACATTATCCCTAACTCTACAGGCTGCTAAAGCAATTGGTAAGTT
AYP1020
 gi|294959375 | gb | GU951710.1 | GCAGCAGCAGAAAAACATTATCCCTAACTCTACAGGCTGCTAAAGCAATTGGTAAGTT
 ****=
 gi|199581360 | gb | EU659902.1 | ATTCCAGAAATCGATGGTAAATTAGACGGTGGAGCTAACGTGTTCCAGTTGCAACAGGT
 HM352966.1 | ATTCCAGAAATCGACGGTAAATTAGACGGTGGAGCTAACGTGTTCCAGTTGCAACAGGT
 gi|30730740 | gb | HM352966.1 | ATTCCAGAAATCGACGGTAAATTAGACGGTGGAGCTAACGTGTTCCAGTTGCAACAGGT
AYP1020
 gi|294959375 | gb | GU951710.1 | ATTCCAGAAATCGACGGTGGAGCTAACGTGTTCCAGTTACTACAGGT
 ****=
 gi|199581360 | gb | EU659902.1 | TCATTAACCTGAATTAAACAGTAGTATTAGATAAAACAGATGTAACAGCTGATCAAGTAAAT
 HM352966.1 | TCATTAACCTGAATTAAACAGTAGTATTAGATAAAACAGATGTAACAGCTGATCAAGTAAAT
 gi|30730740 | gb | HM352966.1 | TCATTAACCTGAATTAAACAGTAGTATTAGATAAAACAGATGTAACAGCTGATCAAGTAAAT
AYP1020
 gi|294959375 | gb | GU951710.1 | TCATTAACCTGAATTAAACAGTAGTATTAGATAAAACAGATGTAACAGCTGATCAAGTAAAT
 ****=
 gi|199581360 | gb | EU659902.1 | GAAGCAATGAAACAAAGCTCTGAGAACTTCTGGTTACACTGAAGTGAAGAATGTACT
 HM352966.1 | GAAGCAATGAAACAAAGCTCTGAGAACTTCTGGTTACACTGAAGTGAAGAATGTACT
 gi|30730740 | gb | HM352966.1 | GAAGCAATGAAACAAAGCTCTGAGAACTTCTGGTTACACTGAAGTGAAGAATGTACT
AYP1020
 gi|294959375 | gb | GU951710.1 | GAAGCAATGAAACAAAGCTCTGAGAACTTCTGGTTACACTGAAGTGAAGAATGTACT
 ****=
 gi|199581360 | gb | EU659902.1 | TCTGAGCTTGTAGGTATGACTTATGGTCATTATTCGACGCTACTCAAACCTGTGTAATG
 HM352966.1 | TCTGAGCTTGTAGGTATGACTTACGGTTCTATTATCGATGCTACTCAAACCTGTGTAATG
 gi|30730740 | gb | HM352966.1 | TCTGAGCTTGTAGGTATGACTTACGGTTCTATTATCGATGCTACTCAAACCTGTGTAATG
AYP1020
 gi|294959375 | gb | GU951710.1 | TCTGAGCTTGTAGGTATGACTTACGGTTCTATTATCGATGCTACTCAAACCTGTGTAATG
 ****=

Velger AYP1020 som consensus, akcessjonsnummer: NZ_CP0007601

snudd complete gi 372326153 gb JN609236.1 DQ321696snudd gi 20799603 gb AF495485.1 snuddcomplete gi 372326153 gb JN609236.1 DQ321696snudd gi 20799603 gb AF495485.1	GGTTCTAACACGTTAGGTGCAATGAAACAAACTCATTTAGAACCTGTTGCA GGTTCTAACACGTTAGGTGCAATGAAACAAACTCATTTAGAACCTGTTGCA GGTTCTAACACGTTAGGTGCAATGAAACAAACTCATTTAGAACCTGTTGCA ***** AAAACTTTACATGACGAATTGGTATTTGTAAGGTTTAATGACTACAATTACGGCATAT AAAAACTTACACCGAATTGGTATTTGTAAGGTTTAATGACTACAATTACGGCATAT AAAAACTTACACCGAATTGGTATTTGTAAGGTTTAATGACTACAATTACGGCATAT ***** ACTGGTGACAAAATACACAAAGACGCCACCTCACAGAAAAGGTGACAAACGTCGTGCAGT ACTGGTGACAAAATACACAAAGACGCCACCTCACAGAAAAGGTGACAAACGTCGTGCAGT ACTGGTGACAAAATACACAAAGATGCCACTCACAGAAAAGGTGACAAACGTCGTGCAGT ACTGGTGACAAAATACACAAAGATGCCACTCACAGAAAAGGTGACAAACGTCGTGCAGT ***** GCTGCTGCTGAAAAATTACATCCCTAACTCTACAGGTGACGGAAAGCAATTGGTTAGTT GCTGCTGCTGAAAAATTACATCCCTAACTCTACAGGTGACGGAAAGCAATTGGTTAGTT GCTGCTGCTGAAAAATTACATCCCTAACTCTACAGGTGTCAGGCAAAAGCTGGTTAGTT GCTGCTGCTGAAAAATTACATCCCTAACTCTACAGGTGTCAGGCAAAAGCTGGTTAGTT ***** ATTCAGAAATCGTGTAAATTAGATGGGGCACAAGTGTTCAGTTGCACTGGT ATTCAGAAATCGTGTAAATTAGATGGGGCACAAGTGTTCAGTTGCACTGGT ATTCAGAAATTGGCGTAAATTAGAGGTGGTCACAAAGCTGGTTCAGTTGCACTGGT ATTCAGAAATTGGCGTAAATTAGAGGTGGTCACAAAGCTGGTTCAGTTGCACTGGT ***** TCATTAACAGAAATTACAGTTGTTTAGATAAAAGAGTAAACAGTTGAAAGAAGTAAACAA TCATTAACAGAAATTACAGTTGTTTAGATAAAAGAGTAAACAGTTGAAAGAAGTAAACAA TCATTAACAGAAATTACAGTTGTTTAGATAAAAGAGTAAACAGTTGAAAGAAGTAAACAA ***** GTAATGAAAGCGAACCTAACGAATCTAACGAATCTAACGAATCTAACGAATCTAAC GTAATGAAAGCGAACCTAACGAATCTAACGAATCTAACGAATCTAACGAATCTAAC GTAATGAAAGCGAACCTAACGAATCTAACGAATCTAACGAATCTAACGAATCTAAC ***** GAGGTGTTAGGTGATGACTTACGGTGCATTATTCGTTAACCTAACACTCGTTCTICA GAGGTGTTAGGTGATGACTTACGGTGCATTATTCGTTAACCTAACACTCGTTCTICA GAGGTGTTAGGTGATGACTTACGGTGCATTATTCGTTAACCTAACACTCGTTCTICA *****
---	--

Bruker .gi | 913000289 | 1981730-1982737 *Staphylococcus schleiferi* strain 1360-13, complete genome.

1.1.6 *Staphylococcus hominis*

DQ321688.1/28-895 gb ACLP01000003.1 :34271-35278/50-917 HM352973.1/5-872 gi 641689277 emb LK023496.1 /1-868	CACCAAGTTGCTAAAGTTTAAATGACGAAATTGGTGAAGGTTTAATGACAACTA CACCAAGTTGCTAAAGTTTAAATGACGAAATTGGTATTGTGAAGGTTTAATGACAACTA CACCAAGTTGCTAAAGTTTAAATGACGAAATTGGTATTGTGAAGGTTTAATGACAACTA ***** ***** ***** *****
DQ321688.1/28-895 gb ACLP01000003.1 :34271-35278/50-917 HM352973.1/5-872 gi 641689277 emb LK023496.1 /1-868	TCCATGTTTACACTGGTACCAAATGACTCAAGATGGTCCACACAGAAAAAGGTGACAACAC TCCATGTTTACACTGGTACCAAATGACTCAAGATGGTCCACACAGAAAAAGGTGACAACAC TTCACGCTTACACTGGGACCAAATGACTCAAGATGGTCCACACAAAAAAAGGTGACAACAC ***** ***** ***** *****
DQ321688.1/28-895 gb ACLP01000003.1 :34271-35278/50-917 HM352973.1/5-872 gi 641689277 emb LK023496.1 /1-868	GTCGTCACGTGCGAGCACAAAACATGTCACCTAAGTCAAGATGGTCAAGCTAAAGCTA GTCGTCACGTGCGAGCACAAAACATGTCACCTAAGTCAAGATGGTCAAGCTAAAGCTA GTCGTCACGTGCGAGCACAAAACATGTCACCTAAGTCAAGATGGTCAAGCTAAAGCTA ***** ***** ***** *****
DQ321688.1/28-895 gb ACLP01000003.1 :34271-35278/50-917 HM352973.1/5-872 gi 641689277 emb LK023496.1 /1-868	TCGGTAAGTAATTCTGAAATCGATGGTAAATTAGATGGTGGAGCACACCGTGTACCG TCGGTAAGTAATTCTGAAATCGATGGTAAATTAGATGGTGGAGCACACCGTGTACCG TCGGTAAGTAATTCTGAAATCGATGGTAAATTAGATGGTGGAGCACACCGTGTACCG ***** ***** ***** *****
DQ321688.1/28-895 gb ACLP01000003.1 :34271-35278/50-917 HM352973.1/5-872 gi 641689277 emb LK023496.1 /1-868	TAGCTACTGGTTCATTAACTGAAAGTAACAGTTGTTAGTAGAAAAAGGAAGTAACAGTTGAAG TAGCTACTGGTTCATTAACTGAAAGTAACAGTTGTTAGTAGAAAAAGGAAGTAACAGTTGAAG TAGCTACTGGTTCATTAACTGAAAGTAACAGTTGTTAGTAGAAAAAGGAAGTAACAGTTGAAG ***** ***** ***** *****
DQ321688.1/28-895 gb ACLP01000003.1 :34271-35278/50-917 HM352973.1/5-872 gi 641689277 emb LK023496.1 /1-868	ATGTTAACAAAGCAAATGAAAAATGCTGTGCTGACGAATCATTGGTTACACTGAAAGTGAAG ATGTTAACAAAGCAAATGAAAAATGCTGTGCTGACGAATCATTGGTTACACTGAAAGTGAAG ATGTTAACAAAGCAAATGAAAAATGCTGTGCTGACGAATCATTGGTTACACTGAAAGTGAAG ***** ***** ***** *****
DQ321688.1/28-895 gb ACLP01000003.1 :34271-35278/50-917 HM352973.1/5-872 gi 641689277 emb LK023496.1 /1-868	TCGTATCATCAGATAATGTTGGTATGAACCTTGGTTCAATTTCGATGCAACCTAAACTC TCGTATCATCAGATAATGTTGGTATGAACCTTGGTTCAATTTCGATGCAACCTAAACTC TCGTATCATCAGATAATGTTGGTATGAACCTTGGTTCAATTTCGATGCAACCTAAACTC ***** ***** ***** *****
DQ321688.1/28-895 gb ACLP01000003.1 :34271-35278/50-917 HM352973.1/5-872 gi 641689277 emb LK023496.1 /1-868	GTGTATCTCAGTTGGGCACAAACATT GTGTATCTCAGTTGGGCACAAACATT GTGTATCTCAGTTGGGCACAAACATT GTGTATCTCAGTTGGGCACAAACATT ***** ***** ***** *****

1.17 *Staphylococcus haemolyticus*

Det to sevænsene som til slutt ble tatt med er helt like.

1.1.2 VEDLEGG 2 – PRIMERE OG PROBE FOR GAP

Alignment av stafylokokker (konsensussekvenser) med avmerking av primerpar og TaqMan-probe.

BLASTN 0(1.2.1) multiple sequence alignment
S. schleiferi: 913000289:1981730-1982737 St
S. hominis: ACP10000003.1:34271-35278/50
S. aureus: NTCT 8325 88193823:77185-778195
S. epidermidis: JQ728491
S. capitis: AYP1020, number: NZ_CPB007601

SCHLEIFERI snuddcomplete/78-890./2-812	LUGDISgi 8062713 gb D0321693..1 /57-870	HOMINISgb ACLP01000003..1 :34271-35278/79-889	HAEMOLYTICUSgi 641689283 emb LK023499..1 /27-837	AUREUS/79-892	EPIDERMIDISgi 388330698 gb J0728491..1 /50-863	CAPITIS/12-825	ATTCGGTATTGTGAAGGTTAACTGACTAACATTCAAGCATAATACTGGTGACCAAAATAC ATTGGTATTAGTAGAAGGTTAACTGACTAACATTCAAGCATAACTGGTGACCAAAATAC ATTGGTATTGTGAAGGTTAACTGACTAACATTCAAGCATAACTGGTGACCAAAATAC CTTGGTATTAGTAGAAGGTTAACTGACTAACATTCAAGCATAACTGGTGACCAAAATAC ATTCGGTATTAGTAGAAGGTTAACTGACTAACATTCAAGCATAACTGGTGACCAAAATAC GTTGGTATTAGTAGAAGGTTAACTGACTAACATTCAAGCATAACTGGTGACCAAAATAC	479
SCHLEIFERI snuddcomplete/78-890./2-812	LUGDISgi 8062713 gb D0321693..1 /57-870	HOMINISgb ACLP01000003..1 :34271-35278/79-889	HAEMOLYTICUSgi 641689283 emb LK023499..1 /27-837	AUREUS/79-892	EPIDERMIDISgi 388330698 gb J0728491..1 /50-863	CAPITIS/12-825	ACAAGGACCCCTCACAGAAAAGGTGACAAACGTCGTGACCTGCTGCTGCTGAAATAT TCAAGATGGTCCACACAGAAAAGGTGACAAACGTCGTGACCTGCTGCTGAAATAT TCAAGATGGTCCACACAGAAAAGGTGACAAACGTCGTGACCTGCTGCTGAAATAT ACAAGGACCCCTCACAGAAAAGGTGACAAACGTCGTGACCTGCTGCTGCTGAAATAT ACAAGGACCCCTCACAGAAAAGGTGACAAACGTCGTGACCTGCTGCTGCTGAAATAT TCAAGATGGTCCACACAGAAAAGGTGACAAACGTCGTGACCTGCTGCTGCTGAAATAT	539
SCHLEIFERI snuddcomplete/78-890./2-812	LUGDISgi 8062713 gb D0321693..1 /57-870	HOMINISgb ACLP01000003..1 :34271-35278/79-889	HAEMOLYTICUSgi 641689283 emb LK023499..1 /27-837	AUREUS/79-892	EPIDERMIDISgi 388330698 gb J0728491..1 /50-863	CAPITIS/12-825	CATCCCTAACTCTACAGGTGACGGAAAAGCAATCGGTTAGTTAGTTACCCAGAAAATCGCTGG CGTACCTAACTCAACTGGTGTGCTGTAAGCAATCGGTTAAAGTTACCTGAAATCGATGG CGTACCTAACTCAACAGGTGACGGTCAAAGCTAAAGCTATCGGTTAAAGTTACCTGAAATCGATGG CGTACCTAACTCAACAGGTGCTGCAAAAAGCAATCGGTTAAAGTTACCTGAAATCGATGG CATCCCTAACTCAACAGGTGCTGCTAAAGCTATCGGTTAAAGTTACCTGAAATCGATGG TATCCCTAACTCAACAGGTGCTGCTAAAGCTATCGGTTAAAGTTACCTGAAATCGATGG TATCCCTAACTCTACAGGTGCTGCTAAAGCAATTGGTAAAGTTACCTGAAATCGACGG	599
SCHLEIFERI snuddcomplete/78-890./2-812	LUGDISgi 8062713 gb D0321693..1 /57-870	HOMINISgb ACLP01000003..1 :34271-35278/79-889	HAEMOLYTICUSgi 641689283 emb LK023499..1 /27-837	AUREUS/79-892	EPIDERMIDISgi 388330698 gb J0728491..1 /50-863	CAPITIS/12-825	TAAATTAGATGGTGGTGCACAACTGGTCCAGTTGCAACTGGTTTCAATTACAGAAATTAAAC TAAATTAGACGGTGGTGCACAACTGGTACCCAGTAGCTACTGGTTTCAATTACAGAAATTAAAC TAAATTAGATGGTGGTGCACAACTGGTACCCAGTAGCTACTGGTTTCAATTACAGAAATTAAAC TAAATTAGATGGTGGTGCACAACTGGTACCCAGTAGCTACTGGTTTCAATTACAGAAATTAAAC TAAATTAGACGGTGGAGCTAACGTTCCAGTTGCTACTGGTTTCAATTACAGAAATTAAAC	659
SCHLEIFERI snuddcomplete/78-890./2-812	LUGDISgi 8062713 gb D0321693..1 /57-870	HOMINISgb ACLP01000003..1 :34271-35278/79-889	HAEMOLYTICUSgi 641689283 emb LK023499..1 /27-837	AUREUS/79-892	EPIDERMIDISgi 388330698 gb J0728491..1 /50-863	CAPITIS/12-825	AGTTGGTTTAAAGTAAAGTAAAGTAAAGTAAAGTAAAGTAAAGTAAAGTAAAGTAAAGC TGTAGTATTAGAAAAAACAGATGTACAGTAGAACAGTAAAGGAGCTGAAAGG AGTTGGTATTAGAAAAAG--AAGTAACAGTGTGAAAGATGTTAACAAAGCAATTGAAATGC AGTTGGTATTAGAAAAAG--ACGTTACTGTGAAAGACGTTAACAAAGCAATTGAAATGC AGTAGTATTAGAAAAAACAGACGTAAACAGTGTGAAACAGTAAAGGAGCTGAAAG TGTAGTATTAGAAAAAACAGATGTACTGTGACCAAGTTAACAGTAAATGAAACAGC TGTAGTATTAGAAAAAACAGATGTACTGTGACCAAGTTAACAGTAAATGAAACAGC	716

779
779
779
776
776
776
776

AACTAACGAAATTCGGTTACACTGAAGACCAAATCGTTTCTCAGACTGTAGGTAT
TTCTAACGAAATTCGGTTACAACTGAAGATGAAATTGTTTCTCTGACTGTGGTAT
TGCTGACGAAATTCGGTTACACTGAAGATGAAATCTGATATCTGTTGGTAT
TTCAACGAAATCTGGTTACACTGAAGACCAAATCGTTTCTCAGACTGTAGGTAT
TTCTGACGAAATTCGGTTACACTGAAGACCAAATCGTATCTCTGATATTGTTGGTAT
TTCTGACGAAATCTGGTTACACTGAAGATGAAATCTGATCTCTGACTGTAGGTAT

SGCHLIEFIERISnuddcomplete/78-890./2-812	GACTTACGGTCATTATTCGATGCAACTCAAACCT	811
LUGGDISg1 85062173 gb DQ321693.1 /57-870	GACTTACGGTTICATTATTTGATGCAACACAAACCT	814
OMMINISg1 ACLP010000003.1 :34271-33278/79-889	GAACCTTGGTTICATTATTCGATGCAACTCAAACCT	811
AEMOLYTICUSg1 641689283 emb LK023499.1 /27-837	GACTTACGGTTICATTATTCGATGCTACAACCT	811
AUREUS/79-892	GACTTACGGTTICATTATTCGACGTACAACACCT	814
EPIDERMIDISg1 3883330698 gb JQ728491.1 /50-863	GACTTACGGTTICATTATTCGATGCAACTCAAACCT	814
LARITIS/12-825	GACTTACGGTTICATTATTCGATGCTACAACCT	814

*** * *** * *** * *** * *** * *** * *** * *** *

1.3 VEDLEGG 3 – ALIGNMENT AV ALLE STAFYLOKOKKER FOR HSP60

Alignment *hsp60* fra CLUSTAL O(1.2.1) multiple sequence alignment

11.3.1 Alignment for *S. epidermidis*.

gi 116710879 gb DQ991024.1 / 1-421
EF6704485nudd 30-450
gi 4103901 gb AF029245.1 / 52-472
gi 535340 gb U13618.1 SEUJ3618/765
EF6704485nudd 48-468
gi 116710877 gb DQ991023.1 / 1-421
gi 148227749 gb EF173658.1 / 52-472
gi 199581304 gb EU659874.1 / 46-466
gi 116710879 gb DQ991024.1 / 1-421
EF6704485nudd 30-450
gi 4103901 gb AF029245.1 / 52-472
gi 535340 gb U13618.1 SEUJ3618/765
EF6704485nudd 48-468
gi 116710877 gb DQ991023.1 / 1-421
gi 148227749 gb EF173658.1 / 52-472
gi 199581304 gb EU659874.1 / 46-466

gi 116710879 gb DQ991024.1 /1-421	AGCTATTTCAGCAGCAGATGAAAGAAATGGACCGTACATTCTGAAGCAATGGATAAAGT
EF670448snidd/30-450	AGCTATTTCAGCAGCAGATGAAAGAAATGGTCGTACATTCTGAAGCAATGGATAAAGT
gi 4103901 gb AF029245.1 /52-472	AGCTATTTCAGCAGCAGATGAAAGAAATGGTCGTACATTCTGAAGCAATGGATAAAGT
gi 535340 gb U13618.1 SEU13618/765-1185	AGCTATTTCAGCAGCAGATGAAAGAAATGGTCGTACATTCTGAAGCAATGGATAAAGT
EF670446snidd/48-468	AGCTATTTCAGCAGCAGATGAAAGAAATGGTCGTACATTCTGAAGCAATGGATAAAGT
gi 116710877 gb DQ991023.1 /1-421	AGCTATTTCAGCAGCAGATGAAAGAAATGGTCGTACATTCTGAAGCAATGGATAAAGT
gi 148277749 gb EF173658.1 /52-472	AGCTATTTCAGCAGCAGATGAAAGAAATGGTCGTACATTCTGAAGCAATGGATAAAGT
gi 199581364 gb EU659874.1 /46-466	AGCTATTTCAGCAGCAGATGAAAGAAATGGTCGTACATTCTGAAGCAATGGATAAAGT

gi 116710879 gb DQ991024.1 /1-421	AGGTAAACGATGGGGTTACACATTGAAAGATCAAATGGATTAACTACAGAAATTAGAAGT
EF670448snidd/30-450	AGGTAAACGATGGGGTTACACTATGAAAGATCAAATGGTTTAATACAGAAATTAGAAGT
gi 4103901 gb AF029245.1 /52-472	AGGTAAACGATGGGGTTACACTATGAAAGATCAAATGGTTTAATACAGAAATTAGAAGT
gi 535340 gb U13618.1 SEU13618/765-1185	AGGTAAACGATGGGGTTACACTATGAAAGATCAAATGGTTTAATACAGAAATTAGAAGT
EF670446snidd/48-468	AGGTAAACGATGGGGTTACACTATGAAAGATCAAATGGTTTAATACAGAAATTAGAAGT
gi 116710877 gb DQ991023.1 /1-421	AGGTAAACGATGGGGTTACACTATGAAAGATCAAATGGTTTAATACAGAAATTAGAAGT
gi 148277749 gb EF173658.1 /52-472	AGGTAAACGATGGGGTTACACTATGAAAGATCAAATGGTTTAATACAGAAATTAGAAGT
gi 199581364 gb EU659874.1 /46-466	AGGTAAACGATGGGGTTACACTATGAAAGATCAAATGGTTTAATACAGAAATTAGAAGT

gi 116710879 gb DQ991024.1 /1-421	AGTTGAAGGAATGCCAATTGTCGGGTTACATCATTACCATATGGTAACTGACTCAGA
EF670448snidd/30-450	AGTTGAAGGAATGCCAATTGTCGGGTTACATCATTACCATATGGTAACTGACTCAGA
gi 4103901 gb AF029245.1 /52-472	AGTTGAAGGAATGCCAATTGTCGGGTTACATCATTACCATATGGTAACTGACTCAGA
gi 535340 gb U13618.1 SEU13618/765-1185	AGTTGAAGGAATGCCAATTGTCGGGTTACATCATTACCATATGGTAACTGACTCAGA
EF670446snidd/48-468	AGTTGAAGGAATGCCAATTGTCGGGTTACATCATTACCATATGGTAACTGACTCAGA
gi 116710877 gb DQ991023.1 /1-421	AGTTGAAGGAATGCCAATTGTCGGGTTACATCATTACCATATGGTAACTGACTCAGA
gi 148277749 gb EF173658.1 /52-472	AGTTGAAGGAATGCCAATTGTCGGGTTACATCATTACCATATGGTAACTGACTCAGA
gi 199581364 gb EU659874.1 /46-466	AGTTGAAGGAATGCCAATTGTCGGGTTACATCATTACCATATGGTAACTGACTCAGA

gi 116710879 gb DQ991024.1 /1-421	TAAAATGATAGCTGAATTAGAACGTCCATATATTAGTAACGGATAAGAAAATTTCATC
EF670448snidd/30-450	TAAAATGATAGCTGAATTAGAACGTCCATATATTAGTAACGGATAAGAAAATTTCATC
gi 4103901 gb AF029245.1 /52-472	TAAAATGATAGCTGAATTAGAACGTCCATATATTAGTAACGGATAAGAAAATTTCATC
gi 535340 gb U13618.1 SEU13618/765-1185	TAAAATGATAGCTGAATTAGAACGTCCATATATTAGTAACGGATAAGAAAATTTCATC
EF670446snidd/48-468	TAAAATGATAGCTGAATTAGAACGTCCATATATTAGTAACGGATAAGAAAATTTCATC
gi 116710877 gb DQ991023.1 /1-421	TAAAATGATAGCTGAATTAGAACGTCCATATATTAGTAACGGATAAGAAAATTTCATC
gi 148277749 gb EF173658.1 /52-472	TAAAATGATAGCTGAATTAGAACGTCCATATATTAGTAACGGATAAGAAAATTTCATC
gi 199581364 gb EU659874.1 /46-466	TAAAATGATAGCTGAATTAGAACGTCCATATATTAGTAACGGATAAGAAAATTTCATC

gi 116710879 gb DQ991024.1 /1-421	ATTCCAAGATATTCTCCATTATTAGAACAGTGTGCAGCTATTGTCGACCTATTAAAT
EF670448snidd/30-450	ATTCCAAGATATTCTCCATTATTAGAACAGTGTGCAGCTATTGTCGACCAATTAAAT
gi 4103901 gb AF029245.1 /52-472	ATTCCAAGATATTCTCCATTATTAGAACAGTGTGCAGCTATTGTCGACCAATTAAAT
gi 535340 gb U13618.1 SEU13618/765-1185	ATTCCAAGATATTCTCCATTATTAGAACAGTGTGCAGCTATTGTCGACCAATTAAAT
EF670446snidd/48-468	ATTCCAAGATATTCTCCATTATTAGAACAGTGTGCAGCTATTGTCGACCAATTAAAT
gi 116710877 gb DQ991023.1 /1-421	ATTCCAAGATATTCTCCATTATTAGAACAGTGTGCAGCTATTGTCGACCAATTAAAT
gi 148277749 gb EF173658.1 /52-472	ATTCCAAGATATTCTCCATTATTAGAACAGTGTGCAGCTATTGTCGACCAATTAAAT
gi 199581364 gb EU659874.1 /46-466	ATTCCAAGATATTCTCCATTATTAGAACAGTGTGCAGCTATTGTCGACCAATTAAAT

```

gb |116710879|gb |DQ991024.1| /1-421
EF670448snudd/30-450
gi |4103901|gb |AF029245.1| /52-472
gi |535340|gb |U13618.1|SFU13618/765-1185
EF670446snudd/48-468
gi |116710877|gb |DQ991023.1| /1-421
gi |148277749|gb |EF173658.1| /52-472
gi |199581364|gb |EU659874.1| /46-466

```

1.3.2 Staphylococcus hominis.

```

gi |199581316|gb |EU659880.1| /48-493
reverse EF670447/1-446
gi |4205750|gb |AF053572.1| /54-499
revers.VCU122.418618723:66933-68552/323-768

```

```

GTGGTGCAAATCCAGTTACGTTGGTTACGTGAAAGCATTGATAAAGCAGTCAGAGTAGCAGTTG
GTGGTGCAAATCCAGTTACGTTGGTTACGTGAAAGCATTGATAAAGCAGTCAGAGTAGCAGTTG
GTGGTGCAAATCCAGTTACGTTGGTTACGTGAAAGCATTGATAAAGCAGTCAGAGTAGCAGTTG

```

```

gi |199581316|gb |EU659880.1| /48-493
reverse EF670447/1-446
gi |4205750|gb |AF053572.1| /54-499
revers.VCU122.418618723:66933-68552/323-768

```

```

AAGCATTACTCAAGTATACTTCCTACAAAAGTTGAAAAATTGAAATCTCCACAAGTAGTG
AAGCATTACTGACGACATTCTCAGAACATTGTTGAAATGAAATCTCCACAAGTAGTG
AAGCATTACTGACGACATTCTCAGAACATTGTTGAAATGAAATCTCCACAAGTAGTG
AAGCATTACTGACGACATTCTCAGAACATTGTTGAAATGAAATCTCCACAAGTAGTG

```

```

gi |199581316|gb |EU659880.1| /48-493
reverse EF670447/1-446
gi |4205750|gb |AF053572.1| /54-499
revers.VCU122.418618723:66933-68552/323-768

```

```

CAATTCTGCTGCTGATGAAGAAAATTGGTAAATATATTCTGAAGCAATTGGAACAAAGTAG
CAATTCTGCTGCTGATGAAGAAAATTGGTAAATATATTCTGAAGCAATTGGAACAAAGTAG
CAATTCTGCTGCTGATGAAGAAAATTGGTAAATATATTCTGAAGCAATTGGAACAAAGTAG
CAATTCTGCTGCTGATGAAGAAAATTGGTAAATATATTCTGAAGCAATTGGAACAAAGTAG

```

```

gi |199581316|gb |EU659880.1| /48-493
reverse EF670447/1-446
gi |4205750|gb |AF053572.1| /54-499
revers.VCU122.418618723:66933-68552/323-768

```

```

GTAATGACGGTGTATTACAAATTGAAAGACTTAATGGACTTAATGGCAATTGGAACATTG
GTAATGACGGTGTATTACAAATTGAAAGACTTAATGGACTTAATGGCAATTGGAACATTG
GTAATGACGGTGTATTACAAATTGAAAGACTTAATGGACTTAATGGCAATTGGAACATTG
GTAATGACGGTGTATTACAAATTGAAAGACTTAATGGACTTAATGGCAATTGGAACATTG

```

```

gi |199581316|gb |EU659880.1| /48-493
reverse EF670447/1-446
gi |4205750|gb |AF053572.1| /54-499
revers.VCU122.418618723:66933-68552/323-768

```

```

TAGAAGGTGCAATTGAGGTTATCAATATGGTAAACAGATTCTGATA
TAGAAGGTGCAATTGAGGTTATCAATATGGTAAACAGATTCTGATA
TAGAAGGTGCAATTGAGGTTATCAATATGGTAAACAGATTCTGATA
TAGAAGGTGCAATTGAGGTTATCAATATGGTAAACAGATTCTGATA

```

```

gi |199581316|gb |EU659880.1| /48-493
reverse EF670447/1-446
gi |4205750|gb |AF053572.1| /54-499
revers.VCU122.418618723:66933-68552/323-768

```

```

AAATGATTGGGAATTAGAAAGCCATATATTCTGATAAGAAAATTCTCAT
AAATGATTGGGAATTAGAAAGCCATATATTCTGATAAGAAAATTCTCAT
AAATGATTGGGAATTAGAAAGCCATATATTCTGATAAGAAAATTCTCAT
AAATGATTGGGAATTAGAAAGCCATATATTCTGATAAGAAAATTCTCAT

```

revers

EF670447/1-446

gi|4205750|gb|AF053572.1|/54-499

revers.VCU122.418618723:66933-68552/323-768

gi|199581316|gb|EU659880.1|/48-493
reversEF670447/1-446
gi|4205750|gb|AF053572.1|/54-499
revers.VCU122.418618723:66933-68552/323-768

gi|199581316|gb|EU659880.1|/48-493
reversU92809.1|SHU92809/36-554
gi|199581312|gb|EU659878.1|/1-519
gi|68445725:1010554-1012173/305-823

gi|199581316|gb|U92809.1|SHU92809/36-554
gi|199581312|gb|EU659878.1|/1-519
gi|68445725:1010554-1012173/305-823

1.3.3 Staphylococcus haemolyticus

revers815843407:18922-205411HT3/305-823
gi|4100055|gb|U92809.1|SHU92809/36-554
gi|199581312|gb|EU659878.1|/1-519
gi|68445725:1010554-1012173/305-823

revers815843407:18922-205411HT3/305-823
 gi|4100055|gb|U92809.1|SHU92809/36-554
 gi|199581312|gb|EU659878.1|/1-519
 gi|68445725:1010554-1012173/305-823
 revers815843407:18922-205411HT3/305-823
 gi|4100055|gb|U92809.1|SHU92809/36-554
 gi|199581312|gb|EU659878.1|/1-519
 gi|68445725:1010554-1012173/305-823

revers815843407:18922-205411HT3/305-823
 gi|4100055|gb|U92809.1|SHU92809/36-554
 gi|199581312|gb|EU659878.1|/1-519
 gi|68445725:1010554-1012173/305-823

revers815843407:18922-205411HT3/305-823
 gi|4100055|gb|U92809.1|SHU92809/36-554
 gi|199581312|gb|EU659878.1|/1-519
 gi|68445725:1010554-1012173/305-823

1.3.4 Staphylococcus capitis

gi|4205780|gb|AF03587.1|
 gi|199581296|gb|EU659878.1|
 gi|4558701|gb|AF036322.1|

gi|4205780|gb|AF03587.1|
 gi|199581296|gb|EU659878.1|
 gi|4558701|gb|AF036322.1|

gi|4205780|gb|AF03587.1|
 gi|199581296|gb|EU659878.1|
 gi|4558701|gb|AF036322.1|

gi|4205780|gb|AF03587.1|
 gi|199581296|gb|EU659878.1|
 gi|4558701|gb|AF036322.1|

gi 4558701 gb AF036322.1	TGAGGTAGAAGGCAGCCTTAACATAATTGTTTAAACCGTATGGTGACATTAC ***** * ***** * ***** * ***** * ***** * ***** * ***** * ***** * *****
gi 4205780 gb AF053587.1	TGCIGTTGCTGTAA
gi 199581296 gb EU659870.1	AGCTGTTGCTGTAA ***** * ***** * *
gi 4558701 gb AF036322.1	AGCTGTTGCTGTAA- ***** * ***** * *

35 Stanhopea

TGCAACAGTATTAGCTCAAGCAAATGATTCAAGAAGGC TTGAAAAAAATGTTACAAGTGGTGC
TGCAACAGTATTAGCTCAAGCAAATGATTCAAGAAGGC TTGAAAAAAATGTTACAAGTGGTGC
TGCAACAGTATTAGCTCAAGCAAATGATTCAAGAAGGC TTGAAAAAAATGTTACAAGTGGTGC
TGCAACAGTATTAGCTCAAGCAAATGATTCAAGAAGGC TTGAAAAAAATGTTACAAGTGGTGC

versUSA300
gi|4558745|gb|AF060189.1|/1-554
gi|MRSAs2270-823
gi|4558749|gb|AF060191.1|/1-554

```

ACATGAAAATTCTCAAAAGTTGAAAAATTGAAATTGCGAAGTAGGGGATTC
ACATGAAAATTCTCAAAAGTTGAAAAATTGAAATTGCGAAGTAGGGGATTC
ACATGAAAATTCTCAAAAGTTGAAAAATTGAAATTGCGAAGTAGGGGATTC
ACATGAAAATTCTCAAAAGTTGAAAAATTGAAATTGCGAAGTAGGGGATTC
ACATGAAAATTCTCAAAAGTTGAAAAATTGAAATTGCGAAGTAGGGGATTC
*****
```

<p>reversUSA300 gi 4558745 gb AF060189.1 /1-554 gi MRSA252/270-823 gi 4558749 gb AF060191.1 /1-554</p>	<pre>AGCAGCAGATGAAGAAAATGGACCGTTATTTCTGAAGCTATGGAAAAAGTAGGTAACGA AGCAGCAGATGAAGAAAATGGACCGTTATTTCTGAAGCTATGGAAAAAGTAGGTAACGA AGCAGCAGATGAAGAAAATGGACCGTTATTTCTGAAGCTATGGAAAAAGTAGGTAACGA *****</pre>
<p>reversUSA300 gi 4558745 gb AF060189.1 /1-554 gi MRSA252/270-823 gi 4558749 gb AF060191.1 /1-554</p>	<pre>TGGTGTCAATTACAATTGAAAGATAAATGGACTAAACACTGAAGTAGAAGTGGTTGAAGG TGGTGTCAATTACAATTGAAAGATAAATGGACTAAACACTGAAGTAGAAGTGGTTGAAGG TGGTGTCAATTACAATTGAAAGATAAATGGCTTGAACACTGAAGTAGAAGTGGTTGAAGG *****</pre>
<p>reversUSA300 gi 4558745 gb AF060189.1 /1-554 gi MRSA252/270-823 gi 4558749 gb AF060191.1 /1-554</p>	<pre>TATGCAAATTGATGTTGGTTATCAATTACCGTATGGTTACTGATTAGATAAAATGGT TATGCAAATTGATGTTGGTTATCAATTACCGTATGGTTACTGATTAGATAAAATGGT TATGCAAATTGATGTTGGTTATCAATTACCGTATGGTTACTGATTAGATAAAATGGT *****</pre>
<p>reversUSA300 gi 4558745 gb AF060189.1 /1-554 gi MRSA252/270-823 gi 4558749 gb AF060191.1 /1-554</p>	<pre>TGCTGAATTAGAACGCCCATACATTAGTAAACAGATAAGAAAATCTCGTCTTCCAAGA TGCTGAATTAGAACGCCCATACATTAGTAAACAGATAAGAAAATCTCGTCTTCCAAGA TGCTGAATTAGAACGCCCATACATTAGTAAACAGATAAGAAAATCTCGTCTTCCAAGA *****</pre>
<p>reversUSA300 gi 4558745 gb AF060189.1 /1-554 gi MRSA252/270-823 gi 4558749 gb AF060191.1 /1-554</p>	<pre>TATCTTACCTTTATTAGAACAAAGTGGTCAATTCTAAATCTGTTAGCTGA TATCTTACCTTTATTAGAACAAAGTGGTCAATTCTAAATCTGTTAGCTGA TATCTTACCTTTATTAGAACAAAGTGGTCAATTCTAAATCTGTTAGCTGA *****</pre>
<p>reversUSA300 gi 4558745 gb AF060189.1 /1-554 gi MRSA252/270-823 gi 4558749 gb AF060191.1 /1-554</p>	<pre>TGAAGTTGAAGGGGATGCAATTAAACAAATCTGTCATAACCGTATGCGTGGCACATTAC TGAAGTTGAAGGGGATGCAATTAAACAAATCTGTCATAACCGTATGCGTGGCACATTAC TGAAGTTGAAGGGGATGCAATTAAACAAATCTGTCATAACCGTATGCGTGGCACATTAC *****</pre>
<p>reversUSA300 gi 4558745 gb AF060189.1 /1-554 gi MRSA252/270-823 gi 4558749 gb AF060191.1 /1-554</p>	<pre>AGCTGTTGCAGTAA AGCTGTTGCAGTAA AGCTGTTGCAGTAA AGCCGTTTCTGTAA *****</pre>

1.3.6 Staphylococcus schleiferi

gi 4104215 gb AF0333622.1 /7-553	TGTTTTAGCCAAGCTATGATCAAGAAGGACTTAAAATGTAACAAGTGGCGAAACCC
gi 199581334 gb EU659889.1 /1-547	TGTTTTAGCCAAGCTATGATCAAGAAGGACTTAAAATGTAACAAGTGGCGAAACCC
gi 4205776 gb AF053385.1 /7-553	TGTTTTAGCCAAGCTATGATCAAGAAGGACTTAAAATGTAACAAGTGGCGAAATCC
gi strain1360-13/276-822	TGTTTTAGCCAAGCTATGATCAAGAAGGACTTAAAATGTAACAAGTGGCGAAACCC *****
gi 4104215 gb AF0333622.1 /7-553	AGTAGGTATCGGTCAGGTATTGATAAAAGGGTAGCTGTAGGGATTGAAGCAGTCATAA
gi 199581334 gb EU659889.1 /1-547	AGTAGGTATCGGTCAGGTATTGATAAAAGGGTAGCTGTAGGGATTGAAGCAGTCATAA
gi 4205776 gb AF053385.1 /7-553	AGTAGGTATCGGTCAGGTATTGATAAAAGGGTAGCTGTAGGGATTGAAGCAGTCATAA
gi strain1360-13/276-822	AGTAGGTATCGGTCAGGTATTGATAAAAGGGTAGCTGTAGGGATTGAAGCAGTCATAA *****
gi 4104215 gb AF0333622.1 /7-553	TATTTCTCAAAGAAGTAGAAAAAAGAGAATCGGCCAAGTAGGGTGCTATTCTGCAGC
gi 199581334 gb EU659889.1 /1-547	TATTTCTCAAAGAAGTAGAAAAAAGAGAATCGGCCAAGTAGGGTGCTATTCTGCAGC
gi 4205776 gb AF053385.1 /7-553	TATTTCTCAAAGAAGTAGAAAAAAGAGAATCGGCCAAGTAGGGTGCTATTCTGCAGC
gi strain1360-13/276-822	TATTTCTCAAAGAAGTAGAAAAAAGAGAATCGGCCAAGTAGGGTGCTATTCTGCAGC *****
gi 4104215 gb AF0333622.1 /7-553	TGATGAAAGTAGGTAGGTCTTTAATTTCTGAAGCTATGAAAAAGTAGGTTATGAGGTGT
gi 199581334 gb EU659889.1 /1-547	TGATGAAAGTAGGTAGGTCTTTAATTTCTGAAGCTATGAAAAAGTAGGTTATGAGGTGT
gi 4205776 gb AF053385.1 /7-553	TGATGAAAGTAGGTAGGTCTTTAATTTCTGAAGCTATGAAAAAGTAGGTTATGAGGTGT
gi strain1360-13/276-822	TGATGAAAGTAGGTAGGTCTTTAATTTCTGAAGCTATGAAAAAGTAGGTTATGAGGTGT *****
gi 4104215 gb AF0333622.1 /7-553	TATCTCTATTGAGAAATCAAGGGTTTTAACTACTGAATTGTTAGTGGAAAGGTATGCA
gi 199581334 gb EU659889.1 /1-547	TATCTCTATTGAGAAATCAAGGGTTTTAACTACTGAATTGTTAGTGGAAAGGTATGCA
gi 4205776 gb AF053385.1 /7-553	AATCTCTATTGAGAAATCAAGGGTTTTAACTACTGAATTGAGTGTAGGAAGGTATGCA
gi strain1360-13/276-822	AATCTCTATTGAGAAATCAAGGGTTTTAACTACTGAATTGAGTGTAGGAAGGTATGCA *****
gi 4104215 gb AF0333622.1 /7-553	ATTTCGATCGTGGATACCAATCTCCATATGTTACTGATGGATAAAATGACTGCTGA
gi 199581334 gb EU659889.1 /1-547	ATTTCGATCGTGGATACCAATCTCCATATGTTACTGATGGATAAAATGACTGCTGA
gi 4205776 gb AF053385.1 /7-553	ATTTCGATCGTGGATACCAATCTCCATACATGTTACTGATGGATAAAATGACTGCTGA
gi strain1360-13/276-822	ATTTCGATCGTGGATACCAATCTCCATACATGTTACTGATGGATAAAATGACTGCTGA *****
gi 4104215 gb AF0333622.1 /7-553	GTTAGAAAAAACCTTATTTAAATCACGGATAAAAAAAATCTCATCTTCCAAAGATATCC
gi 199581334 gb EU659889.1 /1-547	GTTAGAAAAAACCTTATTTAAATCACGGATAAAAAAAATCTCATCTTCCAAAGATATCC
gi 4205776 gb AF053385.1 /7-553	GTTAGAAAAAACCTTATTTAAATCACGGATAAAAAAAATCTCATCTTCCAAAGATATCC
gi strain1360-13/276-822	GTTAGAAAAAACCTTATTTAAATCACGGATAAAAAAAATCTCATCTTCCAAAGATATCC *****
gi 4104215 gb AF0333622.1 /7-553	ACCTTTATTAGAGCAAAATCGTTCAATCTAAATCGCCCAATTTTAAATTGTTGCTGATGAAGT
gi 199581334 gb EU659889.1 /1-547	ACCTTTATTAGAGCAAAATCGTTCAATCTAAATCGCCCAATTTTAAATTGTTGCTGATGAAGT
gi 4205776 gb AF053385.1 /7-553	ACCTTTATTAGAGCAAAATCGTTCAATCTAAATCGCCCAATTTTAAATTGTTGCTGATGAAGT
gi strain1360-13/276-822	ACCTTTATTAGAGCAAAATCGTTCAATCTAAATCGCCCAATTTTAAATTGTTGCTGATGAAGT *****

1.3.7 *Staphylococcus lugdunensis*

gi 4104215 gb AF033622.1 /7-553	TGAAGGGACGTTAACAAACTTAGTATTGAAACCGTATGCCGGTACATTACTGCCGT	
gi 199581334 gb EU659889.1 /1-547	TGAAGGGACGCTTAACAAACTTAGTATTGAAACCGTATGCCGGTACATTACTGCCGT	
gi 4205776 gb AF053385.1 /7-553	TGAAGGGACGCTTAACAAACTTAGTATTGAAACCGTATGCCGGTACATTACTGCCGT	
gi strain1360-13/276-822	TGAAGGGACGCTTAACAAACTTAGTATTGAAACCGTATGCCGGTACATTACTGCCGT	*****
gi 4104215 gb AF033622.1 /7-553	TGCAGTA	
gi 199581334 gb EU659889.1 /1-547	TGCAGTA	
gi 4205776 gb AF053385.1 /7-553	TGCAGTA	
gi strain1360-13/276-822	TGCAGTA	*****
gi N920143 270-823	TGCTACAGTGCTAGCACAGCAATGATTCAAGAAGGACTTAAAAACGTAAACGAGTTGGTGC	
gi HKU09-01 /270-823	TGCTACAGTGCTAGCACAGCAATGATTCAAGAAGGACTTAAAAACGTAAACGAGTTGGTGC	
gi U92810.1 SLU92810/1-554	TGCTACAGTGCTAGCACAGCAATGATTCAAGAAGGACTTAAAAACGTAAACGAGTTGGTGC	
gi AF053570.1 /1-554	TGCTACAGTGCTAGCACAGCAATGATTCAAGAAGGACTTAAAAACGTAAACGAGTTGGTGC	*****
gi N920143 270-823	AAATCCAGTTGGCTTACGICAAGGGTTAGTATAAAGCAGTTAAAGTAGGCTATCGAAAGCATT	
gi HKU09-01 /270-823	AAATCCAGTTGGCTTACGICAAGGGTTAGTATAAAGCAGTTAAAGTAGGCTATCGAAAGCATT	
gi U92810.1 SLU92810/1-554	AAATCCAGTTGGCTTACGICAAGGGTTAGTATAAAGCAGTTAAAGTAGGCTATCGAAAGCATT	
gi AF053570.1 /1-554	AAATCCAGTTGGCTTACGICAAGGGTTAGTATAAAGCAGTTAAAGTAGGCTATCGAAAGCATT	*****
gi N920143 270-823	ACATGATATATCACAAAAAGTTGAAAATAAAATGAAATTGCAAAAGTTGGGGCTATTTC	
gi HKU09-01 /270-823	ACATGATATATCACAAAAAGTTGAAAATAAAATGAAATTGCAAAAGTTGGGGCTATTTC	
gi U92810.1 SLU92810/1-554	ACATGATATATCACAAAAAGTTGAAAATAAAATGAAATTGCAAAAGTTGGGGCTATTTC	
gi AF053570.1 /1-554	ACATGATATATCACAAAAAGTTGAAAATAAAATGAAATTGCAAAAGTTGGGGCTATTTC	*****
gi N920143 270-823	TGGCAGAGATGAGAGATTGGACATAATTTCAGAAATCTAGTGGTTCAAATCTGAAGTTGAGAAGG	
gi HKU09-01 /270-823	TGGCAGAGATGAGAGATTGGACATAATTTCAGAAATCTAGTGGTTCAAATCTGAAGTTGAGAAGG	
gi U92810.1 SLU92810/1-554	TGGCAGAGATGAGAGATTGGACATAATTTCAGAAATCTAGTGGTTCAAATCTGAAGTTGAGAAGG	
gi AF053570.1 /1-554	TGGCAGAGATGAGAGATTGGACATAATTTCAGAAATCTAGTGGTTCAAATCTGAAGTTGAGAAGG	*****
gi N920143 270-823	TGGCAGAGATGAGAGATTGGACATAATTTCAGAAATCTAGTGGTTCAAATCTGAAGTTGAGAAGG	
gi HKU09-01 /270-823	TGGCAGAGATGAGAGATTGGACATAATTTCAGAAATCTAGTGGTTCAAATCTGAAGTTGAGAAGG	
gi U92810.1 SLU92810/1-554	TGGCAGAGATGAGAGATTGGACATAATTTCAGAAATCTAGTGGTTCAAATCTGAAGTTGAGAAGG	
gi AF053570.1 /1-554	TGGCAGAGATGAGAGATTGGACATAATTTCAGAAATCTAGTGGTTCAAATCTGAAGTTGAGAAGG	*****

gi N920143 270-823	TATGCAATTGATAGAGGTACCAAATCACCATAATGGTTACGGATTAGATAAAATGAC
gi HKU09-01, /270-823	TATGCAATTGATAGAGGTACCAAATCACCATAATGGTTACGGATTAGATAAAATGAC
gi U92810.1 SLU92810/1-554	TATGCAATTGATAGAGGTACCAAATCACCATAATGGTTACGGATTAGATAAAATGAC
gi AF053570.1 /1-554	*****
gi N920143 270-823	TGCAGAATTAGAACGTCATATATTAGTTACAGATAAAAAATATCTTCAATCCAGA
gi HKU09-01, /270-823	TGCAGAATTAGAACGTCATATATTAGTTACAGATAAAAAATATCTTCAATCCAGA
gi U92810.1 SLU92810/1-554	TGCAGAATTAGAACGTCATATATTAGTTACAGATAAAAAATATCTTCAATCCAGA
gi AF053570.1 /1-554	TGCAGAATTAGAACGTCATATATTAGTTACAGATAAAAAATATCTTCAATCCAGA
gi N920143 270-823	TATTTTACCTTTACTAGAACAAAGTCGTTCAATCTAGTGACCAATAATTAAATTGTTGCTGA
gi HKU09-01, /270-823	TATTTTACCTTTACTAGAACAAAGTCGTTCAATCTAGTGACCAATAATTAAATTGTTGCTGA
gi U92810.1 SLU92810/1-554	TATTTTACCTTTACTAGAACAAAGTCGTTCAATCTAGTGACCAATAATTAAATTGTTGCTGA
gi AF053570.1 /1-554	TATTTTACCTTTACTAGAACAAAGTCGTTCAATCTAGTGACCAATAATTAAATTGTTGCTGA
gi N920143 270-823	TGAAGTAGAAAGGTGATGCCATAACTAAATCGTTCAAACCGCATGCCGGAAACATTAC
gi HKU09-01, /270-823	TGAAGTAGAAAGGTGATGCCATAACTAAATCGTTCAAACCGCATGCCGGAAACATTAC
gi U92810.1 SLU92810/1-554	TGAAGTAGAAAGGTGATGCCATAACTAAATCGTTCAAACCGCATGCCGGAAACATTAC
gi AF053570.1 /1-554	*****
gi N920143 270-823	TGCAGTTGCTGTTA
gi HKU09-01, /270-823	TGCAGTTGCTGTTA
gi U92810.1 SLU92810/1-554	TGCAGTTGCTGTTA
gi AF053570.1 /1-554	TGCAGTTGCTGAA

1.5 VEDLEGG 5 – ALIGNMENT AV ALLE STAFYLOKOKKER FOR RPOB

Alignment av *rpoB* I clustal omega

1.5.1 *Staphylococcus epidermidis*

ATCC 12228
Staphylococcus epidermidis.

gi 543200617 gb KF113500..1 /30-598 gb CP000029..1 :185929-189480/1401-1969 gi 27466918..301678..305229/1401-1969 gi 543200621 gb KF113502..1 /30-598 gi 138248515 gb EF173659..1 /119-687 reversJN190403/1-569	TCTAGGGCCTGGTGGATTAAACCGTGAACGTGCTAAATGGAACTGGTGCCTA TCTAGGGCCTGGTGGATTAAACCGTGAACGTGCTAAATGGAACTGGTGCCTA TCTAGGGCCTGGTGGATTAAACCGTGAACGTGCTAAATGGAACTGGTGCCTA TCTAGGGCCTGGTGGATTAAACCGTGAACGTGCTAAATGGAACTGGTGCCTA TCTAGGGCCTGGTGGATTAAACCGTGAACGTGCTAAATGGAACTGGTGCCTA *****
gi 543200617 gb KF113500..1 /30-598 gb CP000029..1 :185929-189480/1401-1969 gi 27466918..301678..305229/1401-1969 gi 543200621 gb KF113502..1 /30-598 gi 138248515 gb EF173659..1 /119-687 reversJN190403/1-569	CTCTCACTATGGCGTAGTGTGCCAATTGAAAACCTGAGGGTCCTAAATTGGTTTAAT CTCTCACTATGGCGTAGTGTGCCAATTGAAAACCTGAGGGTCCTAAATTGGTTTAAT CTCTCACTATGGCGTAGTGTGCCAATTGAAAACCTGAGGGTCCTAAATTGGTTTAAT CTCTCACTATGGCGTAGTGTGCCAATTGAAAACCTGAGGGTCCTAAATTGGTTTAAT CTCTCACTATGGCGTAGTGTGCCAATTGAAAACCTGAGGGTCCTAAATTGGTTTAAT *****
gi 543200617 gb KF113500..1 /30-598 gb CP000029..1 :185929-189480/1401-1969 gi 27466918..301678..305229/1401-1969 gi 543200621 gb KF113502..1 /30-598 gi 138248515 gb EF173659..1 /119-687 reversJN190403/1-569	GAACCTATTGTCAGTTAGTACAACCTAACATCACTGATCAAATAGATTATTGACAGCTGATGA AAACCTATTGTCAGTTAGTACAACCTAACATCACTGATCAAATAGATTATTGACAGCTGATGA AAACCTATTGTCAGTTAGTACAACCTAACATCACTGATCAAATAGATTATTGACAGCTGATGA AAACCTATTGTCAGTTAGTACAACCTAACATCACTGATCAAATAGATTATTGACAGCTGATGA AAACCTATTGTCAGTTAGTACAACCTAACATCACTGATCAAATAGATTATTGACAGCTGATGA *****
gi 543200617 gb KF113500..1 /30-598 gb CP000029..1 :185929-189480/1401-1969 gi 27466918..301678..305229/1401-1969 gi 543200621 gb KF113502..1 /30-598 gi 138248515 gb EF173659..1 /119-687 reversJN190403/1-569	TAAGTGGATTAGTACAACCTAACATCACTGATCAAATAGATTATTGACAGCTGATGA TAAGTGGATTAGTACAACCTAACATCACTGATCAAATAGATTATTGACAGCTGATGA TAAGTGGATTAGTACAACCTAACATCACTGATCAAATAGATTATTGACAGCTGATGA TAAGTGGATTAGTACAACCTAACATCACTGATCAAATAGATTATTGACAGCTGATGA TAAGTGGATTAGTACAACCTAACATCACTGATCAAATAGATTATTGACAGCTGATGA *****
gi 543200617 gb KF113500..1 /30-598 gb CP000029..1 :185929-189480/1401-1969 gi 27466918..301678..305229/1401-1969 gi 543200621 gb KF113502..1 /30-598 gi 138248515 gb EF173659..1 /119-687 reversJN190403/1-569	AGAGGATAGTTAGCTAGTTGGTCAAGGCCTAACTGATGAAAAATTGGTGTTCCT AGAGGATAGTTAGCTAGTTGGTCAAGGCCTAACTGATGAAAAATTGGTGTTCCT AGAGGATAGTTAGCTAGTTGGTCAAGGCCTAACTGATGAAAAATTGGTGTTCCT AGAGGATAGTTAGCTAGTTGGTCAAGGCCTAACTGATGAAAAATTGGTGTTCCT AGAGGATAGTTAGCTAGTTGGTCAAGGCCTAACTGATGAAAAATTGGTGTTCCT *****
gi 543200617 gb KF113500..1 /30-598 gb CP000029..1 :185929-189480/1401-1969 gi 27466918..301678..305229/1401-1969 gi 543200621 gb KF113502..1 /30-598 gi 138248515 gb EF173659..1 /119-687 reversJN190403/1-569	AGATGATGAAAGTTGGTGTGGTAAATAACACTGTTATGGCTAAAGAAAAAT AGATGATGAAAGTTGGTGTGGTAAATAACACTGTTATGGCTAAAGAAAAAT AGATGATGAAAGTTGGTGTGGTAAATAACACTGTTATGGCTAAAGAAAAAT AGATGATGAAAGTTGGTGTGGTAAATAACACTGTTATGGCTAAAGAAAAAT AGATGATGAAAGTTGGTGTGGTAAATAACACTGTTATGGCTAAAGAAAAAT *****

gi 543200617 gb KF113500.1 /30-598	GGATTACATGGACGTATCACC AAAACAAGTTGTTT CAGCAGCACACGGATGTATTCCATT
gb CP000029.1 :185929-189480/1401-1969	GGATTACATGGACGTATCACC AAAACAAGTTGTTT CAGCAGCACACGGATGTATTCCATT
gi 27466918:301678-305229/1401-1969	GGATTACATGGACGTATCACC AAAACAAGTTGTTT CAGCAGCACACGGATGTATTCCATT
gi 543200621 gb KF113502.1 /30-598	GGATTACATGGACGTATCACC AAAACAAGTTGTTT CAGCAGCACACGGATGTATTCCATT
gi 138248515 gb EF173659.1 /119-687	GGATTACATGGACGTATCACC AAAACAAGTTGTTT CAGCAGCACACGGATGTATTCCATT
reversJN190403/1-569	GGATTACATGGACGTATCACC AAAACAAGTTGTTT CAGCAGCACACGGATGTATTCCATT
*****	*****
gi 543200617 gb KF113500.1 /30-598	CITAGAAAATGACGACTCTAACCGTGCGTTAAATGGGAGCAAACATGCAACGTCAAGCGGT
gb CP000029.1 :185929-189480/1401-1969	CITAGAAAATGACGACTCTAACCGTGCGTTAAATGGGAGCAAACATGCAACGTCAAGCGGT
gi 27466918:301678-305229/1401-1969	CITAGAAAATGACGACTCTAACCGTGCGTTAAATGGGAGCAAACATGCAACGTCAAGCGGT
gi 543200621 gb KF113502.1 /30-598	CITAGAAAATGACGACTCTAACCGTGCGTTAAATGGGAGCAAACATGCAACGTCAAGCGGT
gi 138248515 gb EF173659.1 /119-687	CITAGAAAATGACGACTCTAACCGTGCGTTAAATGGGAGCAAACATGCAACGTCAAGCGGT
reversJN190403/1-569	CITAGAAAATGACGACTCTAACCGTGCGTTAAATGGGAGCAAACATGCAACGTCAAGCGGT
*****	*****
gi 543200617 gb KF113500.1 /30-598	GCCCTTTAATGAATCCGGAAAGCTCCATTG
gb CP000029.1 :185929-189480/1401-1969	GCCCTTTAATGAATCCGGAAAGCTCCATTG
gi 27466918:301678-305229/1401-1969	GCCCTTTAATGAATCCGGAAAGCTCCATTG
gi 543200621 gb KF113502.1 /30-598	GCCCTTTAATGAATCCGGAAAGCTCCATTG
gi 138248515 gb EF173659.1 /119-687	GCCCTTTAATGAATCCGGAAAGCTCCATTG
reversJN190403/1-569	GCCCTTTAATGAATCCGGAAAGCTCCATTG
*****	*****
gi 371927098 gb JN593085.1 /1-669	ATCACACCTCAACAAATTAAATAATTCGACCTGTATTGCATCTTAAAGAAATTCTTT
gi 371927096 gb JN593084.1 /1-669	ATCACACCTCAACAAATTAAATAATTCGACCTGTATTGCATCTTAAAGAAATTCTTT
gi 49240382:590831-594382/1324-1992	ATCACACCTCAACAAATTAAATAATTCGACCTGTATTGCATCTTAAAGAAATTCTTT
gi 88193823:522160-525711/1324-1992	ATCACACCTCAACAAATTAAATAATTCGACCTGTATTGCATCTTAAAGAAATTCTTT
*****	*****
gi 371927098 gb JN593085.1 /1-669	GGTAGCTCTCAATTATCACAAATTCTGACCAAGCAACCCATTAGCTGAGTTAACGAAAT
gi 371927096 gb JN593084.1 /1-669	GGTAGCTCTCAATTATCACAAATTCTGACCAAGCAACCCATTAGCTGAGTTAACGAAAT
gi 49240382:590831-594382/1324-1992	GGTAGCTCTCAATTATCACAAATTCTGACCAAGCAACCCATTAGCTGAGTTAACGAAAT
gi 88193823:522160-525711/1324-1992	GGTAGCTCTCAATTATCACAAATTCTGACCAAGCAACCCATTAGCTGAGTTAACGAAAT
*****	*****
gi 371927098 gb JN593085.1 /1-669	AAACGTCTGCTATTAGCACATTAGGACCTGGTGGTAAACACGTGAACGTGCTCAAATGGAA
gi 371927096 gb JN593084.1 /1-669	AAACGTCTGCTATTAGCACATTAGGACCTGGTGGTAAACACGTGAACGTGCTCAAATGGAA
gi 49240382:590831-594382/1324-1992	AAACGTCTGCTATTAGCACATTAGGACCTGGTGGTAAACACGTGAACGTGCTCAAATGGAA
gi 88193823:522160-525711/1324-1992	AAACGTCTGCTATTAGCACATTAGGACCTGGTGGTAAACACGTGAACGTGCTCAAATGGAA
*****	*****

1.5.2 Staphylococcus aureus

88193823:522160-525711 Staphylococcus aureus subsp. aureus NCTC 8325 chromosome, complete genome

49240382:590831-594382 Staphylococcus aureus subsp. aureus strain MRS A252, complete genome

gi|371927098|gb|JN593085.1|/1-669
gi|371927096|gb|JN593084.1|/1-669
gi|49240382:590831-594382/1324-1992
gi|88193823:522160-525711/1324-1992

gi|371927098|gb|JN593085.1|/1-669
gi|371927096|gb|JN593084.1|/1-669
gi|49240382:590831-594382/1324-1992
gi|88193823:522160-525711/1324-1992

gi|371927098|gb|JN593085.1|/1-669
gi|371927096|gb|JN593084.1|/1-669
gi|49240382:590831-594382/1324-1992
gi|88193823:522160-525711/1324-1992

gi 371927098 gb JN593085.1 /1-669	GTACGTGACGGTTCACTACTCTCACTATGGCCGATGTGTCCAAATTGAAACACCTGAGGGA
gi 371927096 gb JN593084.1 /1-669	GTACGTGACGGTTCACTACTCTCACTATGGCCGATGTGTCCAAATTGAAACACCTGAGGGA
gi 49240382:590831-594382/1324-1992	GTACGTGACGGTTCACTACTCTCACTATGGCCGATGTGTCCAAATTGAAACACCTGAGGGA
gi 88193823:522160-525711/1324-1992	

gi 371927098 gb JN593085.1 /1-669	CCAACATGGATTGATGAACCTTCAAGTTATGCAGTGTAAATGAATTGGCCTT
gi 371927096 gb JN593084.1 /1-669	CCAACATGGATTGATGAACCTTCAAGTTATGCAGTGTAAATGAATTGGCCTT
gi 49240382:590831-594382/1324-1992	CCAACATGGATTGATTAACCTTCAAGTTATGCAGTGTAAATGAATTGGCCTT
gi 88193823:522160-525711/1324-1992	

gi 371927098 gb JN593085.1 /1-669	ATTTAACACCATATCGTAAAGTTGATTAGATCACATGCTATCATGTCATAAATGAC
gi 371927096 gb JN593084.1 /1-669	ATTTAACACCATATCGTAAAGTTGATTAGATCACATGCTATCATGTCATAAATGAC
gi 49240382:590831-594382/1324-1992	ATTTAACACCATATCGTAAAGTTGATTAGATCACATGCTATCATGTCATAAATGAC
gi 88193823:522160-525711/1324-1992	

gi 371927098 gb JN593085.1 /1-669	TATTTAACAGCTGACGAAGAGATAGCTATGTTAGACAAGAACCTAGATTAAGAT
gi 371927096 gb JN593084.1 /1-669	TATTTAACAGCTGACGAAGAGATAGCTATGTTAGACAAGAACCTAAATTAGAT
gi 49240382:590831-594382/1324-1992	TATTTAACAGCTGACGAAGAGATAGCTATGTTAGACAAGAACCTAAATTAGAT
gi 88193823:522160-525711/1324-1992	

gi 371927098 gb JN593085.1 /1-669	GAAAATGGCTTTCATGGATGTAAGTTGTTAGACAAGAACCTAGATTAAGTT
gi 371927096 gb JN593084.1 /1-669	GAAAATGGCTTTCATGGATGTAAGTTGTTAGACAAGAACCTAAATTAGTT
gi 49240382:590831-594382/1324-1992	GAAAATGGCTTTCATGGATGTAAGTTGTTAGACAAGAACCTAAATTAGTT
gi 88193823:522160-525711/1324-1992	

gi 371927098 gb JN593085.1 /1-669	ATGGCTAAAGAAAAATGGATTATATGATGTATGGCTTCCGGAAAGCAAGTTGGTTCAGAGCG
gi 371927096 gb JN593084.1 /1-669	ATGGCTAAAGAAAAATGGATTATATGATGTATGGCTTCCGGAAAGCAAGTTGGTTCAGAGCG
gi 49240382:590831-594382/1324-1992	ATGGCTAAAGAAAAATGGATTATATGATGTATGGCTTCCGGAAAGCAAGTTGGTTCAGAGCG
gi 88193823:522160-525711/1324-1992	

gi 371927098 gb JN593085.1 /1-669	ACAGCATGTTATCCATTCTTAGAAAATGATGACTCAAACCGTGCATTGTTGGTGGAAC
gi 371927096 gb JN593084.1 /1-669	ACAGCATGTTATCCATTCTTAGAAAATGATGACTCAAACCGTGCATTGTTGGTGGAAC
gi 49240382:590831-594382/1324-1992	ACAGCATGTTATCCATTCTTAGAAAATGATGACTCAAACCGTGCATTGTTGGTGGAAC
gi 88193823:522160-525711/1324-1992	

gi 371927098 gb JN593085.1 /1-669	ATGCAACGTCAAAGGAGTGCCTTGTAAATGCCAAAGGACCATTTGTTGGTACAGGTATG
gi 371927096 gb JN593084.1 /1-669	ATGCAACGTCAAAGGAGTGCCTTGTAAATGCCAAAGGACCATTTGTTGGTACAGGTATG
gi 49240382:590831-594382/1324-1992	ATGCAACGTCAAAGGAGTGCCTTGTAAATGCCAAAGGACCATTTGTTGGTACAGGTATG
gi 88193823:522160-525711/1324-1992	

1.5.3 Staphylococcus capitis.

gi 371927098 gb JN593085.1 /1-669	GAACACGT
gi 371927096 gb JN593084.1 /1-669	GAACACGT
gi 49240382 gb EF173664.1 /1324-1992	GAACACGT
gi 88193823 gb EF173664.1 /1324-1992	GAACACGT

gi 88193823 gb DQ120729.1 /1-485	AAACGTCGCTATCAGCATTAAGCACCTGGTGGTTAACACGTGAACGTGCTCAAAATGGAA
gi 138248525 gb EF173664.1 /162-646	AAACGTCGCTATCAGCATTAAGGGCCCTGGTGGTTAACCTCGTGAACGTGCTCAAAATGGAA

gi 88193823 gb DQ120729.1 /1-485	GTACGTGACGTTCACTACTCTCACTATGGCGTATGTGTCCAAATTGAAACACCTGAGGA
gi 138248525 gb EF173664.1 /162-646	GTACGTGACGTTCACTACTCACACTGGTGTATGTGTCCAAATTGAAACACCTGAGGA

gi 88193823 gb DQ120729.1 /1-485	GTACGTGACGTTCACTACTCACACTGGTGTATGTGTCCAAATTGAAACACCTGAGGA
gi 138248525 gb EF173664.1 /162-646	GTACGTGACGTTCACTACTCACACTGGTGTATGTGTCCAAATTGAAACACCTGAGGA

gi 88193823 gb DQ120729.1 /1-485	CCAAACATTGGATTGATAACTCATTAAGTTGACAGTGTAAATGAAATTGGCTTT
gi 138248525 gb EF173664.1 /162-646	CCAAATATTGGTTAATTAACTCTATTACAAGTTGCGGAGTAATGAAATTGGTTTC

gi 88193823 gb DQ120729.1 /1-485	CCAAATATTGGTTTAATTAACTCATTAAGTTGCGGAGTAATGAAATTGGTTTC
gi 138248525 gb EF173664.1 /162-646	CCAAATATTGGTTTAATTAACTCATTAAGTTGCGGAGTAATGAAATTGGTTTC

gi 88193823 gb DQ120729.1 /1-485	ATTGAAACACCATATCGTAAAGTTAGATACATGCTATCATGTCAAATGAC
gi 138248525 gb EF173664.1 /162-646	ATCGAGAACCCGTATCGTAAAGTTAGATACAGACTCTATTACAGATCAAATGAT

gi 88193823 gb DQ120729.1 /1-485	TACCTAACCTGCCTATCGTAAAGTTAGATACAGACTCTATTACAGATCAAATGAT
gi 138248525 gb EF173664.1 /162-646	ATCGAGAACCCGTATCGTAAAGTTAGATACAGACTCTATTACAGATCAAATGAT

gi 88193823 gb DQ120729.1 /1-485	TATTTAACAGCTGACGAAGAGATAGCTATGTTGAGACAAGCAAACCTAAATTAGAT
gi 138248525 gb EF173664.1 /162-646	TACCTAACCTGCCTATCGTAAAGTTAGATACAGACTCTATTACAGATCAAATGAT

gi 88193823 gb DQ120729.1 /1-485	GAAAATGGTCGTTCATGGATGATGAAGATTGTTATGCTGTTCCGTGTAACAATACAGTT
gi 138248525 gb EF173664.1 /162-646	GAAAATGGTCGTTCTTAGTGTGAGGTTGTTGTTGTTCCGTGTAATAACACAGTT

gi 88193823 gb DQ120729.1 /1-485	GAAAATGGTCGTTCTTAGTGTGAGGTTGTTGTTGTTCCGTGTAATAACACAGTT
gi 138248525 gb EF173664.1 /162-646	TACCTAACCTGCCTATCGTAAAGTTAGATACAGACTCTATTACAGATCAAATGAT

gi 88193823 gb DQ120729.1 /1-485	*****
gi 138248525 gb EF173664.1 /162-646	*****

gi 88193823 gb DQ120729.1 /1-485	ATGGCTAAAGAAAAATGGATTATATGGATGTATGCCAAGGCAAGTTGTTTCAGGAGCG
gi 138248525 gb EF173664.1 /162-646	ATGGCAAAAGAAAAATGGATTACATGGACGTATCACCTAAACAGTTGTTACAGAGCT

gi 88193823 gb DQ120729.1 /1-485	ACAGCATGTTACCTTCATGGTAAAGGATGACTCAAACCGTGATTGATGGTGGAAAC
gi 138248525 gb EF173664.1 /162-646	ACAGCATGTTACCTTCATGGTAAAGGATGACTCAAACCGTGATTGATGGTGGAAAC

1.5.4 Staphylococcus lugdunensis

reversAEQAO1000010.1|:32742-36296 Staphylococcus lugdunensis N23590
revers339893212:2393359-2396913 Staphylococcus lugdunensis N920143 complete genome

```
gi |193247964|emb|FM177467.1|/1-636          TCTATCACACCAACAATTAAATAATTAGCAGTTATGCAATTAAAGAAATTC
gi |17225229|gb|AF325870.1|/1216-1851        TCTATCACACCAACAATTAAATAATTAGCAGTTATGCAATTAAAGAAATTC
reversAEQAO1000010.1|:32742-36296/1321-1956   TCTATCACACCAACAATTAAATAATTAGCAGTTATGCAATTAAAGAAATTC
revers339893212:2393359-2396913/1321-1956    TCTATCACACCAACAATTAAATAATTAGCAGTTATGCAATTAAAGAAATTC
*****
```

```
gi |193247964|emb|FM177467.1|/1-636          TTTGGTAGTTCTCAATTACAAATTGACCAAAGCTAACCCATTAGCAGAATTAAACA
gi |17225229|gb|AF325870.1|/1216-1851        TTTGGTAGTTCTCAATTACAAATTGACCAAAGCTAACCCATTAGCAGAATTAAACA
reversAEQAO1000010.1|:32742-36296/1321-1956   TTTGGTAGTTCTCAATTACAAATTGACCAAAGCTAACCCATTAGCAGAATTAAACA
revers339893212:2393359-2396913/1321-1956    TTTGGTAGTTCTCAATTACAAATTGACCAAAGCTAACCCATTAGCAGAATTAAACA
*****
```

```
gi |193247964|emb|FM177467.1|/1-636          CACAAACGTGCGTTATCTCGTITAGGACCTGGGGTTAACGTGAACGTGCAAAATG
gi |17225229|gb|AF325870.1|/1216-1851        CACAAACGTGCGTTATCTCGTITAGGACCTGGGGTTAACGTGAACGTGCAAAATG
reversAEQAO1000010.1|:32742-36296/1321-1956   CACAAACGTGCGTTATCTCGTITAGGACCTGGGGTTAACGTGAACGTGCAAAATG
revers339893212:2393359-2396913/1321-1956    CACAAACGTGCGTTATCTCGTITAGGACCTGGGGTTAACGTGAACGTGCAAAATG
*****
```

```
gi |193247964|emb|FM177467.1|/1-636          GAAGTTCTGAGGTGCAATTCTCACTATGGCCGTATGTCGATTAAACGAGTTGGC
gi |17225229|gb|AF325870.1|/1216-1851        GAAGTTCTGAGGTGCAATTCTCACTATGGCCGTATGTCGATTAAACGAGTTGGC
reversAEQAO1000010.1|:32742-36296/1321-1956   GAAGTTCTGAGGTGCAATTCTCACTATGGCCGTATGTCGATTAAACGAGTTGGC
revers339893212:2393359-2396913/1321-1956    GAAGTTCTGAGGTGCAATTCTCACTATGGCCGTATGTCGATTAAACGAGTTGGC
*****
```

```
gi |193247964|emb|FM177467.1|/1-636          GGTCCAACACATTGGTTGATTAACCTATTACTAGTTGCGGTGTCACGAGTTGGC
gi |17225229|gb|AF325870.1|/1216-1851        GGTCCAACACATTGGTTGATTAACCTATTACTAGTTGCGGTGTCACGAGTTGGC
reversAEQAO1000010.1|:32742-36296/1321-1956   GGTCCAACACATTGGTTGATTAACCTATTACTAGTTGCGGTGTCACGAGTTGGC
revers339893212:2393359-2396913/1321-1956    GGTCCAACACATTGGTTGATTAACCTATTACTAGTTGCGGTGTCACGAGTTGGC
*****
```

```
gi |193247964|emb|FM177467.1|/1-636          TTTATTGAAAGCCCTTATGCTAAAGTAGATTGATACAAATGCCATTACAGATCAAATT
gi |17225229|gb|AF325870.1|/1216-1851        TTTATTGAAAGCCCTTATGCTAAAGTAGATTGATACAAATGCCATTACAGATCAAATT
reversAEQAO1000010.1|:32742-36296/1321-1956   TTTATTGAAAGCCCTTATGCTAAAGTAGATTGATACAAATGCCATTACAGATCAAATT
revers339893212:2393359-2396913/1321-1956    TTTATTGAAAGCCCTTATGCTAAAGTAGATTGATACAAATGCCATTACAGATCAAATT
*****
```

gi|193247964|emb|FM177467.1|/1-636
 GACTACTTAACTGCTGATGAAAGAACAGTTATGCGTTGCAAAAGCAGACTCTGCCTT
 GACTACTTAACTGCTGATGAAAGAACAGTTATGCGTTGCAAAAGCAGACTCTGCCTT
 GACTACTTAACTGCTGATGAAAGAACAGTTATGCGTTGCAAAAGCAGACTCTGCCTT

 reversAEQAO1000010.1|:AF325870.1|/1216-1851
 reversAEQAO1000010.1|:32742-36296/1321-1956
 revers339833212:2393359-2396913/1321-1956

gi|193247964|emb|FM177467.1|/1-636
 GATGAAAAATGGCTGTTCTAGATGAGTAGTAGATGCCGTTCCGGGTAATAACT
 GATGAAAAATGGCTGTTCTAGATGAGTAGTAGATGCCGTTCCGGGTAATAACT
 GATGAAAAATGGCTGTTCTAGATGAGTAGTAGATGCCGTTCCGGGTAATAACT
 GATGAAAAATGGCTGTTCTAGATGAGTAGTAGATGCCGTTCCGGGTAATAACT

 gi|193247964|emb|FM177467.1|/1-636
 GTTATGGCTAAGAAAAAAATGGACTACATGGATGATCTCTAAACAGTTGTTCAAGCT
 GTTATGGCTAAGAAAAAAATGGACTACATGGATGTTGTCCTAAACAGTTGTTCAAGCT
 GTTATGGCTAAGAAAAAAATGGACTACATGGATGTTGTCCTAAACAGTTGTTCAAGCT

 reversAEQAO1000010.1|:AF325870.1|/1216-1851
 reversAEQAO1000010.1|:32742-36296/1321-1956
 revers339833212:2393359-2396913/1321-1956

gi|193247964|emb|FM177467.1|/1-636
 GCGACAGCATGTATTCCATTCTTAGAGAACGATGACTCTAACCGTGCAATTGATGGGTGCA
 GCGACAGCATGTATTCCATTCTTAGAGAACGATGACTCTAACCGTGCAATTGATGGGTGCA
 GCGACAGCATGTATTCCATTCTTAGAGAACGATGACTCTAACCGTGCAATTGATGGGTGCA

 gi|193247964|emb|FM177467.1|/1-636
 AACATGCAACGCTAACGGAGTCGGTTGATGACCCGA
 AACATGCAACGCTAACGGAGTCGGTTGATGAAACCT
 AACATGCAACGCTAACGGAGTCGGTTGATGAAACCT
 AACATGCAACGCTAACGGAGTCGGTTGATGAAACCT

 reversAEQAO1000010.1|:AF325870.1|/1216-1851
 reversAEQAO1000010.1|:32742-36296/1321-1956
 revers339833212:2393359-2396913/1321-1956

gi|193247964|emb|FM177467.1|/1-636
 AHLD01000047.1|:25264-28815 Staphylococcus hominis SK119 contig00055
 AHLD01000047.1|:25156-28707 Staphylococcus hominis VCU122 contig00014
 gb|AHLD01000047.1|:25264-28815/1444-1928 AAAAGTCGCTCTTCTGGCTTGGACCTGGTTAACAGTGAACTGCAAAATGGAA
 gb|AHL P01000013.1|:25156-28707/1444-1928 AAAAGTCGCTCTTCTGGCTTGGACCTGGTTAACAGTGAACTGCAAAATGGAA
 gb|740999873|gb|DQ120738.1|/1-485 AAAAGTCGCTCTTCTGGCTTGGACCTGGTTAACAGTGAACTGCAAAATGGAA
 gb|543200651|gb|KF113517.1|/73-557 ****

gb|AHL D01000047.1|:25264-28815/1444-1928 GTTCGTGAGGTACACTATTCTACTATGGTCGATGTGTCCTAACATTGAAACACAGGGAA
 gb|AHL P01000013.1|:25156-28707/1444-1928 GTTCGTGAGGTACACTATTCTACTATGGTCGATGTGTCCTAACATTGAAACACAGGGAA
 gb|740999873|gb|DQ120738.1|/1-485 GTTCGTGAGGTACACTATTCTACTATGGTCGATGTGTCCTAACATTGAAACACAGGGAA
 gb|543200651|gb|KF113517.1|/73-557 ****

1.5.5 Staphylococcus hominis

ACLP01000013.1|:25156-28707 Staphylococcus hominis SK119 contig00055

AHL D01000047.1|:25264-28815 Staphylococcus hominis VCU122 contig00014

gb|AHL D01000047.1|:25264-28815/1444-1928 AAAAGTCGCTCTTCTGGCTTGGACCTGGTTAACAGTGAACTGCAAAATGGAA
 gb|AHL P01000013.1|:25156-28707/1444-1928 AAAAGTCGCTCTTCTGGCTTGGACCTGGTTAACAGTGAACTGCAAAATGGAA
 gb|740999873|gb|DQ120738.1|/1-485 AAAAGTCGCTCTTCTGGCTTGGACCTGGTTAACAGTGAACTGCAAAATGGAA
 gb|543200651|gb|KF113517.1|/73-557 ****

gb AHD01000047_1 :25264-28815/1444-1928	CCAAACATTGGTTAACTTAACTCATATCTAGTTATGACGTAAATGAAATTGGTTT
gb ACLP01000013_1 :25156-28707/1444-1928	CCAAACATTGGTTAACTCATATCTAGTTATGACGTAAATGAAATTGGTTT
gi 74099873 gb DQ120738_1 /1-485	CCAAACATTGGTTAACTCATATCTAGTTATGACGTAAATGAAATTGGTTT
gi 543200651 gb KF113517_1 /73-557	*****
gb AHD01000047_1 :25264-28815/1444-1928	ATCGAAACACCATATCGTAAGTAGATAATTGATACCAATTCAATTGAT
gb ACLP01000013_1 :25156-28707/1444-1928	ATCGAAACACCATATCGTAAGTAGATAATTGATACCAATTGATACCAATTGAT
gi 74099873 gb DQ120738_1 /1-485	ATCGAAACACCATATCGTAAGTAGATAATTGATACCAATTGATACCAATTGAT
gi 543200651 gb KF113517_1 /73-557	*****
gb AHD01000047_1 :25264-28815/1444-1928	TATTTAACCTGCTGATGAAGAGAGATACTGATGAGTTGACAAGCCAATTCTCGTTAGAT
gb ACLP01000013_1 :25156-28707/1444-1928	TATTTAACCTGCTGATGAAGAGAGATACTGATGAGTTGACAAGCCAATTCTCGTTAGAT
gi 74099873 gb DQ120738_1 /1-485	TATTTAACCTGCTGATGAAGAGAGATACTGATGAGTTGACAAGCCAATTCTCGTTAGAT
gi 543200651 gb KF113517_1 /73-557	*****
gb AHD01000047_1 :25264-28815/1444-1928	GAAAATGGCCTTCCTAGATGAAAGTTGGATGTCGTTCCGGTAACAAACTGTT
gb ACLP01000013_1 :25156-28707/1444-1928	GAAAATGGCCTTCCTAGATGAAAGTTGGATGTCGTTCCGGTAACAAACTGTT
gi 74099873 gb DQ120738_1 /1-485	GAAAATGGCCTTCCTAGATGAAAGTTGGATGTCGTTCCGGTAACAAACTGTT
gi 543200651 gb KF113517_1 /73-557	*****
gb AHD01000047_1 :25264-28815/1444-1928	ATGGAAAAAGAAAAATGGACTACATGGATGATCTCTAAACAAGTAGTATCAGCAGCG
gb ACLP01000013_1 :25156-28707/1444-1928	ATGGAAAAAGAAAAATGGACTACATGGATGATCTCTAAACAAGTAGTATCAGCAGCG
gi 74099873 gb DQ120738_1 /1-485	ATGGAAAAAGAAAAATGGACTACATGGATGATCTCTAAACAAGTAGTATCAGCAGCG
gi 543200651 gb KF113517_1 /73-557	*****
gb AHD01000047_1 :25264-28815/1444-1928	ACAGCTTGTATCCATTCTGGAAAACGATGACTCTAACCGTGCTTAATGGGTGCAAC
gb ACLP01000013_1 :25156-28707/1444-1928	ACAGCTTGTATCCATTCTGGAAAACGATGACTCTAACCGTGCTTAATGGGTGCAAC
gi 74099873 gb DQ120738_1 /1-485	ACAGCTTGTATCCATTCTGGAAAACGATGACTCTAACCGTGCTTAATGGGTGCAAC
gi 543200651 gb KF113517_1 /73-557	*****
gb AHD01000047_1 :25264-28815/1444-1928	ATGCA
gb ACLP01000013_1 :25156-28707/1444-1928	ATGCA
gi 74099873 gb DQ120738_1 /1-485	ATGCA
gi 543200651 gb KF113517_1 /73-557	*****

1.5.6 Staphylococcus haemolyticus.

68445725 : 2465778 - 2469329 Staphylococcus haemolyticus JCS1435 DNA, complete genome

gi 17225287 gb AF325899.1 /43-549	TTCAGTGTTCATCAATGGTACTGTTGACGTTGATGTTGACCCATTAAAGGACGGTT
gi 543200643 gb KF113513.1 /231-737	TTCCTGTTTCATCAATGGTACTGTTGACGTTGATGTTGACCCATTAAATGACGGTT
gi 17225265 gb AF325888.1 /1-507	TTCCTGTTTCATCAATGGTACTGCTGAGTTGACCCATTAAATGACGGTT
gi 68445725 : 2465778-2469329/1594-2100	*****
gi 17225287 gb AF325899.1 /43-549	AGAGTCATCGTTCAAGGAAATGGGATACTGCGAGCTGATACTACTTGTTAGG
gi 543200643 gb KF113513.1 /231-737	AGAGTCATCATTTCAAGGAAAGGAATACATGCCTGTCGAGCTGAAAACACTACTTGTTAGG
gi 17225265 gb AF325888.1 /1-507	AGAGTCATCATTTCAAGGAAAGGAATACATGCCTGTCGAGCTGAAAACACTACTTGTTAGG
gi 68445725 : 2465778-2469329/1594-2100	AGAGTCATCATTTCAAGGAAAGGAATACATGCCTGTCGAGCTGAAAACACTACTTGTTAGG
gi 17225287 gb AF325899.1 /43-549	*****
gi 543200643 gb KF113513.1 /231-737	AGATAGTCCATGTTGACGCCATTTCCTTTGACCCATTCTTAACCTACCGAAACG
gi 17225265 gb AF325888.1 /1-507	AGATAGTCCATGTTGACGCCATTTCCTTTGACCCATTCTTAACCTACCGAAACG
gi 68445725 : 2465778-2469329/1594-2100	AGATAGTCCATGTTGACGCCATTTCCTTTGACCCATTCTTAACCTACCGAAACG
gi 17225287 gb AF325899.1 /43-549	ACATACACTTCATCATCTAAGAACGGCCATTTCATCTAAGCAGAGTTCCGTTGGGC
gi 543200643 gb KF113513.1 /231-737	ACATAGACTTCATCATCTAAGAACGGCCATTTCATCTAAGCAGAGTTCCGTTGGGC
gi 17225265 gb AF325888.1 /1-507	ACATAGACTTCATCATCTAAGAACGGCCATTTCATCTAAGCAGAGTTCCGTTGGGC
gi 68445725 : 2465778-2469329/1594-2100	*****
gi 17225287 gb AF325899.1 /43-549	TACTACATAGCTGTCCTTCATCGCTTAAAGTAGTCGATTTGATCTGAAATAGAGTT
gi 543200643 gb KF113513.1 /231-737	AACTACATAGCTCATCTTCATCGCAGTTAAAGTAGTCGATTTGATCTGAAATAGAGTT
gi 17225265 gb AF325888.1 /1-507	AACTACATAGCTCATCTTCATCGCAGTTAAAGTAGTCGATTTGATCTGAAATAGAGTT
gi 68445725 : 2465778-2469329/1594-2100	AACTACATAGCTCATCTTCATCGCAGTTAAAGTAGTCGATTTGATCTGAAATAGAGTT
gi 17225287 gb AF325899.1 /43-549	AGTGTCTAAGTGTACTTTACGATGGTGTTCATGAAACCAAATCATTCAACGTC
gi 543200643 gb KF113513.1 /231-737	AGTGTCTAAGTGTACTTTACGATGGTGTTCATGAAACCAAATCATTCAACGTC
gi 17225265 gb AF325888.1 /1-507	AGTGTCTAAGTGTACTTTACGATGGTGTTCATGAAACCAAATCATTCAACGTC
gi 68445725 : 2465778-2469329/1594-2100	AGTGTCTAAGTGTACTTTACGATGGTGTTCATGAAACCAAATCATTCAACGTC
gi 17225287 gb AF325899.1 /43-549	ATAACTTGAAGTGTGATCAAACCAAATGTTGGTCCCCTGAGCTGATGGACA
gi 543200643 gb KF113513.1 /231-737	ATAACTTGAATGTGATCAAACCAAATGTTGGTCCCCTGAGCTGATGGACA
gi 17225265 gb AF325888.1 /1-507	ATAACTTGAATGTGATCAAACCAAATGTTGGTCCCCTGAGCTGATGGACA
gi 68445725 : 2465778-2469329/1594-2100	ATAACTTGAATGTGATCAAACCAAATGTTGGTCCCCTGAGCTGATGGACA
gi 17225287 gb AF325899.1 /43-549	*****
gi 543200643 gb KF113513.1 /231-737	CATAGTCCATAGTGTAGTAGTGAACGTCACGCCATTTCGAGCTGATGGACA
gi 17225265 gb AF325888.1 /1-507	CATAGACCCATAGTGTAGTAGTGAACGTCACGCCATTTCGAGCTGATGGACA
gi 68445725 : 2465778-2469329/1594-2100	CATAGACCCATAGTGTAGTAGTGAACGTCACGCCATTTCGAGCTGATGGACA

1.5.7 *Staphylococcus schleiferi*

revrersAF325886/3-487

gb|17225287|gb|AF325899.1|/43-549
gi|54320063|gb|KF113513.1|/231-737
gi|17225265|gb|AF325888.1|/1-507
gi|68445725|gb|2465778-2469329/1594-2100

AAACGCCAGGTCTAGCTTTAGGGCCTGGTGGCTTAACACGTTAACATGGAA

AAACGTCGTTTATCGCTTTAGGACCTGGTGGCTTAACACGTTAACATGGAA

AAACGTCGTTTATCGCTTTAGGACCTGGTGGCTTAACACGTTAACATGGAA

revrersAF325886/3-487

gb|174099891|gb|DQ120747.1|/1-485
gi|138248529|gb|EF173666.1|/162-646

GTTCGTGAACGTACACTATCTCACTATGGCGTATGTCGCCAACAGAGGGT

GTTCGTGAACGTACACTATCTCACTATGGCGTATGTCGCCAACAGAGGGT

GTTCGTGAACGTACACTATCTCACTATGGCGTATGTCGCCAACAGAGGGT

revrersAF325886/3-487

gb|174099891|gb|DQ120747.1|/1-485
gi|138248529|gb|EF173666.1|/162-646

CCAAACATGGTTGATCAACTCACTTCAAGTTGTCACGTTGTCGAATGAATTGGTTTC

CCAAACATGGTTGATCACTCACITCAAGTTGTCACGTTGTCGAATGAATTGGATT

CCAAACATGGTTGATCAACTCACITCAAGTTGTCACGTTGTCGAATGAATTGGATT

revrersAF325886/3-487

gb|174099891|gb|DQ120747.1|/1-485
gi|138248529|gb|EF173666.1|/162-646

ATTGAAAATCCATACAGAAAAGTAGACCTTGAACACAATTACAGACCGTATTGAT

ATTGAAAACACCATACAGAAAAGTAGACCTTGAACACAATTACAGACCGTATTGAT

ATTGAAAACACCATACAGAAAAGTAGACCTTGAACACAATTACAGACCGTATTGAT

revrersAF325886/3-487

gb|174099891|gb|DQ120747.1|/1-485
gi|138248529|gb|EF173666.1|/162-646

TACCTTACTGCGGATGAAAGAACAGTTGACGTTGCAAGGAACTCAAGACTTGAT

TACCTTACTGCGGATGAAAGAACAGTTGACGTTGCAAGGAACTCAAGACTTGAT

TACCTTACTGCGGATGAAAGAACAGTTGACGTTGCAAGGAACTCAAGACTTGAT

revrersAF325886/3-487

gb|174099891|gb|DQ120747.1|/1-485
gi|138248529|gb|EF173666.1|/162-646

GAAAACGGACGTTTATCGTATGACGAAATCGTTTCCGTTGTAACACAAACT

GAAAACGGACGCTTATCGTATGACGAAATCGTTTCCGTTGTAACACAAACT

GAAAACGGACGCTTATCGTATGACGAAATCGTTTCCGTTGTAACACAAACT

revrersAF325886/3-487

gb|174099891|gb|DQ120747.1|/1-485
gi|138248529|gb|EF173666.1|/162-646

ATGGCTAAGAAAAATGGACTACATGACGTTTGCCTAAACAGTTGTCAGTCGG

ATGGCTAAGAAAAATGGACTACATGACGTTTGCCTAAACAGTTGTCAGTCGG

ATGGCTAAGAAAAATGGACTACATGACGTTTGCCTAAACAGTTGTCAGTCGG

revrersAF325886/3-487

gb|174099891|gb|DQ120747.1|/1-485
gi|138248529|gb|EF173666.1|/162-646

ACAGCGATGTTCCGTTCTAGAAAAGTAGACTCTAACCGTGTATTGATGGGTGGAAAC

ACAGCGATGTTCCGTTCTAGAAAAGTAGACTCTAACCGTGTATTGATGGGTGGAAAC

ACAGCGATGTTCCGTTCTAGAAAAGTAGACTCTAACCGTGTATTGATGGGTGGAAAC

revrsAF325886/3-487
gi|74009891|gb|DQ120747.1|/1-485
gi|1318248529|gb|EF173666.1|/162-646
ATGCA
ATGCA

1.6 VEDLEGG 6 - PRIMERE OG PROBE FOR RPOB

Alignment av stafylokokker *rpoB* med primere og TaqMan-probe

S. epidermidis: 27466918:301678-305229 *Staphylococcus epidermidis* ATCC 12228
S. aureus: 88193823:522160-525711 *Staphylococcus aureus* subsp. *aureus* NCTC 8325 chromosome, complete genome
S. lugdunensis: revers339893212:2393359-2396913 *Staphylococcus lugdunensis* N920143 complete genome
S. hominis: AHL01000047.1:[25264-28815] *Staphylococcus hominis* VCU122 contig00014
S. haemolyticus: 68445725:2465778-2469329 *Staphylococcus haemolyticus* JCS1435 DNA, complete genome

CLUSTAL O(1.2.1) multiple sequence alignment

EPIDERMIDIS1 gi 138248515 gb EF173659.1 /171-646	GAAAAAAATGGATTACATGGACGTATCACCAAAACAAAGTTGTTTCAGCAGAACAGCATGT	420
EPIDERMIDIS2 gi 27466918:301678-305229/1453-1928	GAAAAAAATGGATTACATGGACGTATCACCAAAACAAAGTTGTTTCAGCAGAACAGCATGT	420
SCHLEIFERIGI 74099891 gb DQ120747.1 /10-485	GAAAAAAATGGACTACATGGACGTATCGCCTAAACAAAGTTGTTTCAGCTGCGACAGCATGT	420
AUREUS gi 88193823:522160-525711/1453-1928	GAAAAAAATGGATTATGGATGTATGCCGAAGCAAAGTTGTTTCAGCAGGCACAGCATGT	420
HAEMOLYTICUSreversigi 68445725:2465778-2469329/1594-2069	GAGAAAAATGGACTACATGGACGTATCTCTAAACAAAGTTAGTTCAAGCTGCGACAGCATGT	420
CAPITIS gi 74099855 gb DQ120729.1 /10-485	GAAAAAAATGGATTACATGGACGTATCACCTAAACAAAGTTGTATCAGCAGCTACAGCATGT	420
LUGDISrevers gi 339893212:2393359-2396913/1453-1928	GAAAAAAATGGACTACATGGATGTCTCCCTAAACAAAGTTGTTTCAGCTGCGACAGCATGT	420
HOMINISgb AHLD01000047.1 :25264-28815/1453-1928	GAAAAAAATGGACTACATGGATGTATCTCCTAAACAAAGTAGTATCAGCAGGCACAGCTGT	420
	*** *	
EPIDERMIDIS1 gi 138248515 gb EF173659.1 /171-646	ATTC CATTCTTAGAAAATGACGACTTAACCGTGC GTTAATGGGAGCAAACATGCA	476
EPIDERMIDIS2 gi 27466918:301678-305229/1453-1928	ATTC CATTCTTAGAAAATGACGACTTAACCGTGC GTTAATGGGAGCAAACATGCA	476
SCHLEIFERIGI 74099891 gb DQ120747.1 /10-485	ATTC CATTCTTAGAAAATGACGACTTAACCGTGC GTTAATGGGAGCAAACATGCA	476
AUREUS gi 88193823:522160-525711/1453-1928	ATTC CATTCTTAGAAAATGACGACTTAACCGTGC GTTAATGGGAGCAAACATGCA	476
HAEMOLYTICUSreversigi 68445725:2465778-2469329/1594-2069	ATTC CTTCTTGAAAATGACGACTTAACCGTGC GTTAATGGGAGCAAACATGCA	476
CAPITIS gi 74099855 gb DQ120729.1 /10-485	ATTC CATTCTTAGAAAATGACGACTTAACCGTGC GTTAATGGGAGCAAACATGCA	476
LUGDISrevers gi 339893212:2393359-2396913/1453-1928	ATTC CATTCTTAGAAAATGACGACTTAACCGTGC GTTAATGGGAGCAAACATGCA	476
HOMINISgb AHLD01000047.1 :25264-28815/1453-1928	ATTC CATTCTTAGAAAATGACGACTTAACCGTGC GTTAATGGGAGCAAACATGCA	476
	***** *	

1.7 VEDLEGG 7 - ALIGNMENT AV ALLE STAFYLOKOKKER FOR SODA

Alignment av soda i clustal Omega

1.7.1 Staphylococcus epidermidis.

CP000029.1|:1158272-1158871 Staphylococcus epidermidis RP62A, complete genome reverse.
 896456876:49354-49953 Staphylococcus epidermidis strain 801_SEPI_279_149622_6299847, whole genome shotgun sequence

gi 18378720 gb AF462457.1 /181-609	CACATCGATAAGAAAATGAGATTACCATGATAAACACATTTATGTAAACA	
gi 896456876:49354-49953/52-480	CACATCGACAAAACAACTATGGAAATTCACTGACAACATCATAAACACATATGT TACA	
RP62Arevers 52-480	CACATCGACAAAACAACTATGGAAATTCACTGACAACATCATAAACACATATGT TACA	
gi 15825380 gb AF410177.1 /306-734	CACATCGACAAAACAACTATGGAAATTCACTGACAACATCATAAACACATATGT TACA	
gi 18077071 emb AJ343947.1 /1-429	CACATCGACAAAACAACTATGGAAATTCACTGACAACATCATAAACACATATGT TACA	
gi 18077069 emb AJ343946.1 /1-429	CACATCGACAAAACAACTATGGAAATTCACTGACAACATCATAAACACATATGT TACA	
gi 1984043227 gb EU6522774.1 /4-432	CACATCGACAAAACAACTATGGAAATTCACTGACAACATCATAAACACATATGT TACA	
gi 18076995 emb AJ343906.1 /1-429	CACATCGACAAAACAACTATGGAAATTCACTGACAACATCATAAACACATATGT TACA	
gi 18077073 emb AJ343948.1 /1-429	CACATCGACAAAACAACTATGGAAATTCACTGACAACATCATAAACACATATGT TACA	
	***** *	

1.7.2 *Staphylococcus hominis*

Jerner ACP01000030_1 | 176657-177259 Staphylococcus hominis SK119, siden den er så ulik.

gi|18077005|emb|AJ343911.1
gi|18077007|emb|AJ343912.1
gi|484267108|172788-173390

CATATGCAC
CATATGCAC
ATGGCTTTGAAATTACCAAAATTACCATATGAGCAGATGCATTAGAACACATGAC

AAAGAAAACATTGGAAATTATCATATGACAACATCAACACTTATGTACAAATAAAC
AAAGAAAACATTGGAAATTATCATATGACAACATCAACACTTATGTACAAATAAAC
AAAGAAAACATTGGAAATTATCATATGACAACATCAACACTTATGTACAAATAAAC

gi|18077005|emb|A]343911.1| TCTGAGTTGAAGGTACTGATTAGAACATCTAAATCAATTGAAGAAATTGTGCAAATTAA
gi|18077007|emb|A]343912.1| TCTGAGTTGAAGGTACTGATTAGAACATCTAAATCAATTGAAGAAATTGTGCAAATTAA
gi|484267108:172788-173390 TCTGAGTTGAAGGTACTGATTAGAACATCTAAATCAATTGAAGAAATTGTGCAAATTAA

gi|18077005|emb|A]343911.1| GATAGTGTACTGAAACACGGAGTACGTAATAATGGTGGAGGTCAATTAAAT
gi|18077007|emb|A]343912.1| GATAGTGTACCTGAAAATTCACAGAGTAGCTAAATGGTGGAGGTCAATTAAAT
gi|484267108:172788-173390 GATAGTGTACCTGAAAATTCACAGAGTAGCTAAATGGTGGAGGTCAATTAAAT

gi|18077005|emb|A]343911.1| CACTCATTATTCTGGAAATTAAACTCCATTCTGAAGAAAAAGGACTGTAGTTGAT
gi|18077007|emb|A]343912.1| CACTCATTATTCTGGAAATTAAACTCCATTCTGAAGAAAAAGGACTGTAGTTGAT
gi|484267108:172788-173390 CACTCATTATTCTGGAAATTAAACTCCATTCTGAAGAAAAAGGACTGTAGTTGAT

gi|18077005|emb|A]343911.1| AAAATTAAAAGAACAAATGGGGTTCTTAGATGAGTTAAAAAGAACATTCTGTAAAAGCT
gi|18077007|emb|A]343912.1| AAAATTAAAAGAACAAATGGGGTTCTTAGATGAGTTAAAAAGAACATTCTGTAAAAGCT
gi|484267108:172788-173390 AAAATTAAAAGAACAAATGGGGTTCTTAGATGAGTTAAAAAGAACATTCTGTAAAAGCT

gi|18077005|emb|A]343911.1| GCAGCACGTTTGGTTAGGTTGGGCTTGGTTAGTAAATAATGGAAAATTAGAAATT
gi|18077007|emb|A]343912.1| GCAGCACGTTTGGTTAGGTTGGGCTTGGTTAGTAAATAATGGAAAATTAGAAATT
gi|484267108:172788-173390 GCAGCACGTTTGGTTAGGTTGGGCTTGGTTAGTAAATAATGGAAAATTAGAAATT

gi|18077005|emb|A]343911.1| GTTACTACTCCAATCAAGATAACCCATTAACTGAAAGAAAACCTCCAAATTAGGCTTA
gi|18077007|emb|A]343912.1| GTTACTACTCCAATCAAGATAACCCATTAACTGAAAGAAAACCTCCAAATTAGGCTTA
gi|484267108:172788-173390 GTTACTACTCCAATCAAGATAACCCATTAACTGAAAGAAAACCTCCAAATTAGGCTTA

gi|18077005|emb|A]343911.1| GATGTTGGAACATGCTTATTACCTTAAATATCAAAATAACGCTTGATTATCAGT
gi|18077007|emb|A]343912.1| GATGTTGGAACATGCTTATTACCTTAAATATCAAAATAACGCTTGATTATCAGT
gi|484267108:172788-173390 GATGTTGGAACATGCTTATTACCTTAAATATCAAAATAACGCTTGATTATCAGT

gi|18077005|emb|A]343911.1| -----
gi|18077007|emb|A]343912.1| -----
gi|484267108:172788-173390 GCTTCTGGAAATTGGAAAAAGTAGACGAGTTATACAATTGTGCTACAAAA
TAA

1.7.3 *Staphylococcus haemolyticus*

JCSC1435 DNA, complete genome
CP011116.1 [1317379-1317978] *Staphylococcus haemolyticus* strain Sh29_312/L2, complete genome

gi|68445725:1397018-1397548
 gi|198404329|gb|EU652775.1|
 gi|18077003|emb|AJ343910.1|
 gb|CP011116.1|:1317379-1317978

gi|68445725:1397018-1397548
 gi|198404329|gb|EU652775.1|
 gi|18077003|emb|AJ343910.1|
 gb|CP011116.1|:1317379-1317978

1.7.4 Staphylococcus capitis.

FJERNER 836648963:888112-888711 Staphylococcus capitis subsp. capitis strain AYP1020, complete genome fordin den er helt ulik.

gi 18077059 emb AJ343941.1	CACATTGATAAAACAACTATGGAAAATTACCATGCAAAACCCATAACACAATATGTAAC
gi 18076975 emb AJ343896.1	CACATTGATAAAACAACTATGGAAAATTACCATGCAAAACCCATAACACAATATGTAAC
gi 18077057 emb AJ343940.1	CACATTGATAAAACAACTATGGAAAATTACCATGCAAAACCCATAACACAATATGTAAC

gi 18077059 emb AJ343941.1	AAATTAACACTCAGCAGTTGAAGGAACAGATTAGAAGCTAAATCAATCGAAGAAATTGTT
gi 18076975 emb AJ343896.1	AAATTAACACTCAGCAGTTGAAGGAACAGATTAGAAGCTAAATCAATCGAAGAAATTGTT
gi 18077057 emb AJ343940.1	AAATTAACACTCAGCAGTTGAAGGAACAGATTAGAAGCTAAATCAATCGAAGAAATTGTT

gi 18077059 emb AJ343941.1	GCTAATTAGATAGGTACCTTCAGATATTCAAACCTGCAGTAGTAAATGGTGGGGT
gi 18076975 emb AJ343896.1	GCTAATTAGATAGGTACCTTCAGATATTCAAACCTGCAGTAGTAAATGGTGGGGT
gi 18077057 emb AJ343940.1	GCTAATTAGATAGGTACCTTCAGATATTCAAACCTGCAGTAGTAAATGGTGGGGT

gi 18077059 emb AJ343941.1	CACTTAACCACTCATATTCTGGAAATTATTATCACCAAATTCTGAAGAAAAGGTGAA
gi 18076975 emb AJ343896.1	CACTTAACCACTCATATTCTGGAAATTATTATCACCAAATTCTGAAGAAAAGGTGAA
gi 18077057 emb AJ343940.1	CACTTAACCACTCATATTCTGGAAATTATTATCACCAAATTCTGAAGAAAAGGTGAA

gi 18077059 emb AJ343941.1	GTAGTAGACAAAATTAAAGAACAAATTAAAGAACAAATTAAAGAACAAATTAAAGAAC
gi 18076975 emb AJ343896.1	GTAGTAGACAAAATTAAAGAACAAATTAAAGAACAAATTAAAGAACAAATTAAAGAAC
gi 18077057 emb AJ343940.1	GTAGTAGACAAAATTAAAGAACAAATTAAAGAACAAATTAAAGAACAAATTAAAGAAC

gi 18077059 emb AJ343941.1	GATAAAGCTGCTGACGCTTGGATCTGGGGCATGGTTAGTAAATAACGGTCAA
gi 18076975 emb AJ343896.1	GATAAAGCTGCTGACGCTTGGATCTGGGGCATGGTTAGTAAATAACGGTCAA
gi 18077057 emb AJ343940.1	GATAAAGCTGCTGACGCTTGGATCTGGGGCATGGTTAGTAAATAACGGTCAA

gi 18077059 emb AJ343941.1	TTAGAAATCGTTACTACTCCAAACCAAAGATAACCCATTAACTGAAGGTAACCTCCAAATC
gi 18076975 emb AJ343896.1	TTAGAAATCGTTACTCTCCAAACCAAAGATAACCCATTAACTGAAGGTAACCTCCAAATC
gi 18077057 emb AJ343940.1	TTAGAAATCGTTACTCTCCAAACCAAAGATAACCCATTAACTGAAGGTAACCTCCAAATC

gi 18077059 emb AJ343941.1	TTAGGTTTA
gi 18076975 emb AJ343896.1	TTAGGTTTA
gi 18077057 emb AJ343940.1	TTAGGTTTA

1.7.5 *Staphylococcus lugdunensis*

319430684:266230-266832 *Staphylococcus lugdunensis* M23590 genomic scaffold SCAFFOLD1, whole genome shotgun sequence
 418635264:11711-12313 *Staphylococcus lugdunensis* VCU139 contig0016, whole genome shotgun sequence
 gi | 319430684:266230-266832 ATGGCTTTGAATTACCAAAATTACCATATGAAGCAGATGATTAGAACACATATTGAT
 gi | 18077081 | emb | AJ343952.1 | -----CATATTGAT
 gi | 18077017 | emb | AJ343917.1 | -----CATATTGAT
 gi | 418635264:11711-12313 ATGGCTTTGAATTACCAAAATTACCATATGAAGCAGATGATTAGAACACATATTGAT

gi | 319430684:266230-266832 AAAGAAACAATGGAAATCCATCATGATAAACACCATATAACGTTAATGTGACTAAATTAAAT
 gi | 18077081 | emb | AJ343952.1 | AAAGAACCAATGGAAATCCATCATGATAAACACCATATAACGTTAATGTGACTAAATTAAAT
 gi | 18077017 | emb | AJ343917.1 | AAAGAACAAATGGAAATCCATCATGATAAACACCATATAACGTTAATGTGACTAAATTAAAT
 gi | 418635264:11711-12313 AAAGAAACAATGGAAATCCATCATGATAAACACCATATAACGTTAATGTGACTAAATTAAAT

gi | 319430684:266230-266832 TCTGCAGTTGAAGGTACAGACTTGAAGCTTAATCTATTGAGGAATTATGGCTAATTTA
 gi | 18077081 | emb | AJ343952.1 | TCTGCAGTTGAAGGTACAGACTTGAAGCTTAATCTATTGAGGAATTATGGCAATTAA
 gi | 18077017 | emb | AJ343917.1 | TCTGCAGTTGAAGGTACAGACTTGAAGCTTAATCTATTGAGGAATTATGGCAATTAA
 gi | 418635264:11711-12313 TCTGCAGTTGAAGGTACAGACTTGAAGCTTAATCTATTGAGGAATTATGGCAATTAA

gi | 319430684:266230-266832 GATAGCGTTCTGAAAAACATCAAACAGCTGTACGTTAAATGGGGACACTTAAAC
 gi | 18077081 | emb | AJ343952.1 | GATAGCGTTCTGAAAAACATCAAACAGCTGTACGTTAAATGGGGACACTTAAAC
 gi | 18077017 | emb | AJ343917.1 | GATAGCGTTCTGAAAAACATCAAACAGCTGTACGTTAAATGGGGACACTTAAAC
 gi | 418635264:11711-12313 GATAGCGTTCTGAAAAACATCAAACAGCTGTACGTTAAATGGGGACACTTAAAC

gi | 319430684:266230-266832 CATTCACTATTCTGGGAATTTCACCTCTAACTCTCTAAATTCGCTGACAAAGCT
 gi | 18077081 | emb | AJ343952.1 | CATTCACTATTCTGGGAATTTCACCTCTAACTCTCTAAATTCGCTGACAAAGCT
 gi | 18077017 | emb | AJ343917.1 | CATTCACTATTCTGGGAATTTCACCTCTAAATTCGCTGACAAAGCT
 gi | 418635264:11711-12313 CATTCACTATTCTGGGAATTTCACCTCTAAATTCGCTGACAAAGCT

gi | 319430684:266230-266832 AAAATTAAAGAACAACTGGGGTTCTTATGAAATTCAAGAAAGAAATTCGCTGACAAAGCT
 gi | 18077081 | emb | AJ343952.1 | AAAATTAAAGAACAACTGGGGTTCTTATGAAATTCAAGAAAGAAATTCGCTGACAAAGCT
 gi | 18077017 | emb | AJ343917.1 | AAAATTAAAGAACAACTGGGGTTCTTATGAAATTCAAGAAAGAAATTCGCTGACAAAGCT
 gi | 418635264:11711-12313 *****

gi | 319430684:2666230-2666832
 gi | 18077081|emb| AJ343952.1|
 gi | 18077017|emb| AJ343917.1|
 gi | 418635264:11711-12313

gi | 319430684:2666230-2666832
 gi | 18077081|emb| AJ343952.1|
 gi | 18077017|emb| AJ343917.1|
 gi | 418635264:11711-12313

gi | 18077037|emb| AJ343927.1|
 gi | 296045629|gb| GU930729.1|
 gi | 18077087|emb| AJ343955.1|
 gi | 18077035|emb| AJ343926.1|

gi | 18077037|emb| AJ343927.1|
 gi | 296045629|gb| GU930729.1|
 gi | 18077087|emb| AJ343955.1|
 gi | 18077035|emb| AJ343926.1|

gi | 18077037|emb| AJ343927.1|
 gi | 296045629|gb| GU930729.1|
 gi | 18077087|emb| AJ343955.1|
 gi | 18077035|emb| AJ343926.1|

gi | 18077037|emb| AJ343927.1|
 gi | 296045629|gb| GU930729.1|
 gi | 18077087|emb| AJ343955.1|
 gi | 18077035|emb| AJ343926.1|

gi | 18077037|emb| AJ343927.1|
 gi | 296045629|gb| GU930729.1|
 gi | 18077087|emb| AJ343955.1|
 gi | 18077035|emb| AJ343926.1|

gi | 18077037|emb| AJ343927.1|
 gi | 296045629|gb| GU930729.1|
 gi | 18077087|emb| AJ343955.1|
 gi | 18077035|emb| AJ343926.1|

GTACAAGCCCTAACCAAGAACACCCATTAACCTGAGGGAAAAACACCTATCTTATGTATA
 GTTACAACGCCCTAACCAAGAACACCCATTAACCTGAGGGAAAAACACCTATCTTATGTATA
 GTTACAACGCCCTAACCAAGAACACCCATTAACCTGAGGGAAAAACACCTATCTTATGTATA
 GTTACAACGCCCTAACCAAGAACACCCATTAACCTGAGGGAAAAACACCTATCTTATGTATA

-CACATTGATAAAAGAACAAATGGTGCATACATGACAAACATCATGACAAACATCATGATGTAAAC
 -CACATTGACAAGAACAAATGGTGCATACATGACAAACATCATGACAAACATCATGATGTAAAC
 -CACATTGACAAGAACAAATGGTGCATACATGACAAACATCATGACAAACATCATGATGTAAAC
 -CACATTGACAAGAACAAATGGTGCATACATGACAAACATCATGACAAACATCATGATGTAAAC

 AAAGTTAACGCAGCAGTTGAAGGTCAGAGTTGAAGGTCAGATTTAGAAGATAAAATCTATTGAAAGTTAAAT
 AAAGTTAACGCAGCAGTTGAAGGTCAGATTTGAAGGATAAAATCTATTGAAAGTTAAAT
 AAAGTTAACGCAGCAGTTGAAGGTCAGATTTGAAGGATAAAATCTATTGAAAGTTAAAT
 AAAGTTAACGCAGCAGTTGAAGGTCAGATTTGAAGGATAAAATCTATTGAAAGTTAAAT

TGCTAAATTAGACAGTTGACTGAAAGATAAACTGAGTTCTGCTAAATTAGTGGTGG
 TGCTAAATTAGACAGTTGACTGAAAGATAAACTGAGTTCTGCTAAATTAGTGGTGG
 TGCTAAATTAGACAGTTGACTGAAAGATAAACTGAGTTCTGCTAAATTAGTGGTGG

 ACACCTAAACCACTCATTTCTGGCAAATTATTCACCTAACTCAGAAAGAAAAGTGA
 ACACCTAAACCACTCATTTCTGGCAAATTATTCACCTAACTCAGAAAGAAAAGTGA
 ACACCTAAACCACTCATTTCTGGCAAATTATTCACCTAACTCAGAAAGAAAAGTGA
 ACACCTAAACCACTCATTTCTGGCAAATTATTCACCTAACTCAGAAAGAAAAGTGA

AGTTGTAAGATAAAATTAAAGAACAAATTGGGTTCTTTAGATGCATTCAAAAGAATTGCG
 AGTTGTAAGATAAAATTAAAGAACAAATTGGGTTCTTTAGATGCATTCAAAAGAATTGCG
 AGTTGTAAGATAAAATTAAAGAACAAATTGGGTTCTTTAGATGCATTCAAAAGAATTGCG

 TGAAAAGCTGCAGGTCAAATTGGGTTAGGTAGTGAATAATGGTCA
 TGATAAAGCTGCAGGTCAAATTGGGTTAGGTAGTGAATAATGGTCA
 TGATAAAGCTGCAGGTCAAATTGGGTTAGGTAGTGAATAATGGTCA
 TGATAAAGCTGCAGGTCAAATTGGGTTAGGTAGTGAATAATGGTCA

gi 18077037 emb AJ343927.1	ATTAGAAAATGTAACGACTCTAACCAAGATAGTCACCTTACTAACTGCCAAACTCCAAAT		TTTAAACTTA
gi 296045629 gb GU930729.1	ATTAGAAAATGTAACGACTCTAACCAAGATAGTCACCTTACTAACTGCCAAACTCCAAAT		TTTAAACT--
gi 18077087 emb AJ343955.1	ATTAGAAAATGTAACGACTCTAACCAAGATAGTCACCTTACTAACTGCCAAACTCCAAAT		
gi 18077035 emb AJ343926.1	ATTAGAAAATGTAACGACTCTAACCAAGATAGTCACCTTACTAACTGCCAAACTCCAAAT		
	*****	*****	

1.7.7 *Staphylococcus aureus*:

Snudd: 88193823; 1567139-1567738 mangano Stanhopeococcus aureus subsp aureus NCTC 8325 chromosome: complete

snudd,				
gi 198404325 gb EU652773.1				
gi 40287249 gb AY485192.1				
gi 238836469 gb GQ141074.1				
				*
AAAGAAAACATATTGAAAATTACCAATTACCAATGAGAGACATCATAACACGTATGTTACGAAATTAAAT				
CAAAGAACATGGAGTTCACTACGACAACATCACAACTACGTACGTGACGAAATTAAAC				
CAAAGAACATGGAGTTCACTACGACAACATCACAACTACGTACGTGACGAAATTAAAC				
CAAAGAACAACTGGAGTTCACTACGATAAACATCATTAACTTACGTACGTGACGAAATTAAAC				
				*
GCTGCAGTAGAAGGGTACAGATTAGAATCTTAATCTTACGAAATTGTTGCTAATTAA				
GCAACAGTGTGAAGGAAACAGAGTTAGAGCATTACATCACTACGTGCGATATGATTGCTAACTTA				
GCAACAGTGTGAAGGAAACAGAGTTAGAGCATTACATCACTACGTGCGATATGATTGCTAACTTA				
GCAACAGTGTGAAGGAAACAGAGTTAGAGCATTACATCACTACGTGCGATATGATTGCTAACTTA				
				*
GACAGTGTACCGCTAACATCCAAAACCTGGTGTACGTAATAATGGGGGGGACATTAAAC				
GACAGGTTACGGAAAGGGATGAGGATGTGAAGTCCTGTAATAATGGGGGGGTCATTAAAC				
GACAAGGTACGGAAAGGGATGAGGATGTGAAGTCCTGTAATAATGGGGGGGTCATTAAAC				
GACAAGGTACGGAAAGGGATGAGGATGTGAAGTCCTGTAATAATGGGGGGGTCATTAAAC				
				*
CATTCAATTCTCTGGGAGTTACTTCAACAAACTCAGAAGAAAAAGGTACTGTAGTAGAA				
CATTCAATTCTCTGGGAAATTACTATCACCTAATTCTGAAGAAAAAGGTGGCTAATAGAT				
CATTCAATTCTCTGGGAAATTACTTTCACCTAATTCTGAAGAAAAAGGTGGCTAATAGAT				
CATTCAATTCTCTGGGAAATTACTTTCACCTAATTCTGAAGAAAAAGGTGGCTAATAGAT				
				*

1.8 VEDLEGG 8 – PRIMERE OG PROBE FOR SODA

S. epidermidis: EU652774.1 | /4-432
S. haemolyticus: EU652775
S. hominis: AJ343912

1.9 VEDLEGG 9 – ALIGNMENT AV ALLE STAFYLOKKER FOR TUF

Alignment I Clustal Omega av *tuf*

1.9.1 *Staphylococcus epidermidis*

Alle sekvensene er helt like

gi	311990477	gb	HM627887.1	/229-580	CAATCACTGGTCGGTACTGTGTCAGGGGTGTGAACTGGTGTGAAATCAAAGTTG
gi	296142292	gb	HM0322775.1	/201-552	CAATCACTGGTCGGTACTGTGTCAGGGCGTGTGAACTGGTGTGAAATCAAAGTTG
gi	296142294	gb	HM0322776.1	/231-582	CAATCACTGGTCGGTACTGTGTCAGGGCGTGTGAACTGGTGTGAAATCAAAGTTG
gi	690375753	gb	KM103747.1	/242-593	CAATCACTGGTCGGTACTGTGTCAGGGCGTGTGAACTGGTGTGAAATCAAAGTTG
gi	30783652	gb	HM352922.1	/245-596	CAATCACTGGTCGGTACTGTGTCAGGGCGTGTGAACTGGTGTGAAATCAAAGTTG
gi	190335296	gb	EU571075.1	/1-352	CAATCACTGGTCGGTACTGTGTCAGGGCGTGTGAACTGGTGTGAAATCAAAGTTG
gi	190335294	gb	EU571074.1	/1-352	CAATCACTGGTCGGTACTGTGTCAGGGCGTGTGAACTGGTGTGAAATCAAAGTTG
gi	190335244	gb	EU571049.1	/1-352	CAATCACTGGTCGGTACTGTGTCAGGGCGTGTGAACTGGTGTGAAATCAAAGTTG
gi	190335142	gb	EU570998.1	/1-352	CAATCACTGGTCGGTACTGTGTCAGGGCGTGTGAACTGGTGTGAAATCAAAGTTG
gi	190335214	gb	EU571034.1	/1-352	CAATCACTGGTCGGTACTGTGTCAGGGCGTGTGAACTGGTGTGAAATCAAAGTTG
gi	190335138	gb	EU570996.1	/1-352	CAATCACTGGTCGGTACTGTGTCAGGGCGTGTGAACTGGTGTGAAATCAAAGTTG
gi	11612443	gb	JF274740.1	/360-711	CAATCACTGGTCGGTACTGTGTCAGGGCGTGTGAACTGGTGTGAAATCAAAGTTG
gi	294960094	gb	GU968757.1	/274-625	CAATCACTGGTCGGTACTGTGTCAGGGCGTGTGAACTGGTGTGAAATCAAAGTTG

gi 311990477 gb HM627887.1 /229-580	GTGAAAGAAGTTGAAATCATGGTATGCACGAAACCTCTAAAACAACTTGTTACTGGTAG
gi 296142292 gb HM0322775.1 /201-552	GTGAAAGAAGTTGAAATCATGGTATGCACGAAACCTCTAAAACAACTTGTTACTGGTAG
gi 296142294 gb HM0322776.1 /231-582	GTGAAAGAAGTTGAAATCATGGTATGCACGAAACCTCTAAAACAACTTGTTACTGGTAG
gi 690375753 gb KM103747.1 /242-593	GTGAAAGAAGTTGAAATCATGGTATGCACGAAACCTCTAAAACAACTTGTTACTGGTAG
gi 30780652 gb HM352922.1 /245-596	GTGAAAGAAGTTGAAATCATGGTATGCACGAAACCTCTAAAACAACTTGTTACTGGTAG
gi 19035296 gb EU571075.1 /1-352	GTGAAAGAAGTTGAAATCATGGTATGCACGAAACCTCTAAAACAACTTGTTACTGGTAG
gi 19035294 gb EU571074.1 /1-352	GTGAAAGAAGTTGAAATCATGGTATGCACGAAACCTCTAAAACAACTTGTTACTGGTAG
gi 19035244 gb EU571049.1 /1-352	GTGAAAGAAGTTGAAATCATGGTATGCACGAAACCTCTAAAACAACTTGTTACTGGTAG
gi 19035142 gb EU570998.1 /1-352	GTGAAAGAAGTTGAAATCATGGTATGCACGAAACCTCTAAAACAACTTGTTACTGGTAG
gi 19035214 gb EU571034.1 /1-352	GTGAAAGAAGTTGAAATCATGGTATGCACGAAACCTCTAAAACAACTTGTTACTGGTAG
gi 19035138 gb EU570996.1 /1-352	GTGAAAGAAGTTGAAATCATGGTATGCACGAAACCTCTAAAACAACTTGTTACTGGTAG
gi 11612443 gb JAF274740.1 /360-711	GTGAAAGAAGTTGAAATCATGGTATGCACGAAACCTCTAAAACAACTTGTTACTGGTAG
gi 294960094 gb GU968757.1 /274-625	GTGAAAGAAGTTGAAATCATGGTATGCACGAAACCTCTAAAACAACTTGTTACTGGTAG

gi_31190477_gb	HM627787.1	/229-580	AAATGTTCCGTAATTATTAGACTACCGCTGAAGCTGGTGACACATCGGTGTTTATTAC
gi_296142292_gb	HM032775.1	/261-552	AAATGTTCCGTAATTATTAGACTACCGCTGAAGCTGGTGACACATCGGTGTTTATTAC
gi_296142294_gb	HM032776.1	/231-582	AAATGTTCCGTAATTATTAGACTACCGCTGAAGCTGGTGACACATCGGTGTTTATTAC
gi_69035753_gb	KM103747.1	/242-593	AAATGTTCCGTAATTATTAGACTACCGCTGAAGCTGGTGACACATCGGTGTTTATTAC
gi_307830652_gb	HM352922.1	/245-596	AAATGTTCCGTAATTATTAGACTACCGCTGAAGCTGGTGACACATCGGTGTTTATTAC
gi_190335296_gb	EU571075.1	/1-352	AAATGTTCCGTAATTATTAGACTACCGCTGAAGCTGGTGACACATCGGTGTTTATTAC
gi_190335294_gb	EU571074.1	/1-352	AAATGTTCCGTAATTATTAGACTACCGCTGAAGCTGGTGACACATCGGTGTTTATTAC
gi_190335244_gb	EU571049.1	/1-352	AAATGTTCCGTAATTATTAGACTACCGCTGAAGCTGGTGACACATCGGTGTTTATTAC
gi_190335142_gb	EU570998.1	/1-352	AAATGTTCCGTAATTATTAGACTACCGCTGAAGCTGGTGACACATCGGTGTTTATTAC
gi_190335214_gb	EU571034.1	/1-352	AAATGTTCCGTAATTATTAGACTACCGCTGAAGCTGGTGACACATCGGTGTTTATTAC
gi_190335138_gb	EU570996.1	/1-352	AAATGTTCCGTAATTATTAGACTACCGCTGAAGCTGGTGACACATCGGTGTTTATTAC
gi_11612443_gb	AF274740.1	/360-711	AAATGTTCCGTAATTATTAGACTACCGCTGAAGCTGGTGACACATCGGTGTTTATTAC
gi_294960034_gb	GU968757.1	/274-625	*****

gi 311990477 gb HM627887.1 /229-580	GTGGTGTGACGTGAAGACGTACAACGTGTCAGTTAGCTGTCTGGTTCTATA
gi 296142292 gb HM0322775.1 /201-552	GTGGTGTGACGTGAAGACGTACAACGTGTCAGTTAGCTGTCTGGTTCTATA
gi 296142294 gb HM0322776.1 /231-582	GTGGTGTGACGTGAAGACGTACAACGTGTCAGTTAGCTGTCTGGTTCTATA
gi 690375753 gb KM103747.1 /242-593	GTGGTGTGACGTGAAGACGTACAACGTGTCAGTTAGCTGTCTGGTTCTATA
gi 3087352922.1 gb HM352922.1 /245-596	GTGGTGTGACGTGAAGACGTACAACGTGTCAGTTAGCTGTCTGGTTCTATA
gi 190335296 gb EU571070.1 /1-352	GTGGTGTGACGTGAAGACGTACAACGTGTCAGTTAGCTGTCTGGTTCTATA
gi 190335294 gb EU571074.1 /1-352	GTGGTGTGACGTGAAGACGTACAACGTGTCAGTTAGCTGTCTGGTTCTATA
gi 190335244 gb EU571049.1 /1-352	GTGGTGTGACGTGAAGACGTACAACGTGTCAGTTAGCTGTCTGGTTCTATA
gi 190335142 gb EU570998.1 /1-352	GTGGTGTGACGTGAAGACGTACAACGTGTCAGTTAGCTGTCTGGTTCTATA
gi 190335214 gb EU571034.1 /1-352	GTGGTGTGACGTGAAGACGTACAACGTGTCAGTTAGCTGTCTGGTTCTATA
gi 190335138 gb EU570996.1 /1-352	GTGGTGTGACGTGAAGACGTACAACGTGTCAGTTAGCTGTCTGGTTCTATA
gi 11612443 gb AF274740.1 /360-711	GTGGTGTGACGTGAAGACGTACAACGTGTCAGTTAGCTGTCTGGTTCTATA
gi 294960094 gb GU968757.1 /274-625	*****

gi	3119040477	gb	[HM627887..1]	/229-580	CACCAACACAAAATTCAAAGCTAACGTATTATCTAAAGATGAAGGTGGACGTC
gi	296142292	gb	[HM032775..1]	/204-552	CACCAACACAAAATTCAAAGCTAACGTATTATCTAAAGATGAAGGTGGACGTC
gi	296142294	gb	[HM032776..1]	/231-582	CACCAACACAAAATTCAAAGCTAACGTATTATCTAAAGATGAAGGTGGACGTC
gi	690375753	gb	[KM103747..1]	/242-593	CACCAACACAAAATTCAAAGCTAACGTATTATCTAAAGATGAAGGTGGACGTC
gi	307830652	gb	[HM352922..1]	/245-596	CACCAACACAAAATTCAAAGCTAACGTATTATCTAAAGATGAAGGTGGACGTC
gi	190335294	gb	[EU571075..1]	/1-352	CACCAACACAAAATTCAAAGCTAACGTATTATCTAAAGATGAAGGTGGACGTC
gi	190335294	gb	[EU571074..1]	/1-352	CACCAACACAAAATTCAAAGCTAACGTATTATCTAAAGATGAAGGTGGACGTC
gi	190335244	gb	[EU571049..1]	/1-352	CACCAACACAAAATTCAAAGCTAACGTATTATCTAAAGATGAAGGTGGACGTC
gi	190335142	gb	[EU570998..1]	/1-352	CACCAACACAAAATTCAAAGCTAACGTATTATCTAAAGATGAAGGTGGACGTC
gi	190335214	gb	[EU571034..1]	/1-352	CACCAACACAAAATTCAAAGCTAACGTATTATCTAAAGATGAAGGTGGACGTC
gi	190335138	gb	[EU570996..1]	/1-352	CACCAACACAAAATTCAAAGCTAACGTATTATCTAAAGATGAAGGTGGACGTC
gi	11612443	gb	[AF274740..1]	/360-711	CACCAACACAAAATTCAAAGCTAACGTATTATCTAAAGATGAAGGTGGACGTC
gi	294960094	gb	[GU968757..1]	/274-625	*****

1.9.2 Staphylococcus aureus.

All *sevensene er like*.

87159884:596725-597909 Staphylococcus aureus subsp. aureus USA300_FPR3757, complete genome
88193823:533330-534514 Staphylococcus aureus subsp. aureus NCTC 8325 chromosome, complete genome

gi 311990477 gb HM627887.1 /229-580	ACACTCCATTCTTCACTAACTATGCCACACATTCTATTTCGGTACTACTGA
gi 296142292 gb HM032775.1 /201-552	ACACTCCATTCTTCACTAACTATGCCACACATTCTATTTCGGTACTACTGA
gi 296142294 gb HM032776.1 /231-582	ACACTCCATTCTTCACTAACTATGCCACACATTCTATTTCGGTACTACTGA
gi 690375753 gb KM103747.1 /242-593	ACACTCCATTCTTCACTAACTATGCCACACATTCTATTTCGGTACTACTGA
gi 387830652 gb HM352952.1 /245-596	ACACTCCATTCTTCACTAACTATGCCACACATTCTATTTCGGTACTACTGA
gi 190335296 gb EU571075.1 /1-352	ACACTCCATTCTTCACTAACTATGCCACACATTCTATTTCGGTACTACTGA
gi 190335294 gb EU571074.1 /1-352	ACACTCCATTCTTCACTAACTATGCCACACATTCTATTTCGGTACTACTGA
gi 190335244 gb EU571049.1 /1-352	ACACTCCATTCTTCACTAACTATGCCACACATTCTATTTCGGTACTACTGA
gi 190335142 gb EU570998.1 /1-352	ACACTCCATTCTTCACTAACTATGCCACACATTCTATTTCGGTACTACTGA
gi 190335244 gb EU571034.1 /1-352	ACACTCCATTCTTCACTAACTATGCCACACATTCTATTTCGGTACTACTGA
gi 190335138 gb EU570996.1 /1-352	ACACTCCATTCTTCACTAACTATGCCACACATTCTATTTCGGTACTACTGA
gi 190335138 gb AF274740.1 /360-711	ACACTCCATTCTTCACTAACTATGCCACACATTCTATTTCGGTACTACTGA
gi 294960034 gb GU968757.1 /274-625	ACACTCCATTCTTCACTAACTATGCCACACATTCTATTTCGGTACTACTGA

gi 88193823:533330-534514/659-1029	CAATCACTTGGTGTGGTACTGTTGCTACAGGCCGTGTTGAACGTGGTCAAATCAAAGTTG
gi 87159884:596725-597909/659-1029	CAATCACTTGGTGTGGTACTGTTGCTACAGGCCGTGTTGAACGTGGTCAAATCAAAGTTG
gi 190335286 gb EU571070.1 /1-371	CAATCACTTGGTGTGGTACTGTTGCTACAGGCCGTGTTGAACGTGGTCAAATCAAAGTTG
gi 190335284 gb EU571069.1 /1-371	CAATCACTTGGTGTGGTACTGTTGCTACAGGCCGTGTTGAACGTGGTCAAATCAAAGTTG

gi 88193823:533330-534514/659-1029	GTGAAAGAAGTTGAAATCATCGGTTTACATGACACATCTAAACAACTGTACAGGTGTTG
gi 87159884:596725-597909/659-1029	GTGAAAGAAGTTGAAATCATCGGTTTACATGACACATCTAAACAACTGTACAGGTGTTG
gi 190335286 gb EU571070.1 /1-371	GTGAAAGAAGTTGAAATCATCGGTTTACATGACACATCTAAACAACTGTACAGGTGTTG
gi 190335284 gb EU571069.1 /1-371	GTGAAAGAAGTTGAAATCATCGGTTTACATGACACATCTAAACAACTGTACAGGTGTTG

gi 88193823:533330-534514/659-1029	AAAATGGTCCGTAATATTAGACTACGCTGAAGCTACAACGTGTCAGTATTAGCTGCTCCGGTTCAATTAC
gi 87159884:596725-597909/659-1029	AAAATGGTCCGTAATATTAGACTACGCTGAAGCTACAACGTGTCAGTATTAGCTGCTCCGGTTCAATTAC
gi 190335286 gb EU571070.1 /1-371	AAAATGGTCCGTAATATTAGACTACGCTGAAGCTACAACGTGTCAGTATTAGCTGCTCCGGTTCAATTAC
gi 190335284 gb EU571069.1 /1-371	AAAATGGTCCGTAATATTAGACTACGCTGAAGCTACAACGTGTCAGTATTAGCTGCTCCGGTTCAATTAC

gi 88193823:533330-534514/659-1029	GTTGGTGTGCTGTGTAAGAACGTACAACGTGTCAGTATTAGCTGCTCCGGTTCAATTAC
gi 87159884:596725-597909/659-1029	GTTGGTGTGCTGTGTAAGAACGTACAACGTGTCAGTATTAGCTGCTCCGGTTCAATTAC
gi 190335286 gb EU571070.1 /1-371	GTTGGTGTGCTGTGTAAGAACGTACAACGTGTCAGTATTAGCTGCTCCGGTTCAATTAC
gi 190335284 gb EU571069.1 /1-371	GTTGGTGTGCTGTGTAAGAACGTACAACGTGTCAGTATTAGCTGCTCCGGTTCAATTAC

gi 88193823 5333320-534514/659-1029	CACCAATAC TGAATTCAAAGCAGAAGTAACGTATTATCAAAGAACGAAAGTTGGACGTC
gi 87159884 596725-597009/659-1029	CACCAATAC TGAATTCAAAGCAGAAGTAACGTATTATCAAAGAACGAAAGTTGGACGTC
gi 190335286 gb EU571070.1 /1-371	CACCAATAC TGAATTCAAAGCAGAAGTAACGTATTATCAAAGAACGAAAGTTGGACGTC
gi 190335284 gb EU571069.1 /1-371	CACCAATAC TGAATTCAAAGCAGAAGTAACGTATTATCAAAGAACGAAAGTTGGACGTC

gi 88193823 533330-534514/659-1029	ACACTCCATTCTCAAACATCGTCCAAATTCCTGACTCTGAACTG
gi 87159884 5967-75-59/709/659-1029	ACACTCCATTCTCAAACATCGTCCAAATTCCTGACTCTGAACTG
gi 190335286 gb EU571070.1 /1-371	ACACTCCATTCTCAAACATCGTCCAAATTCCTGACTCTGAACTG
gi 190335284 gb EU571069.1 /1-371	ACACTCCATTCTCAAACATCGTCCAAATTCCTGACTCTGAACTG

193 Stanhopea canitis

4417907345_34859-36043 *Staphylococcus capitis* VCU16 contig00077, whole genome shotgun sequence
836648963_2358084-235928 *Staphylococcus canis* subsp. *canis* strain AYP1020. Complete genome

gi 417907345 34859-36043 / 659-1029	CAAT CACT TGG TCG TGG TAC TGT GCT ACAGG CG GT GT GAAC GT GG TCAA AT CAA AG TT G
gi 14586714 gb AF298798.1 / 357-727	CAAT CACT TGG TCG GG TAC TGT GCT ACAGG CG GT GT GAAC GT GG TCAA AT CAA AG TT G
gi 836648963 2358084-2359268 / 659-1029	CAAT CACT TGG TCG TGG TAC TGT GCT ACAGG CG GT GT GAAC GT GG TCAA AT CAA AG TT G
gi 190335288 gb EU57071.1 / 1-371	CAAT CACT TGG TCG TGG TAC TGT GCT ACAGG CG GT GT GAAC GT GG TCAA AT CAA AG TT G

gi|417907345|34859-36043/659-1029
gi|14586714|gb|AF298798.1|/357-727
gi|836648963|2358084-2359238/659-1029
gi|190335288|gb|EU571071.1|/1-371
GTGAAAGAAGTTGAATCATGGTATCCACGAAACTTCTAAAACA
CTGTGTTAG
GTGAAAGAAGTTGAATCATGGTATCCACGAAACTCTAAAACA
CTGTGTTAG
GTGAAAGAAGTTGAATCATGGTATCCACGAAACTTCTAAAACA
CTGTGTTAG
GTGAAAGAAGTTGAATCATGGTATCCACGAAACTTCTAAAACA
CTGTGTTAG

gi 417907345 : 34859 - 36043 / 659 - 1029	AAA TGT TCG TAA ATT TAGACTAC CGC TGA AGCTGGT GACA ACAT CGG TG CT TT AAC
gi 14586714 gb AF298798.1 / 357 - 727	AAA TGT TCG TAA ATT TAGACTAC CGC TGA AGCTGGT GACA ACAT CGG TG CT TT AAC
gi 836648963 : 2358084 - 2359268 / 659 - 1029	AAA TGT TCG TAA ATT TAGACTAC CGC TGA AGCTGGT GACA ACAT CGG TG CT TT AAC
gi 190335288 gb EU571071.1 / 1-371	AAA TGT TCG TAA ATT TAGACTAC CGC TGA AGCTGGT GACA ACAT CGG TG CT TT AAC

gi 417907345:34859-36043/659-1029	GTGGTTGCTCGTGAAGACGTACAACGTGGTCAAGTATTAGCTGCCCTGGTCAATCA
gi 14586714 gb AF2998798.1 357-727	GTGGTTGCTCGTGAAGACGTACAACGTGGTCAAGTATTAGCTGCCCTGGTCAATCA
gi 836648963:2358084-2359268/659-1029	GTGGTTGCTCGTGAAGACGTACAACGTGGTCAAGTATTAGCTGCCCTGGTCAATCA
gi 190335288 gb EU571071.1 1-371	GTGGTTGCTCGTGAAGACGTACAACGTGGTCAAGTATTAGCTGCCCTGGTCAATCA

gi|1417907345|34859-36043/659-1029
 gi|14586714|gb|AF298798.1|/357-727
 gi|836648963|2358084-2359268/659-1029
 gi|190335288|gb|EU571071.1|/1-371

gi|417907345|34859-36043/659-1029
 gi|14586714|gb|AF298798.1|/357-727
 gi|836648963|2358084-2359268/659-1029
 gi|190335288|gb|EU571071.1|/1-371

gi|307830660|gb|HM352926.1|/1-612
 gi|14586724|gb|AF298803.1|/113-724
 reversN920143/415-1026
 reversHKU09-01/415-1026

gi|307830660|gb|HM352926.1|/1-612
 gi|14586724|gb|AF298803.1|/113-724
 reversN920143/415-1026
 reversHKU09-01/415-1026

1.9.4 Staphylococcus lugdunensis

289549371:2406893-2408077 Staphylococcus lugdunensis HKU09-01, complete genome
 385782956:2384407-2385591 Staphylococcus lugdunensis N920143 complete genome

gi|307830660|gb|HM352926.1|/1-612
 gi|14586724|gb|AF298803.1|/113-724
 reversN920143/415-1026
 reversHKU09-01/415-1026

gi 307830660 gb HM352926.1 1-612	GTGGTGAAGAGTTGAAATTATGGTATCCAGGACTACTAAAACAACTGTTACTGGT
gi 14586724 gb AF298803.1 113-724	GTGGTGAAGAGTTGAAATTATGGTATCCAGGACTACTAAAACAACTGTTACTGGT
reverseNS920143/415-1026	GTGGTGAAGAGTTGAAATTATGGTATCCAGGACTACTAAAACAACTGTTACTGGT
reverseHKU09-01/415-1026	GTGGTGAAGAGTTGAAATTATGGTATCCAGGACTACTAAAACAACTGTTACTGGT

gi 307830660 gb HM352926.1 1-612	TTACGTGGTGTCTCGTGAAGTGTACACGTGGACAAGTATTAGCTGCCTCAGGTTC
gi 14586724 gb AF298803.1 /113-724	TTACGTGGTGTCTCGTGAAGTGTACACGTGGACAAGTATTAGCTGCCTCAGGTTC
reverseNS920143/415-1026	TTACGTGGTGTCTCGTGAAGTGTACACGTGGACAAGTATTAGCTGCCTCAGGTTC
reverseSHKU09-01/415-1026	TTACGTGGTGTCTCGTGAAGTGTACACGTGGACAAGTATTAGCTGCCTCAGGTTC

gi 307830660 gb HM352926.1 1-612	ATTACCTCACACTAAAGCTGAGTATATGTTTATCTAAAGATGAAAGTGGAA
gi 14586724 gb AF2988803.1 113-724	ATTACCTCACACTAAATTAAGCTGAGTATATGTTTATCTAAAGATGAAAGTGGAA
reversNSN920143/415-1026	ATTACCTCACACTAAAGCTGAGTATATGTTTATCTAAAGATGAAAGTGGAA
reverseSHKU09-01/415-1026	ATTACACTCACACTAAAGCTGAGTATATGTTTATCTAAAGATGAAAGTGGAA

gi_307830660 gb HM352926.1 1-612	ACTGGTGTGTT
gi_14586724 gb AF2988893.1 113-724	ACTGGTGTGTT
reversNSN920143/415-1026	ACTGGTGTGTT
reversHSKU09-01/415-1026	ACTGGTGTGTT

1.1.9.5 *Staphylococcus hominis*

184266299:34078-35262 Staphylococcus hominis subsp. hominis BW5 Contig_10, whole genome shotgun sequence
314936087:1105244-1106428 Staphylococcus hominis subsp. hominis C80 genomic scaffold supercont1.9, whole genome shotgun sequence

g 307830658 gb HM352925.1 /1-612 reversgi 314936087:1105244-1106428/415-1026	GACATGGTTGACGAAGAAATTATAGAATTAGTGAATGGAACTAGTGACTTATA GACATGGTTGACGAAGAAATTATAGAATTAGTGAATGGAACTAGTGACTTATA GACATGGTTGACGAAGAAATTATAGAATTAGTGAATGGAACTAGTGACTTATA GACATGGTTGACGAAGAAATTATAGAATTAGTGAATGGAACTAGTGACTTATA *****
g 14586722 gb AF298802.1 /113-724 g 484266299:34078-35262/415-1026	TCTGAATACGACTTCCAGGTGACGAGTACCTGTAATCGCTGGTTCAAGCTTAAAGCT TCTGAATACGACTTCCAGGTGACGAGTACCTGTAATCGCTGGTTCAAGCTTAAAGCT TCTGAATACGACTTCCAGGTGACGAGTACCTGTAATCGCTGGTTCAAGCTTAAAGCT TCTGAATACGACTTCCAGGTGACGAGTACCTGTAATCGCTGGTTCAAGCTTAAAGCT *****
g 307830658 gb HM352925.1 /1-612 reversgi 314936087:1105244-1106428/415-1026	TTAGAAAGGGATGCTCAAATCGAAGAAAAAAATCTTAGAATTAACTGCAAGCAGTTGATGAT TTAGAAAGGGATGCTCAAATCGAAGAAAAAAATCTTAGAATTAACTGCAAGCAGTTGATGAT TTAGAAAGGGATGCTCAAATCGAAGAAAAAAATCTTAGAATTAACTGCAAGCAGTTGATGAT TTAGAAAGGGATGCTCAAATCGAAGAAAAAAATCTTAGAATTAACTGCAAGCAGTTGATGAT *****
g 14586722 gb AF298802.1 /113-724 g 484266299:34078-35262/415-1026	TACATTCCAACCTCAGAACGTTGACTCTGTAACCAATTCTGATGCCAGTTGAGGAGTA TATATTCCAACCTCAGAACGTTGACTCTGTAACCAATTCTGATGCCAGTTGAGGAGTA TATATTCCAACCTCAGAACGTTGACTCTGTAACCAATTCTGATGCCAGTTGAGGAGTA TACATTCCAACCTCAGAACGTTGACTCTGTAACCAATTCTGATGCCAGTTGAGGAGTA *****
g 307830658 gb HM352925.1 /1-612 reversgi 314936087:1105244-1106428/415-1026	TTCCTCAATCACTGGTGTGGTACTGTGCTACGGCCGTGTTGAACGTTCAAATCAA TTCTCTCAATCACTGGTGTGGTACTGTGCTACGGCCGTGTTGAACGTTCAAATCAA TTCTCTCAATCACTGGTGTGGTACTGTGCTACGGCCGTGTTGAACGTTCAAATCAA TTCTCTCAATCACTGGTGTGGTACTGTGCTACGGCCGTGTTGAACGTTCAAATCAA *****
g 14586722 gb AF298802.1 /113-724 g 484266299:34078-35262/415-1026	GTGGTGAAAGTTGAAATTATGGTATCAAAGAACTTCAATCTCAAACACTGTTACTGGT GTGGTGAAAGTTGAAATTATGGTATCAAAGAACTTCAATCTCAAACACTGTTACTGGT GTGGTGAAAGTTGAAATTATGGTATCAAAGAACTTCAATCTCAAACACTGTTACTGGT GTGGTGAAAGTTGAAATTATGGTATCAAAGAACTTCAATCTCAAACACTGTTACTGGT *****
g 307830658 gb HM352925.1 /1-612 reversgi 314936087:1105244-1106428/415-1026	GTAGAAATGTTCCGTAATTATAGACTACGCTGAAGCTGGTGAACAACTCGTGCTTA GTAGAAATGTTCCGTAATTATAGACTACGCTGAAGCTGGTGAACAACTCGTGCTTA GTAGAAATGTTCCGTAATTATAGACTACGCTGAAGCTGGTGAACAACTCGTGCTTA GTAGAAATGTTCCGTAATTATAGACTACGCTGAAGCTGGTGAACAACTCGTGCTTA *****
g 14586722 gb AF298802.1 /113-724 g 484266299:34078-35262/415-1026	g 307830658 gb HM352925.1 /1-612 reversgi 314936087:1105244-1106428/415-1026

```

gi|307830658|gb|HM352925.1|/1-612
reversgi|314936087:1105244-110628/415-1026
gi|14586722|gb|AF298802.1|/113-724
gi|484266299:34078-35262/415-1026
gi|307830658|gb|HM352925.1|/1-612
reversgi|314936087:1105244-110628/415-1026
gi|14586722|gb|AF298802.1|/113-724
gi|484266299:34078-35262/415-1026

```

```

gi|307830658|gb|HM352925.1|/1-612
reversgi|314936087:1105244-110628/415-1026
gi|14586722|gb|AF298802.1|/113-724
gi|484266299:34078-35262/415-1026

```

```

gi|307830658|gb|HM352925.1|/1-612
reversgi|314936087:1105244-110628/415-1026
gi|14586722|gb|AF298802.1|/113-724
gi|484266299:34078-35262/415-1026

```

1.9.6 Staphylococcus haemolyticus

920659435:13607-14791 Staphylococcus haemolyticus genome assembly 7068_7#, scaffold ERS066339.7068_7_7.45, whole genome shotgun sequence

68445725:2456893-2458077 Staphylococcus haemolyticus JCS1435 DNA, complete genome

```

gi|68445725:2456893-2458077/415-1026
gi|296142276|gb|HM032767.1|/35-646
gi|920659435:13607-14791/415-1026
gi|307830654|gb|HM352923.1|/1-612

```

```

gi|68445725:2456893-2458077/415-1026
gi|296142276|gb|HM032767.1|/35-646
gi|920659435:13607-14791/415-1026
gi|307830654|gb|HM352923.1|/1-612

```

```

gi|68445725:2456893-2458077/415-1026
gi|296142276|gb|HM032767.1|/35-646
gi|920659435:13607-14791/415-1026
gi|307830654|gb|HM352923.1|/1-612

```

gi|68445725:2456893-2458077/415-1026 TACATTCCAACCTCCAGAACGTGATTCTGACAAACCATTCTATGATGCCAGTTGAGGA-GTA
 gi|296142276|gb|HM032767.1|/35-646 TACATTCCAACCTCCAGAACGTGATTCTGACAAACCATTCTATGATGCCAGTTGAGGA-GTA
 gi|920659435:13607-14791/415-1026 TACATTCCAACCTCCAGAACGTGATTCTGACAAACCATTCTATGATGCCAGTTGAGGA-GTA
 gi|307830654|gb|HM352923.1|/1-612 ****
 gi|68445725:2456893-2458077/415-1026 TTCTCAAATCACTGGTCGTTGACTGTGCTACAGGCCGTTGACAGTGGTCAAATCAA
 gi|296142276|gb|HM032767.1|/35-646 TTCTCAAATCACTGGTCGTTGACTGTGCTACAGGCCGTTGACAGTGGTCAAATCAA
 gi|920659435:13607-14791/415-1026 TTCTCAAATCACTGGTCGTTGACTGTGCTACAGGCCGTTGACAGTGGTCAAATCAA
 gi|307830654|gb|HM352923.1|/1-612 ****
 gi|68445725:2456893-2458077/415-1026 GTGGGTGAAAGAAGTGGAAATCATGGTATCCATGACACTCTAAAACAAC-TGTTACTGGT
 gi|296142276|gb|HM032767.1|/35-646 GTGGGTGAAAGAAGTGGAAATCATGGTATCCATGACACTCTAAAACAAC-TGTTACTGGT
 gi|920659435:13607-14791/415-1026 GTGGGTGAAAGAAGTGGAAATCATGGTATCCATGACACTCTAAAACAAC-TGTTACTGGT
 gi|307830654|gb|HM352923.1|/1-612 ****
 gi|68445725:2456893-2458077/415-1026 GTAGAAAATGTTCCGTAAAATTAGACTACGCTGAAGCTGTTGACAA-CATCGGTGCA-TA
 gi|296142276|gb|HM032767.1|/35-646 GTAGAAAATGTTCCGTAAAATTAGACTACGCTGAAGCTGTTGACAA-CATCGGTGCA-TA
 gi|920659435:13607-14791/415-1026 GTAGAAAATGTTCCGTAAAATTAGACTACGCTGAAGCTGTTGACAA-CATCGGTGCA-TA
 gi|307830654|gb|HM352923.1|/1-612 ****
 gi|68445725:2456893-2458077/415-1026 TTACGTGGTTGCTGGAAGACGTACAAACGTTGCAAGTATTAGCTGCTCAGGGTCA
 gi|296142276|gb|HM032767.1|/35-646 TTACGTGGTTGCTGGAAGACGTACAAACGTTGCAAGTATTAGCTGCTCAGGGTCA
 gi|920659435:13607-14791/415-1026 TTACGTGGTTGCTGGAAGACGTACAAACGTTGCAAGTATTAGCTGCTCAGGGTCA
 gi|307830654|gb|HM352923.1|/1-612 ****
 gi|68445725:2456893-2458077/415-1026 ATCACACCTCACACAAAATTAAAGCAGCTACGTTTATCTAAAGCAGAAGGTGGA
 gi|296142276|gb|HM032767.1|/35-646 ATCACACCTCACACAAAATTAAAGCAGCTACGTTTATCTAAAGCAGAAGGTGGA
 gi|920659435:13607-14791/415-1026 ATCACACCTCACACAAAATTAAAGCAGCTACGTTTATCTAAAGCAGAAGGTGGA
 gi|307830654|gb|HM352923.1|/1-612 ****
 gi|68445725:2456893-2458077/415-1026 CGTCACACTCCATTCTCACACAAACTATGTCACAAATTCTATTCCGTTACTACTGAGTA
 gi|296142276|gb|HM032767.1|/35-646 CGTCACACTCCATTCTCACACAAACTATGTCACAAATTCTATTCCGTTACTACTGAGTA
 gi|920659435:13607-14791/415-1026 CGTCACACTCCATTCTCACACAAACTATGTCACAAATTCTATTCCGTTACTACTGAGTA
 gi|307830654|gb|HM352923.1|/1-612 ****
 gi|68445725:2456893-2458077/415-1026 ACTGGTGTGTT
 gi|296142276|gb|HM032767.1|/35-646 ACTGGTGTGTT
 gi|920659435:13607-14791/415-1026 ACTGGTGTGTT
 gi|307830654|gb|HM352923.1|/1-612 ACTGGTGTGTT

1.9.7 *Staphylococcus schleiferi*

913000289:2208595-2209782 *Staphylococcus schleiferi* strain 1360-13, complete genome

```

gi|307830682|gb|HM352937.1|/245-615
gi|913000289:2208595-2209782/659-1029
gi|190335320|gb|EU571087.1|/1-371
gi|190335318|gb|EU571086.1|/1-371
gi|190335318|gb|EU571086.1|/1-371
gi|307830682|gb|HM352937.1|/245-615
gi|913000289:2208595-2209782/659-1029
gi|190335320|gb|EU571087.1|/1-371
gi|190335318|gb|EU571086.1|/1-371

```

11-10 VEDI EGG 10-PRIMER OG PROBE FOR THE

Alignment av tuf med stafylokokker med primere og TagMan-probe.

aureus: 88193823; 533330-534514 *Staphylococcus aureus* subsp. *aureus* NCTC 8325 chromosome, complete genome

PIDERMITIS*g* | 311990477 | gb | HM627887.1 | /229-580
CHLEIFER*g* | 190335320 | gb | EU571087.1 | /1-355
UGDTS*g* | 14586724 | gb | AF298803.1 | /357-708
UREUS*g* | 88193823 | 53:330-534514/659-1610
APITIS*g* | 14586714 | gb | AF298798.1 | /357-708
OMINIS*g* | 14586722 | gb | AF298802.1 | /357-708
AEMOLYTICUS*g* | 296142276 | gb | HM032267.1 | /279-630

PIDERMITIS*g* | 311990477 | gb | HM627887.1 | /229-580
CHLEIFER*g* | 190335320 | gb | EU571087.1 | /1-355
UGDTS*g* | 14586724 | gb | AF298803.1 | /357-708
UREUS*g* | 88193823 | 53:330-534514/659-1610
APITIS*g* | 14586714 | gb | AF298798.1 | /357-708
OMINIS*g* | 14586722 | gb | AF298802.1 | /357-708
AEMOLYTICUS*g* | 296142276 | gb | HM032267.1 | /357-708

SPIDERMIDTSgi | 31190477 | gb | HM627887.1 | /229-580
CHLEIFERIgi | 190335320 | gb | EU571087.1 | /1-355
UGDTSgi | 14586724 | gb | AF298803.1 | /357-708
UREUSgi | 88193823:533330-534514:659-1010
APITTSgi | 14586714 | gb | AF298798.1 | /357-708
OMINISgi | 14586722 | gb | AF298802.1 | /357-708
AEIMOLYTICUSgi | 296142276 | gb | HM032767.1 | /279-630

PIDERMIDTSgi | 31199047 | gb | HM627887.1 | /229-380
CHLEIFERT8gi | 198335320 | gb | EU571087.1 | /1-355
JUREUSgi | 14586724 | gb | AF298803.1 | /357-708
U88193823 | 5333330 | -334514.659-1010
APITISgi | 14586714 | gb | AF298798.1 | /357-708
OMINISgi | 14586722 | gb | AF298802.1 | /357-708
AEHOLYTICUSgi | 296142276 | gb | HM032767.1 | /279-630

1.11 VEDLEGG 11 – FORTYNNING AV PRIMERE. STOCKLØSNING 100 µM

Oligo name	Navn i stock (forkortelse brukt i frysør)	Sekvens	Primere Qty (nmol)	Vann som tilsettes primere til 100 µM i µL
gap-F	G- F	GGG-GAA-GTT-GAA-GTT-ATC-GAA-G	93,34	933,4
gap-R	G- R	GCT-AAT-GAG-TTA-GTA-GTA-CAA-G	95,15	951,5
sodA-F	S- F	TTA-AAT-TCA-GCA-GTT-GAA-GGG-A	97,51	975,1
sodA-R	S- R	ACA-ACT-AAC-CAA-GCC-CAT	107,01	1070,1
rpoB-F	R- F	TGA-AAC-GCC-ATA-TCG-TAA-AGT-G	109,58	1095,8
rpoB-R	R- R	CAA-GTC-TAG-AAT-TAG-CCT-GT	94,82	948,2
tuf-F	T - F	AGT-TGA-AAU-CAT-CGG-TAT-GC	116,41	1164,1
tuf-R	T- R	TGT-GGG-CGA-TAG-TTA-GTG	111,17	1111,7
Hsp60-F	H - F	GTG-CAA-ATC-CTG-TAG-GCT-TAA	96,64	966,4
Hsp60-R	H- R	CAG-AAA-TGT-AGC-GAC-CGA	56,02	560,2

1.12 VEDLEGG 12 –FORTYNNING AV PRIMERE. BRUKSLØSNING 5 µM.

5 µM løsning				
Oligo name	Navn i stock (forkortelse brukt i fryser/kjøleskap)	Sekvens	Trekkes opp av 100µM løsning	Vann som tilsettet 100 µM løsning
gap-F	G-F	GGA-GAA-GTT-GAA-GTT-ATC-GAA-G	25 µl	475µl
gap-R	G-R	GCT-AAT-GAG-TTA-GTA-GTA-CAA-G	25 µl	475µl
sodA-F	S-F	TTA-AAT-TCA-GCA-GTT-GAA-GGG-A	25 µl	475µl
sodA-R	S-R	ACA-ACT-AAC-CAA-GCC-CAT	25 µl	475µl
rpoB-F	R-F	TGA-AAC-GCC-ATA-TCG-TAA-AGT-G	25 µl	475µl
rpoB-R	R-R	CAA-GTC-TAG-AAT-TAG-CCT-GT	25 µl	475µl
tuf-F	T-F	AGT-TGA-AA-T-CAT-CGG-TAT-GC	25 µl	475µl
tuf-R	T-R	TGT-GGG-CGA-TAG-TTA-GTG	25 µl	475µl
hsp60-F	H-F	GTG-CAA-ATC-CTG-TAG-GCT-TAA	25 µl	475µl
hsp60-R	H-R	CAG-AAA-TGT-AGC-GAC-CGA	25 µl	475µl